

Analyse numérique de quelques problèmes de contrôle et d'optimisation de forme pour des systèmes dynamiques

Arnaud Diego MÜNCH

Laboratoire de Mathématiques
Université de Franche-Comté
Besançon, France

HDR - Jeudi 30 octobre 2008

- **Partie I: Contrôlabilité exacte / Stabilisation**
- Partie II: Optimisation de forme
- Partie III: Problèmes en cours

- **Partie I: Contrôlabilité exacte / Stabilisation**
- **Partie II: Optimisation de forme**
- **Partie III: Problèmes en cours**

- Partie I: Contrôlabilité exacte / Stabilisation
- Partie II: Optimisation de forme
- Partie III: Problèmes en cours

Partie I: Contrôlabilité / Stabilisation

Soient $T > 0$, $\Omega \in \mathbb{R}^N$, $\Gamma_0 \subset \partial\Omega$, $(y^0, y^1) \in L^2(\Omega) \times H^{-1}(\Omega)$, $\mathbf{v} \in L^2((0, T) \times \Gamma_0)$ et $y \in C((0, T), H^1(\Omega)) \cap C^1((0, T), L^2(\Omega))$ solution de

$$\begin{cases} y'' - \Delta y = 0 & (0, T) \times \Omega, \\ y = \mathbf{v} \chi_{\Gamma_0}, & (0, T) \times \Omega, \\ (y, y') = (y^0, y^1), & \{0\} \times \Omega. \end{cases} \quad (1)$$

Définition (Contrôlabilité à zéro)

Le système est nul contrôlable SSI il existe au moins une fonction v tel que $y(T, \cdot) = y'(T, \cdot) = 0$ dans Ω .

Si le triplet (T, Γ_0, Ω) vérifie la condition d'optique géométrique, ALORS il existe des fonctions $v \in L^2((0, T) \times \Gamma_0)$ telles que

$$(y(T), y'(T)) = (0, 0) \implies E(t) = \frac{1}{2} \int_{\Omega} (|y'|^2 + |\nabla y|^2) dx = 0, \forall t \geq T. \quad (2)$$

La méthode HUM (*Hilbert Uniqueness Method*) conduit au contrôle de norme L^2 -minimale.

Soient $T > 0$, $\Omega \in \mathbb{R}^N$, $\Gamma_0 \subset \partial\Omega$, $(y^0, y^1) \in L^2(\Omega) \times H^{-1}(\Omega)$, $\mathbf{v} \in L^2((0, T) \times \Gamma_0)$ et $y \in C((0, T), H^1(\Omega)) \cap C^1((0, T), L^2(\Omega))$ solution de

$$\begin{cases} y'' - \Delta y = 0 & (0, T) \times \Omega, \\ y = \mathbf{v} \chi_{\Gamma_0}, & (0, T) \times \Omega, \\ (y, y') = (y^0, y^1), & \{0\} \times \Omega. \end{cases} \quad (1)$$

Définition (Contrôlabilité à zéro)

Le système est nul contrôlable SSI il existe au moins une fonction v tel que $y(T, \cdot) = y'(T, \cdot) = 0$ dans Ω .

Si le triplet (T, Γ_0, Ω) vérifie la condition d'optique géométrique, ALORS il existe des fonctions $v \in L^2((0, T) \times \Gamma_0)$ telles que

$$(y(T), y'(T)) = (0, 0) \implies E(t) = \frac{1}{2} \int_{\Omega} (|y'|^2 + |\nabla y|^2) dx = 0, \forall t \geq T. \quad (2)$$

La méthode HUM (Hilbert Uniqueness Method) conduit au contrôle de norme L^2 -minimale.

Soient $T > 0$, $\Omega \in \mathbb{R}^N$, $\Gamma_0 \subset \partial\Omega$, $(y^0, y^1) \in L^2(\Omega) \times H^{-1}(\Omega)$, $\mathbf{v} \in L^2((0, T) \times \Gamma_0)$ et $y \in C((0, T), H^1(\Omega)) \cap C^1((0, T), L^2(\Omega))$ solution de

$$\begin{cases} y'' - \Delta y = 0 & (0, T) \times \Omega, \\ y = \mathbf{v} \chi_{\Gamma_0}, & (0, T) \times \Omega, \\ (y, y') = (y^0, y^1), & \{0\} \times \Omega. \end{cases} \quad (1)$$

Définition (Contrôlabilité à zéro)

Le système est nul contrôlable SSI il existe au moins une fonction v tel que $y(T, \cdot) = y'(T, \cdot) = 0$ dans Ω .

Théorème (Lions 88, Lebeau-Rauch-Bardos 92)

Si le triplet (T, Γ_0, Ω) vérifie la *condition d'optique géométrique*, ALORS il existe des fonctions $\mathbf{v} \in L^2((0, T) \times \Gamma_0)$ telles que

$$(y(T), y'(T)) = (0, 0) \implies E(t) = \frac{1}{2} \int_{\Omega} (|y'|^2 + |\nabla y|^2) dx = 0, \forall t \geq T. \quad (2)$$

La méthode HUM (*Hilbert Uniqueness Method*) conduit au contrôle de norme L^2 -minimale.

On considère le **problème homogène adjoint**, avec $(\phi^0, \phi^1) \in H_0^1(\Omega) \times L^2(\Omega)$

$$\begin{cases} \phi'' - \Delta\phi = 0 & (0, T) \times \Omega, \\ \phi = 0, & (0, T) \times \Omega, \\ (\phi, \phi') = (\phi^0, \phi^1), & \{0\} \times \Omega \end{cases} \quad (3)$$

de sorte que les éventuelles contrôles sont caractérisés (formellement) par

$$\int_0^T \int_{\Gamma_0} \mathbf{v}(t, \mathbf{x}) \frac{\partial \phi(t, \mathbf{x})}{\partial \nu} d\sigma dt = \langle y^1, \phi^0 \rangle_{H^{-1}, H_0^1} - \int_{\Omega} y^0 \phi^1 dx, \quad (4)$$

équation d'Euler-Lagrange pour l'application continue et strictement convexe $\mathcal{J} : (\phi^0, \phi^1) \rightarrow \mathbb{R}$

$$\mathcal{J}(\phi^0, \phi^1) = \frac{1}{2} \int_0^T \int_{\Gamma_0} \left| \frac{\partial \phi}{\partial \nu} \right|^2 d\sigma dt - \langle y^1, \phi^0 \rangle + \int_{\Omega} y^0 \phi^1 dx. \quad (5)$$

Si \mathcal{J} est coercive, alors \mathcal{J} admet un minimum (ϕ^{0D}, ϕ^{1D}) , le système (1) est nul contrôlable et le contrôle de norme L^2 -minimale est donné par

$$\mathbf{v} = \frac{\partial \phi}{\partial \nu}, \quad (0, T) \times \Gamma_0. \quad (6)$$

La coercivité de \mathcal{J} est équivalente à l'**inégalité d'observabilité** :

$$\|\phi^0, \phi^1\|_{H_0^1 \times L^2}^2 \leq \mathbf{C}(T, \Gamma_0) \int_0^T \int_{\Gamma_0} \left| \frac{\partial \phi}{\partial \nu} \right|^2 d\sigma dt \quad \forall (\phi^0, \phi^1) \in H_0^1(\Omega) \times L^2(\Omega). \quad (7)$$

On considère le **problème homogène adjoint**, avec $(\phi^0, \phi^1) \in H_0^1(\Omega) \times L^2(\Omega)$

$$\begin{cases} \phi'' - \Delta\phi = 0 & (0, T) \times \Omega, \\ \phi = 0, & (0, T) \times \Omega, \\ (\phi, \phi') = (\phi^0, \phi^1), & \{0\} \times \Omega \end{cases} \quad (3)$$

de sorte que les éventuelles contrôles sont caractérisés (formellement) par

$$\int_0^T \int_{\Gamma_0} \mathbf{v}(t, \mathbf{x}) \frac{\partial \phi(t, \mathbf{x})}{\partial \nu} d\sigma dt = \langle y^1, \phi^0 \rangle_{H^{-1}, H_0^1} - \int_{\Omega} y^0 \phi^1 dx, \quad (4)$$

équation d'Euler-Lagrange pour l'application continue et strictement convexe $\mathcal{J} : (\phi^0, \phi^1) \rightarrow \mathbb{R}$

$$\mathcal{J}(\phi^0, \phi^1) = \frac{1}{2} \int_0^T \int_{\Gamma_0} \left| \frac{\partial \phi}{\partial \nu} \right|^2 d\sigma dt - \langle y^1, \phi^0 \rangle + \int_{\Omega} y^0 \phi^1 dx. \quad (5)$$

Théorème

Si \mathcal{J} est coercive, alors \mathcal{J} admet un minimum $(\hat{\phi}^0, \hat{\phi}^1)$, le système (1) est nul contrôlable et le contrôle de norme L^2 -minimale est donné par

$$\mathbf{v} = \frac{\partial \hat{\phi}}{\partial \nu}, \quad (0, T) \times \Gamma_0. \quad (6)$$

La coercivité de \mathcal{J} est équivalente à l'inégalité d'observabilité :

$$\|\phi^0, \phi^1\|_{H_0^1 \times L^2}^2 \leq C(T, \Gamma_0) \int_0^T \int_{\Gamma_0} \left| \frac{\partial \phi}{\partial \nu} \right|^2 d\sigma dt \quad \forall (\phi^0, \phi^1) \in H_0^1(\Omega) \times L^2(\Omega). \quad (7)$$

On considère le **problème homogène adjoint**, avec $(\phi^0, \phi^1) \in H_0^1(\Omega) \times L^2(\Omega)$

$$\begin{cases} \phi'' - \Delta\phi = 0 & (0, T) \times \Omega, \\ \phi = 0, & (0, T) \times \Omega, \\ (\phi, \phi') = (\phi^0, \phi^1), & \{0\} \times \Omega \end{cases} \quad (3)$$

de sorte que les éventuelles contrôles sont caractérisés (formellement) par

$$\int_0^T \int_{\Gamma_0} \mathbf{v}(t, \mathbf{x}) \frac{\partial \phi(t, \mathbf{x})}{\partial \nu} d\sigma dt = \langle y^1, \phi^0 \rangle_{H^{-1}, H_0^1} - \int_{\Omega} y^0 \phi^1 dx, \quad (4)$$

équation d'Euler-Lagrange pour l'application continue et strictement convexe $\mathcal{J} : (\phi^0, \phi^1) \rightarrow \mathbb{R}$

$$\mathcal{J}(\phi^0, \phi^1) = \frac{1}{2} \int_0^T \int_{\Gamma_0} \left| \frac{\partial \phi}{\partial \nu} \right|^2 d\sigma dt - \langle y^1, \phi^0 \rangle + \int_{\Omega} y^0 \phi^1 dx. \quad (5)$$

Théorème

Si \mathcal{J} est coercive, alors \mathcal{J} admet un minimum $(\hat{\phi}^0, \hat{\phi}^1)$, le système (1) est nul contrôlable et le contrôle de norme L^2 -minimale est donné par

$$\mathbf{v} = \frac{\partial \hat{\phi}}{\partial \nu}, \quad (0, T) \times \Gamma_0. \quad (6)$$

La coercivité de \mathcal{J} est équivalente à l'inégalité d'observabilité :

$$\|\phi^0, \phi^1\|_{H_0^1 \times L^2}^2 \leq C(T, \Gamma_0) \int_0^T \int_{\Gamma_0} \left| \frac{\partial \phi}{\partial \nu} \right|^2 d\sigma dt \quad \forall (\phi^0, \phi^1) \in H_0^1(\Omega) \times L^2(\Omega). \quad (7)$$

On considère le **problème homogène adjoint**, avec $(\phi^0, \phi^1) \in H_0^1(\Omega) \times L^2(\Omega)$

$$\begin{cases} \phi'' - \Delta\phi = 0 & (0, T) \times \Omega, \\ \phi = 0, & (0, T) \times \Omega, \\ (\phi, \phi') = (\phi^0, \phi^1), & \{0\} \times \Omega \end{cases} \quad (3)$$

de sorte que les éventuelles contrôles sont caractérisés (formellement) par

$$\int_0^T \int_{\Gamma_0} \mathbf{v}(t, \mathbf{x}) \frac{\partial \phi(t, \mathbf{x})}{\partial \nu} d\sigma dt = \langle y^1, \phi^0 \rangle_{H^{-1}, H_0^1} - \int_{\Omega} y^0 \phi^1 dx, \quad (4)$$

équation d'Euler-Lagrange pour l'application continue et strictement convexe $\mathcal{J} : (\phi^0, \phi^1) \rightarrow \mathbb{R}$

$$\mathcal{J}(\phi^0, \phi^1) = \frac{1}{2} \int_0^T \int_{\Gamma_0} \left| \frac{\partial \phi}{\partial \nu} \right|^2 d\sigma dt - \langle y^1, \phi^0 \rangle + \int_{\Omega} y^0 \phi^1 dx. \quad (5)$$

Théorème

Si \mathcal{J} est coercive, alors \mathcal{J} admet un minimum $(\hat{\phi}^0, \hat{\phi}^1)$, le système (1) est nul contrôlable et le contrôle de norme L^2 -minimale est donné par

$$\mathbf{v} = \frac{\partial \hat{\phi}}{\partial \nu}, \quad (0, T) \times \Gamma_0. \quad (6)$$

La coercivité de \mathcal{J} est équivalente à l'**inégalité d'observabilité** :

$$\|\phi^0, \phi^1\|_{H_0^1 \times L^2}^2 \leq \mathbf{C}(T, \Gamma_0) \int_0^T \int_{\Gamma_0} \left| \frac{\partial \phi}{\partial \nu} \right|^2 d\sigma dt \quad \forall (\phi^0, \phi^1) \in H_0^1(\Omega) \times L^2(\Omega). \quad (7)$$

Sensibilité par rapport à une perturbation - Approximation numérique du contrôle

On considère une **perturbation consistante** du système :

$$\begin{cases} y_\delta'' - \Delta_\delta y_\delta = 0 & (0, T) \times \Omega_\delta, \\ y_\delta = \mathbf{v}_\delta \mathcal{X}_{\Gamma_0} & (0, T) \times \Omega_\delta, \\ (y_\delta, y_\delta') = (y^0, y^1) & \{0\} \times \Omega_\delta. \end{cases} \quad (8)$$

- Pour δ fixé, le système perturbé est-il nul contrôlable ?
- Quel est le comportement du contrôle \mathbf{v}_δ lorsque δ tend vers zéro ?

Dans le cadre de l'approximation numérique,

- $\delta = h$ (approximation semi-discrète en espace);
- $\delta = (h, \Delta t)$ (approximation discrète espace-temps).

La réponse dépend du comportement de la constante d'observabilité \mathbf{C}_δ de

$$\|\phi^0, \phi^1\|_{H_0^1 \times L^2}^2 \leq \mathbf{C}_\delta(\mathbf{T}, \Gamma_0) \int_0^T \int_{\Omega} \left| \frac{\partial \phi_\delta}{\partial \nu} \right|^2 d\sigma dt \quad \forall (\phi^0, \phi^1) \in H_0^1(\Omega) \times L^2(\Omega). \quad (9)$$

On considère une **perturbation consistante** du système :

$$\begin{cases} y_\delta'' - \Delta_\delta y_\delta = 0 & (0, T) \times \Omega_\delta, \\ y_\delta = \mathbf{v}_\delta \mathcal{X}_{\Gamma_0} & (0, T) \times \Omega_\delta, \\ (y_\delta, y_\delta') = (y^0, y^1) & \{0\} \times \Omega_\delta. \end{cases} \quad (8)$$

- Pour δ fixé, le système perturbé est-il nul contrôlable ?
- Quel est le comportement du contrôle \mathbf{v}_δ lorsque δ tend vers zéro ?

Dans le cadre de l'approximation numérique,

- $\delta = h$ (approximation semi-discrète en espace);
- $\delta = (h, \Delta t)$ (approximation discrète espace-temps).

La réponse dépend du comportement de la constante d'observabilité \mathbf{C}_δ de

$$\|\phi^0, \phi^1\|_{H_0^1 \times L^2}^2 \leq \mathbf{C}_\delta(\mathbf{T}, \Gamma_0) \int_0^T \int_{\Omega} \left| \frac{\partial \phi_\delta}{\partial \nu} \right|^2 d\sigma dt \quad \forall (\phi^0, \phi^1) \in H_0^1(\Omega) \times L^2(\Omega). \quad (9)$$

On considère une **perturbation consistante** du système :

$$\begin{cases} y_\delta'' - \Delta_\delta y_\delta = 0 & (0, T) \times \Omega_\delta, \\ y_\delta = \mathbf{v}_\delta \mathcal{X}_{\Gamma_0} & (0, T) \times \Omega_\delta, \\ (y_\delta, y_\delta') = (y^0, y^1) & \{0\} \times \Omega_\delta. \end{cases} \quad (8)$$

- Pour δ fixé, le système perturbé est-il nul contrôlable ?
- Quel est le comportement du contrôle \mathbf{v}_δ lorsque δ tend vers zéro ?

Dans le cadre de l'approximation numérique,

- $\delta = h$ (approximation semi-discrète en espace);
- $\delta = (h, \Delta t)$ (approximation discrète espace-temps).

La réponse dépend du comportement de la constante d'observabilité \mathbf{C}_δ de

$$\|\phi^0, \phi^1\|_{H_0^1 \times L^2}^2 \leq \mathbf{C}_\delta(\mathbf{T}, \Gamma_0) \int_0^T \int_{\Omega} \left| \frac{\partial \phi_\delta}{\partial \nu} \right|^2 d\sigma dt \quad \forall (\phi^0, \phi^1) \in H_0^1(\Omega) \times L^2(\Omega). \quad (9)$$

On considère une **perturbation consistante** du système :

$$\begin{cases} y_\delta'' - \Delta_\delta y_\delta = 0 & (0, T) \times \Omega_\delta, \\ y_\delta = \mathbf{v}_\delta \mathcal{X}_{\Gamma_0} & (0, T) \times \Omega_\delta, \\ (y_\delta, y_\delta') = (y^0, y^1) & \{0\} \times \Omega_\delta. \end{cases} \quad (8)$$

- Pour δ fixé, le système perturbé est-il nul contrôlable ?
- Quel est le comportement du contrôle \mathbf{v}_δ lorsque δ tend vers zéro ?

Dans le cadre de l'approximation numérique,

- $\delta = h$ (approximation semi-discrète en espace);
- $\delta = (h, \Delta t)$ (approximation discrète espace-temps).

La réponse dépend du comportement de la constante d'observabilité \mathbf{C}_δ de

$$\|\phi^0, \phi^1\|_{H_0^1 \times L^2}^2 \leq \mathbf{C}_\delta(\mathbf{T}, \Gamma_0) \int_0^T \int_{\Gamma_0} \left| \frac{\partial \phi_\delta}{\partial \nu} \right|^2 d\sigma dt \quad \forall (\phi^0, \phi^1) \in H_0^1(\Omega) \times L^2(\Omega). \quad (9)$$

On considère une **perturbation consistante** du système :

$$\begin{cases} y_\delta'' - \Delta_\delta y_\delta = 0 & (0, T) \times \Omega_\delta, \\ y_\delta = \mathbf{v}_\delta \mathcal{X}_{\Gamma_0} & (0, T) \times \Omega_\delta, \\ (y_\delta, y_\delta') = (y^0, y^1) & \{0\} \times \Omega_\delta. \end{cases} \quad (8)$$

- Pour δ fixé, le système perturbé est-il nul contrôlable ?
- Quel est le comportement du contrôle \mathbf{v}_δ lorsque δ tend vers zéro ?

Dans le cadre de l'approximation numérique,

- $\delta = h$ (approximation semi-discrète en espace);
- $\delta = (h, \Delta t)$ (approximation discrète espace-temps).

La réponse dépend du comportement de la constante d'observabilité \mathbf{C}_δ de

$$\|\phi^0, \phi^1\|_{H_0^1 \times L^2}^2 \leq \mathbf{C}_\delta(\mathbf{T}, \Gamma_0) \int_0^T \int_{\Gamma_0} \left| \frac{\partial \phi_\delta}{\partial \nu} \right|^2 d\sigma dt \quad \forall (\phi^0, \phi^1) \in H_0^1(\Omega) \times L^2(\Omega). \quad (9)$$

$$\Omega = (0, 1), \quad (y^0(x), y^1(x)) = (16\mathcal{X}_{(0,1/2)}(x), 0), \quad T = 2.4, \quad \Gamma_0 = \{1\}. \quad (10)$$

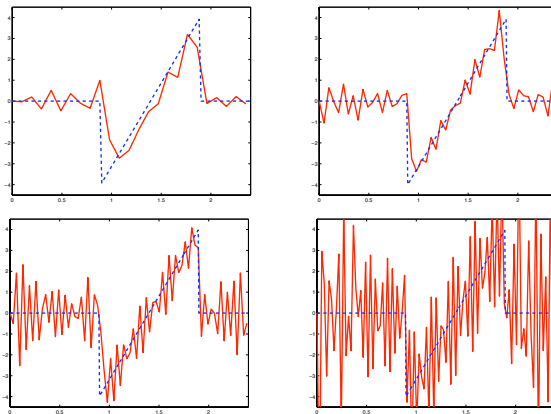


Figure: Comportement du contrôle $v_{h,\Delta t}$ pour $h = 1/10, 1/20, 1/40, 1/80$ avec $\Delta t = 0.98h$.

⇒ Divergence exponentielle du contrôle discret

$$\exists c > 0, \quad \|P(v_{h,\Delta t}) - v\|_{L^2(\Gamma_0 \times (0, T))} = O(e^{c/h}). \quad (11)$$

NULLE CONTRÔLABILITÉ + APPROXIMATION \neq APPROXIMATION + NULLE CONTRÔLABILITÉ

$$\Omega = (0, 1), \quad (y^0(x), y^1(x)) = (16\mathcal{X}_{(0,1/2)}(x), 0), \quad T = 2.4, \quad \Gamma_0 = \{1\}. \quad (10)$$

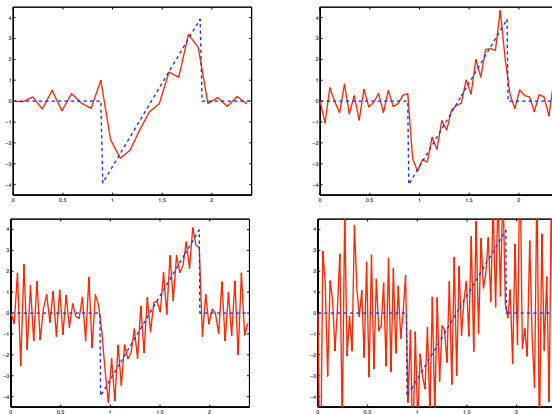


Figure: Comportement du contrôle $v_{h,\Delta t}$ pour $h = 1/10, 1/20, 1/40, 1/80$ avec $\Delta t = 0.98h$.

⇒ Divergence **exponentielle** du contrôle discret

$$\exists c > 0, \|P(v_{h,\Delta t}) - v\|_{L^2(\Gamma_0 \times (0,T))} = O(e^{c/h}). \quad (11)$$

NULLE CONTRÔLABILITÉ + APPROXIMATION \neq APPROXIMATION + NULLE CONTRÔLABILITÉ

Non observabilité uniforme

$$\lim_{h \rightarrow 0} \mathbf{C}_h(\mathbf{T}, \Gamma_0) = \lim_{h \rightarrow 0} \sup_{(\phi_h^0, \phi_h^1)} \frac{\|\phi_h^0, \phi_h^1\|_{H_0^1 \times L^2}^2}{\int_0^T \int_{\Gamma_0} |\phi_{h,\nu}|^2 d\sigma dt} = +\infty \quad (12)$$

$(\mu_{k,h,\Delta t})_k$ - spectre discret

$$\mu_{k,h,\Delta t} = \frac{2}{\Delta t} \arcsin\left(\frac{\Delta t}{h} \sin\left(\frac{k\pi h}{2}\right)\right), \quad k = 1, \dots, J \quad (13)$$

Le minimum de la vitesse de la groupe (gradient du diagramme de dispersion) est minorée par

$$\mu_{J,h,\Delta t} - \mu_{J-1,h,\Delta t} = \mathcal{O}(h) \rightarrow 0 \text{ quand } h \rightarrow 0, \Delta t < h \quad (14)$$

$$\mu_{j,h,\Delta t} - \mu_{j-1,h,\Delta t} = \mathcal{O}(1), \quad \forall j = 2, \dots, J, \Delta t = h \quad (15)$$

[Glowinski-Kinton-Wheeler 89], [Glowinski-Li-Lions 90], [Glowinski 91], [Glowinski-Lions 95]
 \implies Régularisation de Tychonoff - Élément fini mixte - Méthode multi-grilles.

[Zuazua' team 01,02,05,...] au niveau semi-discret
 \implies Filtrage des hautes fréquences.

Non observabilité uniforme

$$\lim_{h \rightarrow 0} \mathbf{C}_h(\mathbf{T}, \mathbf{r}_0) = \lim_{h \rightarrow 0} \sup_{(\phi_h^0, \phi_h^1)} \frac{\|\phi_h^0, \phi_h^1\|_{H_0^1 \times L^2}^2}{\int_0^T \int_{\Gamma_0} |\phi_{h,\nu}|^2 d\sigma dt} = +\infty \quad (12)$$

$(\mu_{k,h,\Delta t})_k$ - spectre discret

$$\mu_{k,h,\Delta t} = \frac{2}{\Delta t} \arcsin\left(\frac{\Delta t}{h} \sin\left(\frac{k\pi h}{2}\right)\right), \quad k = 1, \dots, J \quad (13)$$

Le minimum de la vitesse de la groupe (gradient du diagramme de dispersion) est minorée par

$$\mu_{J,h,\Delta t} - \mu_{J-1,h,\Delta t} = \mathcal{O}(h) \rightarrow 0 \text{ quand } h \rightarrow 0, \Delta t < h \quad (14)$$

$$\mu_{j,h,\Delta t} - \mu_{j-1,h,\Delta t} = \mathcal{O}(1), \quad \forall j = 2, \dots, J, \Delta t = h \quad (15)$$

[Glowinski-Kinton-Wheeler 89], [Glowinski-Li-Lions 90], [Glowinski 91], [Glowinski-Lions 95]
 \implies Régularisation de Tychonoff - Élément fini mixte - Méthode multi-grilles.

[Zuazua' team 01,02,05,...] au niveau semi-discret
 \implies Filtrage des hautes fréquences.

Non observabilité uniforme

$$\lim_{h \rightarrow 0} \mathbf{C}_h(\mathbf{T}, \Gamma_0) = \lim_{h \rightarrow 0} \sup_{(\phi_h^0, \phi_h^1)} \frac{\|\phi_h^0, \phi_h^1\|_{H_0^1 \times L^2}^2}{\int_0^T \int_{\Gamma_0} |\phi_{h,\nu}|^2 d\sigma dt} = +\infty \quad (12)$$

$(\mu_{k,h,\Delta t})_k$ - spectre discret

$$\mu_{k,h,\Delta t} = \frac{2}{\Delta t} \arcsin\left(\frac{\Delta t}{h} \sin\left(\frac{k\pi h}{2}\right)\right), \quad k = 1, \dots, J \quad (13)$$

Le minimum de la vitesse de la groupe (gradient du diagramme de dispersion) est minorée par

$$\mu_{J,h,\Delta t} - \mu_{J-1,h,\Delta t} = \mathbf{O}(h) \rightarrow 0 \text{ quand } h \rightarrow 0, \Delta t < h \quad (14)$$

$$\mu_{j,h,\Delta t} - \mu_{j-1,h,\Delta t} = \mathbf{O}(1), \quad \forall j = 2, \dots, J, \Delta t = h \quad (15)$$

[Glowinski-Kinton-Wheeler 89], [Glowinski-Li-Lions 90], [Glowinski 91], [Glowinski-Lions 95]
 \implies Régularisation de Tychonoff - Élément fini mixte - Méthode multi-grilles.

[Zuazua' team 01,02,05,...] au niveau semi-discret
 \implies Filtrage des hautes fréquences.

Non observabilité uniforme

$$\lim_{h \rightarrow 0} C_h(\mathcal{T}, \Gamma_0) = \lim_{h \rightarrow 0} \sup_{(\phi_h^0, \phi_h^1)} \frac{\|\phi_h^0, \phi_h^1\|_{H_0^1 \times L^2}^2}{\int_0^{\mathcal{T}} \int_{\Gamma_0} |\phi_{h,\nu}|^2 d\sigma dt} = +\infty \quad (12)$$

$(\mu_{k,h,\Delta t})_k$ - spectre discret

$$\mu_{k,h,\Delta t} = \frac{2}{\Delta t} \arcsin\left(\frac{\Delta t}{h} \sin\left(\frac{k\pi h}{2}\right)\right), \quad k = 1, \dots, J \quad (13)$$

Le minimum de la vitesse de la groupe (gradient du diagramme de dispersion) est minorée par

$$\mu_{J,h,\Delta t} - \mu_{J-1,h,\Delta t} = \mathbf{O}(h) \rightarrow 0 \text{ quand } h \rightarrow 0, \Delta t < h \quad (14)$$

$$\mu_{j,h,\Delta t} - \mu_{j-1,h,\Delta t} = \mathbf{O}(1), \quad \forall j = 2, \dots, J, \Delta t = h \quad (15)$$

[Glowinski-Kinton-Wheeler 89], [Glowinski-Li-Lions 90], [Glowinski 91], [Glowinski-Lions 95]
 \implies Régularisation de Tychonoff - Élément fini mixte - Méthode multi-grilles.

[Zuazua' team 01,02,05,...] au niveau semi-discret
 \implies Filtrage des hautes fréquences.

On considère la discrétisation différence finie suivante :

$$\begin{cases} \Delta_{\Delta t} y_{h,\Delta t} + \frac{1}{4}(h^2 - \Delta t^2)\Delta_h \Delta_{\Delta t} y_{h,\Delta t} - \Delta_h y_{h,\Delta t} = 0, \\ y_{h,\Delta t}(1, t) = v_{h,\Delta t}(1, t), \\ (y_h^0, y_h^1). \end{cases} \quad (16)$$

PROPOSITION

Soit $T > 2$. Le schéma aux différences finies, consistant d'ordre 2, inconditionnellement stable est uniformément contrôlable sous la condition "CFL"

$$0 < \frac{\Delta t}{h} \leq \sqrt{\frac{T}{2}} \quad (17)$$

Précisément, soit (Y_{0h}, Y_{1h}) une séquence discrète de la donnée initiale. Supposons que $(a_{k,h}, b_{k,h})_k$, les coefficients de Fourier de (Y_{0h}, Y_{1h}) , vérifient

$$(a_{k,h})_k \rightarrow (a_k)_k, \quad \left(\frac{b_{k,h}}{\sqrt{\lambda_{k,h}^{\sigma, \text{ex}}}} \right)_k \rightarrow \left(\frac{b_k}{k\pi} \right)_k \text{ dans } \ell^2 \text{ quand } h \rightarrow 0, \quad (18)$$

où (a_k, b_k) sont les coefficients de Fourier des données (y_0, y_1) . Soit $(v_h)_h$ une séquence de contrôle. On a les convergences suivantes

$$\begin{aligned} Q(v_h) &\rightarrow v \text{ dans } L^2(0, T) \text{ quand } h \rightarrow 0, \\ hP(v_h)' &\rightarrow 0 \text{ dans } L^2(0, T) \text{ quand } h \rightarrow 0 \end{aligned} \quad (19)$$

où v est le HUM contrôle.

On considère la discrétisation différence finie suivante :

$$\begin{cases} \Delta_{\Delta t} y_{h,\Delta t} + \frac{1}{4}(h^2 - \Delta t^2)\Delta_h \Delta_{\Delta t} y_{h,\Delta t} - \Delta_h y_{h,\Delta t} = 0, \\ y_{h,\Delta t}(1, t) = v_{h,\Delta t}(1, t), \\ (y_h^0, y_h^1). \end{cases} \quad (16)$$

Théorème (AM, M2AN 05)

Soit $T > 2$. Le schéma aux différences finies, consistant d'ordre 2, inconditionnellement stable est uniformément contrôlable sous la condition "CFL"

$$0 < \frac{\Delta t}{h} \leq \sqrt{\frac{T}{2}} \quad (17)$$

Précisément, soit $(\mathbf{Y}_{0h}, \mathbf{Y}_{1h})$ une séquence discrète de la donnée initiale. Supposons que $(a_{k,h}, b_{k,h})_k$, les coefficients de Fourier de $(\mathbf{Y}_{0h}, \mathbf{Y}_{1h})$, vérifient

$$(a_{k,h})_k \rightarrow (a_k)_k, \quad \left(\frac{b_{k,h}}{\sqrt{\lambda_{k,h}^{\theta, \alpha}}} \right)_k \rightarrow \left(\frac{b_k}{k\pi} \right)_k \text{ dans } \ell^2 \text{ quand } h \rightarrow 0, \quad (18)$$

où (a_k, b_k) sont les coefficients de Fourier des données (y_0, y_1) . Soit $(v_h)_h$ une séquence de contrôle. On a les convergences suivantes

$$\begin{aligned} Q(v_h) &\rightarrow v \text{ dans } L^2(0, T) \text{ quand } h \rightarrow 0, \\ hP(v_h)' &\rightarrow 0 \text{ dans } L^2(0, T) \text{ quand } h \rightarrow 0 \end{aligned} \quad (19)$$

où v est le HUM contrôle.

- Formellement, le schéma contrôlable est la discrétisation différences finies de l'équation

$$y'' - y_{xx} + \varepsilon(h, \Delta t)y''_{xx} = 0 \quad (0, T) \times \Omega \quad (20)$$

qui n'est pas uniformément contrôlable. Le spectre associé présente un point d'accumulation

$$\lambda_k = \frac{(k\pi)^2}{1 - \varepsilon(h, \Delta t)(k\pi)^2} \rightarrow -\frac{1}{\varepsilon(h, \Delta t)} \quad k \rightarrow \infty \quad (21)$$

- Si $h = \Delta t$, $\varepsilon(h, \Delta t) = 0$ et le schéma usuel, exacte, est contrôlable.
- Le schéma est d'autant plus CPU-efficace que T est grand ($\Delta t/h \leq \sqrt{T/2}$).

- Formellement, le schéma contrôlable est la discrétisation différences finies de l'équation

$$y'' - y_{xx} + \varepsilon(h, \Delta t)y''_{xx} = 0 \quad (0, T) \times \Omega \quad (20)$$

qui n'est pas uniformément contrôlable. Le spectre associé présente un point d'accumulation

$$\lambda_k = \frac{(k\pi)^2}{1 - \varepsilon(h, \Delta t)(k\pi)^2} \rightarrow -\frac{1}{\varepsilon(h, \Delta t)} \quad k \rightarrow \infty \quad (21)$$

- Si $h = \Delta t$, $\varepsilon(h, \Delta t) = 0$ et le schéma usuel, exacte, est contrôlable.
- Le schéma est d'autant plus CPU-efficace que T est grand ($\Delta t/h \leq \sqrt{T/2}$).

- Formellement, le schéma contrôlable est la discrétisation différences finies de l'équation

$$y'' - y_{xx} + \varepsilon(h, \Delta t)y''_{xx} = 0 \quad (0, T) \times \Omega \quad (20)$$

qui n'est pas uniformément contrôlable. Le spectre associé présente un point d'accumulation

$$\lambda_k = \frac{(k\pi)^2}{1 - \varepsilon(h, \Delta t)(k\pi)^2} \rightarrow -\frac{1}{\varepsilon(h, \Delta t)} \quad k \rightarrow \infty \quad (21)$$

- Si $h = \Delta t$, $\varepsilon(h, \Delta t) = 0$ et le schéma usuel, exacte, est contrôlable.
- Le schéma est d'autant plus CPU-efficace que T est grand ($\Delta t/h \leq \sqrt{T/2}$).

Schéma à deux paramètres θ et α , l'un pour contrôler la dispersion, l'autre la stabilité.

$$(S_{h,\Delta t}^{\theta,\alpha}) \begin{cases} \frac{1}{\Delta t^2} \left(\theta \left[y_{j+1}^{n+1} - 2y_{j+1}^n + y_{j+1}^{n-1} \right] + (1 - 2\theta) \left[y_j^{n+1} - 2y_j^n + y_j^{n-1} \right] + \theta \left[y_{j-1}^{n+1} - 2y_{j-1}^n + y_{j-1}^{n-1} \right] \right) \\ = \frac{1}{h^2} \left(\alpha \left[y_{j+1}^{n+1} - 2y_j^{n+1} + y_{j-1}^{n+1} \right] + (1 - 2\alpha) \left[y_{j+1}^n - 2y_j^n + y_{j-1}^n \right] + \alpha \left[y_{j+1}^{n-1} - 2y_j^{n-1} + y_{j-1}^{n-1} \right] \right), \\ 1 \leq j \leq J+1, 0 \leq n \leq N, \\ y_0^n = 0, \quad y_{J+1}^n = v_h^n, & 0 \leq n \leq N, \\ \frac{y_j^0 + y_j^1}{2} = y_{0j}, \quad \frac{y_j^1 - y_j^0}{\Delta t} = y_{1j}, & 0 \leq j \leq J+1. \end{cases} \quad (22)$$

Les valeurs propres sont

$$\lambda_{k,h}^{\theta,\alpha} = \left[\frac{2}{\Delta t} \arcsin \left(\frac{\nu \sin(k\pi h/2)}{\sqrt{1 - 4(\theta - \alpha\nu^2) \sin^2(k\pi h/2)}} \right) \right]^2, \quad \nu = \frac{\Delta t}{h} \quad \forall k = 1, \dots, J, \quad (23)$$

Lemme

Si $(\theta, \alpha, \nu) \in \mathcal{C} = \left\{ (\theta, \alpha, \nu) \in \mathbb{R}^+ \times \mathbb{R}^+ \times \mathbb{R}_*^+, \lim_{h \rightarrow 0} \cos^2(\pi h/2)(\nu^2(1 - 4\alpha) + 4\theta) = 1 \right\}$ alors

$$\sqrt{\lambda_{j,h}^{\theta,\alpha}} - \sqrt{\lambda_{j-1,h}^{\theta,\alpha}} \geq \pi \min(1, \nu^{-2}), \quad \forall j = 2, \dots, J \quad (24)$$

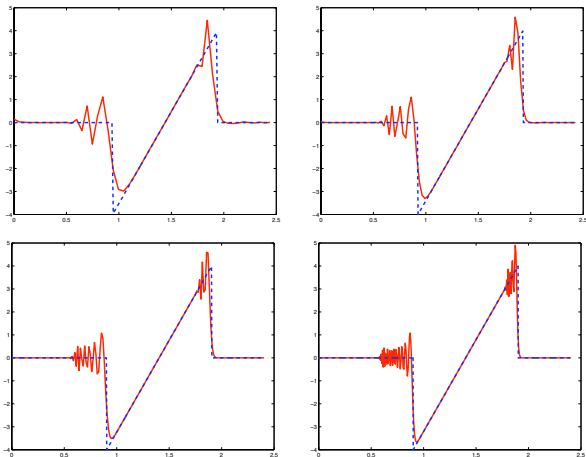


Figure: Avec le schéma modifié $\Delta t = 1.0954h$, $T = 2.4$ ($h = 1/20, 1/40, 1/80, 1/160$).

$$\|P(v_h, \Delta t) - v\|_{L^2(0, T)} = O(h). \quad (25)$$

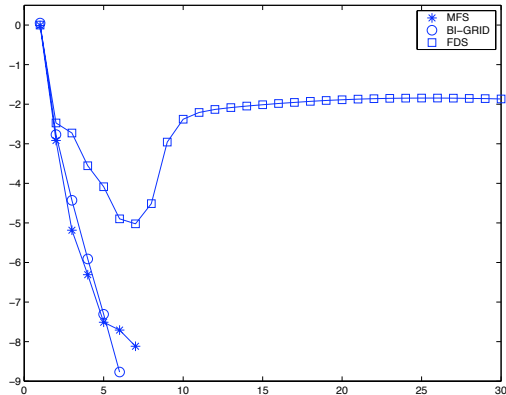


Figure: Log10(erreur relative du résidu) vs. itération du gradient conjugué - gauche : Schéma usuel (\square), modifié (\star) et Bi-Grille (\circ).

$$\text{Cond}(\Lambda_{h,\Delta t}^{\theta,\alpha}) = O(h^{-2}). \quad (26)$$

Le schéma aux différences finies - semi-discret -à 5 points

$$(\mathcal{W}_h^{0,0,1}) \begin{cases} w_{ij}''(t) + \frac{1}{h^2} (4w_{ij}(t) - w_{i+1j}(t) - w_{i-1j}(t) - w_{ij+1}(t) - w_{ij-1}(t)) = 0, & 1 \leq i, j \leq N, \quad 0 \leq t \leq T, \\ w_{i0}(t) = w_{iN+1}(t) = w_{0j}(t) = w_{N+1j}(t) = 0, & 0 \leq i, j \leq N+1, \quad 0 \leq t \leq T, \\ (w_{ij}(T), w_{ij}'(T)) = (w_{ij}^0, w_{ij}^1), & 0 \leq i, j \leq N+1. \end{cases} \quad (27)$$

n'est pas uniformément contrôlable. La vitesse de groupe associée à

$$\omega = \omega_{fd}(\xi) = \frac{2}{h} \sqrt{\sin^2\left(\frac{\xi_1 h}{2}\right) + \sin^2\left(\frac{\xi_2 h}{2}\right)}, \quad \xi = (\xi_1, \xi_2) \in (-\pi/h, \pi/h). \quad (28)$$

n'est pas uniformément minorée :

$$\min_{\xi \in (-\pi/h, \pi/h)^2} |\nabla_{\xi} \omega_{fd}(\xi)| = \mathcal{O}(h). \quad (29)$$

[Castro-Micu-AM, IMA Numer. Analysis 2008]

$(y, y') \in (Q^1, Q^0)$

$$\left\{ \begin{array}{l} \frac{h^2}{16} (4w''_{ij} + 2w''_{i+1j} + 2w''_{i-1j} + 2w''_{ij+1} + 2w''_{ij-1} + w''_{i+1j+1} + w''_{i+1j-1} + w''_{i-1j+1} + w''_{i-1j-1}) \\ + \frac{1}{3} (8w_{ij} - w_{i+1j} - w_{i-1j} - w_{ij+1} - w_{ij-1} - w_{i+1j+1} - w_{i+1j-1} - w_{i-1j+1} - w_{i-1j-1}) = 0, \\ + C.L. \end{array} \right. \quad 1 \leq i, j \leq N, \quad (30)$$

$$\omega = \omega_{mfe}(\xi) = \frac{2}{h} \sqrt{\tan^2\left(\frac{\xi_1 h}{2}\right) + \tan^2\left(\frac{\xi_2 h}{2}\right) + \frac{2}{3} \tan^2\left(\frac{\xi_1 h}{2}\right) \tan^2\left(\frac{\xi_2 h}{2}\right)} \quad (31)$$

$$\forall \xi \in (-\pi/h, \pi/h)^2 \quad 1 \leq |\nabla_{\xi} \omega_{mfe}(\xi)| \leq O(h^{-3}) \quad (32)$$

Le schéma semi-discret est uniformément contrôlable.

$$|\nabla_{\xi} \omega_{mfe}(\xi)| \geq O(\Delta t^{-1} h^3) \implies \Delta t = O(h^3) \quad (33)$$

$$+ \text{Newmark} \quad : |\nabla_{\xi} \omega_{mfe}(\xi)| \geq O(\Delta t^{-1} h^{3/2}) \implies \Delta t = O(h^{3/2}) \quad (34)$$

[Castro-Micu-AM, IMA Numer. Analysis 2008]

$(y, y') \in (Q^1, Q^0)$

$$\left\{ \begin{array}{l} \frac{h^2}{16} (4w_{ij}'' + 2w_{i+1j}'' + 2w_{i-1j}'' + 2w_{ij+1}'' + 2w_{ij-1}'' + w_{i+1j+1}'' + w_{i+1j-1}'' + w_{i-1j+1}'' + w_{i-1j-1}'') \\ + \frac{1}{3} (8w_{ij} - w_{i+1j} - w_{i-1j} - w_{ij+1} - w_{ij-1} - w_{i+1j+1} - w_{i+1j-1} - w_{i-1j+1} - w_{i-1j-1}) = 0, \\ + C.L. \end{array} \right. \quad 1 \leq i, j \leq N, \quad (30)$$

$$\omega = \omega_{mfe}(\xi) = \frac{2}{h} \sqrt{\tan^2\left(\frac{\xi_1 h}{2}\right) + \tan^2\left(\frac{\xi_2 h}{2}\right) + \frac{2}{3} \tan^2\left(\frac{\xi_1 h}{2}\right) \tan^2\left(\frac{\xi_2 h}{2}\right)} \quad (31)$$

$$\forall \xi \in (-\pi/h, \pi/h)^2 \quad \mathbf{1} \leq |\nabla_{\xi} \omega_{mfe}(\xi)| \leq O(h^{-3}) \quad (32)$$

Théorème (C. Castro, S. Micu, AM)

Le schéma semi-discret est uniformément contrôlable.

$$|\nabla_{\xi} \omega_{mfe}(\xi)| \geq O(\Delta t^{-1} h^3) \implies \Delta t = O(h^3) \quad (33)$$

$$+ \text{Newmark} \quad : |\nabla_{\xi} \omega_{mfe}(\xi)| \geq O(\Delta t^{-1} h^{3/2}) \implies \Delta t = O(h^{3/2}) \quad (34)$$

[Castro-Micu-AM, IMA Numer. Analysis 2008]

$(y, y') \in (Q^1, Q^0)$

$$\begin{cases} \frac{h^2}{16} (4w''_{ij} + 2w''_{i+1j} + 2w''_{i-1j} + 2w''_{ij+1} + 2w''_{ij-1} + w''_{i+1j+1} + w''_{i+1j-1} + w''_{i-1j+1} + w''_{i-1j-1}) \\ \quad + \frac{1}{3} (8w_{ij} - w_{i+1j} - w_{i-1j} - w_{ij+1} - w_{ij-1} - w_{i+1j+1} - w_{i+1j-1} - w_{i-1j+1} - w_{i-1j-1}) = 0, \\ \quad 1 \leq i, j \leq N, \\ + C.L. \end{cases} \quad (30)$$

$$\omega = \omega_{mfe}(\xi) = \frac{2}{h} \sqrt{\tan^2\left(\frac{\xi_1 h}{2}\right) + \tan^2\left(\frac{\xi_2 h}{2}\right) + \frac{2}{3} \tan^2\left(\frac{\xi_1 h}{2}\right) \tan^2\left(\frac{\xi_2 h}{2}\right)} \quad (31)$$

$$\forall \xi \in (-\pi/h, \pi/h)^2 \quad \mathbf{1} \leq |\nabla_{\xi} \omega_{mfe}(\xi)| \leq O(h^{-3}) \quad (32)$$

Théorème (C. Castro, S. Micu, AM)

Le schéma semi-discret est uniformément contrôlable.

$$|\nabla_{\xi} \omega_{mfe}(\xi)| \geq O(\Delta t^{-1} h^3) \implies \Delta t = O(h^3) \quad (33)$$

$$+ \text{Newmark} \quad : |\nabla_{\xi} \omega_{mfe}(\xi)| \geq O(\Delta t^{-1} h^{3/2}) \implies \Delta t = O(h^{3/2}) \quad (34)$$

Un schéma remarquable pour $\Omega = (0, 1)^2$

Après introduction et optimisation d'un schéma générique à trois paramètres

$$\frac{h^2}{16} \left(4w_{ij}'' + 2w_{i+1j}'' + 2w_{i-1j}'' + 2w_{ij+1}'' + 2w_{ij-1}'' + w_{i+1j+1}'' + w_{i+1j-1}'' + w_{i-1j+1}'' + w_{i-1j-1}'' \right) + \frac{1}{2} \left(4w_{ij} - w_{i+1j+1} - w_{i+1j-1} - w_{i-1j+1} - w_{i-1j-1} \right) = 0, \quad 1 \leq i, j \leq N, \quad (35)$$

formellement associé à la semi-discrétisation de l'équation continue

$$\left(I + \frac{h^2}{4} \partial_x^2 \right) \left(I + \frac{h^2}{4} \partial_y^2 \right) w'' - \left(I + \frac{h^2}{4} \partial_x^2 \right) \partial_y^2 w - \left(I + \frac{h^2}{4} \partial_y^2 \right) \partial_x^2 w = 0, \quad (0, T) \times \Omega. \quad (36)$$

$$\left(\mathcal{W}_{\mathcal{N}, h, \Delta t}^{1/4, 1, 0} \right) \left\{ \begin{array}{l} \left(M^{1/4} + \frac{\Delta t^2}{4} K_h^{1,0} \right) \frac{w_h^{k+1} - 2w_h^k + w_h^{k-1}}{\Delta t^2} + K_h^{1,0} w_h^k = 0, \quad \forall 0 \leq k \leq K, \\ w_h^k = w_h^0, \quad \frac{w_h^{k+1} - w_h^{k-1}}{2\Delta t} = w_h^1. \end{array} \right. \quad (37)$$

La vitesse de groupe vérifie $\min_{\xi \in [-\pi/h, \pi/h]^2} |\nabla_{\xi} \omega(\xi)| = \min(1, \frac{1}{2} h^2 \Delta t^{-2})$.

Soit $T > 2\sqrt{2}$. Le schéma $(\mathcal{W}_{\mathcal{N}, h, \Delta t}^{1/4, 1, 0})$, consistant d'ordre 2 et inconditionnellement stable, est uniformément contrôlable sous la condition $\frac{\Delta t}{h} \leq \sqrt{\frac{T}{2\sqrt{2}}}$.

$$|\xi| = \omega(\xi) \leq \omega_{\mathcal{N}, h, h/\sqrt{2}}^{1/4, 1, 0}(\xi) \leq \sqrt{2} \omega(\xi), \quad \forall \xi \in (-\pi/h, \pi/h)^2. \quad (38)$$

Un schéma remarquable pour $\Omega = (0, 1)^2$

Après introduction et optimisation d'un schéma générique à trois paramètres

$$\frac{h^2}{16} \left(4w_{ij}'' + 2w_{i+1j}'' + 2w_{i-1j}'' + 2w_{ij+1}'' + 2w_{ij-1}'' + w_{i+1j+1}'' + w_{i+1j-1}'' + w_{i-1j+1}'' + w_{i-1j-1}'' \right) + \frac{1}{2} \left(4w_{ij} - w_{i+1j+1} - w_{i+1j-1} - w_{i-1j+1} - w_{i-1j-1} \right) = 0, \quad 1 \leq i, j \leq N, \quad (35)$$

formellement associé à la semi-discrétisation de l'équation continue

$$\left(I + \frac{h^2}{4} \partial_x^2 \right) \left(I + \frac{h^2}{4} \partial_y^2 \right) w'' - \left(I + \frac{h^2}{4} \partial_x^2 \right) \partial_y^2 w - \left(I + \frac{h^2}{4} \partial_y^2 \right) \partial_x^2 w = 0, \quad (0, T) \times \Omega. \quad (36)$$

$$\left(\mathcal{W}_{\mathcal{N}, h, \Delta t}^{1/4, 1, 0} \right) \left\{ \begin{array}{l} \left(M^{1/4} + \frac{\Delta t^2}{4} K_h^{1,0} \right) \frac{w_h^{k+1} - 2w_h^k + w_h^{k-1}}{\Delta t^2} + K_h^{1,0} w_h^k = 0, \quad \forall 0 \leq k \leq K, \\ w_h^K = w_h^0, \quad \frac{w_h^{K+1} - w_h^{K-1}}{2\Delta t} = w_h^1. \end{array} \right. \quad (37)$$

Lemme

La vitesse de groupe vérifie $\min_{\xi \in (-\pi/h, \pi/h)^2} |\nabla_{\xi} \omega(\xi)| = \min(1, \frac{1}{2} h^2 \Delta t^{-2})$.

Théorème (Asch-AM, JOTA, 08)

Soit $T > 2\sqrt{2}$. Le schéma $(\mathcal{W}_{\mathcal{N}, h, \Delta t}^{1/4, 1, 0})$, consistant d'ordre 2 et inconditionnellement stable, est uniformément contrôlable sous la condition $\frac{\Delta t}{h} \leq \sqrt{\frac{T}{2\sqrt{2}}}$.

$$|\xi| = \omega(\xi) \leq \omega_{\mathcal{N}, h, h/\sqrt{2}}^{1/4, 1, 0}(\xi) \leq \sqrt{2} \omega(\xi), \quad \forall \xi \in (-\pi/h, \pi/h)^2. \quad (38)$$

Un schéma remarquable pour $\Omega = (0, 1)^2$

Après introduction et optimisation d'un schéma générique à trois paramètres

$$\frac{h^2}{16} \left(4w_{ij}'' + 2w_{i+1j}'' + 2w_{i-1j}'' + 2w_{ij+1}'' + 2w_{ij-1}'' + w_{i+1j+1}'' + w_{i+1j-1}'' + w_{i-1j+1}'' + w_{i-1j-1}'' \right) + \frac{1}{2} \left(4w_{ij} - w_{i+1j+1} - w_{i+1j-1} - w_{i-1j+1} - w_{i-1j-1} \right) = 0, \quad 1 \leq i, j \leq N, \quad (35)$$

formellement associé à la semi-discrétisation de l'équation continue

$$\left(I + \frac{h^2}{4} \partial_x^2 \right) \left(I + \frac{h^2}{4} \partial_y^2 \right) w'' - \left(I + \frac{h^2}{4} \partial_x^2 \right) \partial_y^2 w - \left(I + \frac{h^2}{4} \partial_y^2 \right) \partial_x^2 w = 0, \quad (0, T) \times \Omega. \quad (36)$$

$$\left(\mathcal{W}_{\mathcal{N}, h, \Delta t}^{1/4, 1, 0} \right) \left\{ \begin{array}{l} \left(M^{1/4} + \frac{\Delta t^2}{4} K_h^{1,0} \right) \frac{w_h^{k+1} - 2w_h^k + w_h^{k-1}}{\Delta t^2} + K_h^{1,0} w_h^k = 0, \quad \forall 0 \leq k \leq K, \\ w_h^K = w_h^0, \quad \frac{w_h^{K+1} - w_h^{K-1}}{2\Delta t} = w_h^1. \end{array} \right. \quad (37)$$

Lemme

La vitesse de groupe vérifie $\min_{\xi \in (-\pi/h, \pi/h)^2} |\nabla_{\xi} \omega(\xi)| = \min(1, \frac{1}{2} h^2 \Delta t^{-2})$.

Théorème (Asch-AM, JOTA, 08)

Soit $T > 2\sqrt{2}$. Le schéma $(\mathcal{W}_{\mathcal{N}, h, \Delta t}^{1/4, 1, 0})$, consistant d'ordre 2 et inconditionnellement stable, est uniformément contrôlable sous la condition $\frac{\Delta t}{h} \leq \sqrt{\frac{T}{2\sqrt{2}}}$.

$$|\xi| = \omega(\xi) \leq \omega_{\mathcal{N}, h, h/\sqrt{2}}^{1/4, 1, 0}(\xi) \leq \sqrt{2} \omega(\xi), \quad \forall \xi \in (-\pi/h, \pi/h)^2. \quad (38)$$

Un schéma remarquable pour $\Omega = (0, 1)^2$

Après introduction et optimisation d'un schéma générique à trois paramètres

$$\frac{h^2}{16} \left(4w_{ij}'' + 2w_{i+1j}'' + 2w_{i-1j}'' + 2w_{ij+1}'' + 2w_{ij-1}'' + w_{i+1j+1}'' + w_{i+1j-1}'' + w_{i-1j+1}'' + w_{i-1j-1}'' \right) + \frac{1}{2} \left(4w_{ij} - w_{i+1j+1} - w_{i+1j-1} - w_{i-1j+1} - w_{i-1j-1} \right) = 0, \quad 1 \leq i, j \leq N, \quad (35)$$

formellement associé à la semi-discrétisation de l'équation continue

$$\left(I + \frac{h^2}{4} \partial_x^2 \right) \left(I + \frac{h^2}{4} \partial_y^2 \right) w'' - \left(I + \frac{h^2}{4} \partial_x^2 \right) \partial_y^2 w - \left(I + \frac{h^2}{4} \partial_y^2 \right) \partial_x^2 w = 0, \quad (0, T) \times \Omega. \quad (36)$$

$$\left(\mathcal{W}_{\mathcal{N}, h, \Delta t}^{1/4, 1, 0} \right) \left\{ \begin{array}{l} \left(M^{1/4} + \frac{\Delta t^2}{4} K_h^{1,0} \right) \frac{w_h^{k+1} - 2w_h^k + w_h^{k-1}}{\Delta t^2} + K_h^{1,0} w_h^k = 0, \quad \forall 0 \leq k \leq K, \\ w_h^K = w_h^0, \quad \frac{w_h^{K+1} - w_h^{K-1}}{2\Delta t} = w_h^1. \end{array} \right. \quad (37)$$

Lemme

La vitesse de groupe vérifie $\min_{\xi \in (-\pi/h, \pi/h)^2} |\nabla_{\xi} \omega(\xi)| = \min(1, \frac{1}{2} h^2 \Delta t^{-2})$.

Théorème (Asch-AM, JOTA, 08)

Soit $T > 2\sqrt{2}$. Le schéma $(\mathcal{W}_{\mathcal{N}, h, \Delta t}^{1/4, 1, 0})$, consistant d'ordre 2 et inconditionnellement stable, est uniformément contrôlable sous la condition $\frac{\Delta t}{h} \leq \sqrt{\frac{T}{2\sqrt{2}}}$.

$$|\xi| = \omega(\xi) \leq \omega_{\mathcal{N}, h, h/\sqrt{2}}^{1/4, 1, 0}(\xi) \leq \sqrt{2} \omega(\xi), \quad \forall \xi \in (-\pi/h, \pi/h)^2. \quad (38)$$

Un schéma remarquable pour $\Omega = (0, 1)^2$

Après introduction et optimisation d'un schéma générique à trois paramètres

$$\frac{h^2}{16} \left(4w_{ij}'' + 2w_{i+1j}'' + 2w_{i-1j}'' + 2w_{ij+1}'' + 2w_{ij-1}'' + w_{i+1j+1}'' + w_{i+1j-1}'' + w_{i-1j+1}'' + w_{i-1j-1}'' \right) + \frac{1}{2} \left(4w_{ij} - w_{i+1j+1} - w_{i+1j-1} - w_{i-1j+1} - w_{i-1j-1} \right) = 0, \quad 1 \leq i, j \leq N, \quad (35)$$

formellement associé à la semi-discrétisation de l'équation continue

$$\left(I + \frac{h^2}{4} \partial_x^2 \right) \left(I + \frac{h^2}{4} \partial_y^2 \right) w'' - \left(I + \frac{h^2}{4} \partial_x^2 \right) \partial_y^2 w - \left(I + \frac{h^2}{4} \partial_y^2 \right) \partial_x^2 w = 0, \quad (0, T) \times \Omega. \quad (36)$$

$$\left(\mathcal{W}_{\mathcal{N}, h, \Delta t}^{1/4, 1, 0} \right) \left\{ \begin{array}{l} \left(M^{1/4} + \frac{\Delta t^2}{4} K_h^{1,0} \right) \frac{w_h^{k+1} - 2w_h^k + w_h^{k-1}}{\Delta t^2} + K_h^{1,0} w_h^k = 0, \quad \forall 0 \leq k \leq K, \\ w_h^K = w_h^0, \quad \frac{w_h^{K+1} - w_h^{K-1}}{2\Delta t} = w_h^1. \end{array} \right. \quad (37)$$

Lemme

La vitesse de groupe vérifie $\min_{\xi \in (-\pi/h, \pi/h)^2} |\nabla_{\xi} \omega(\xi)| = \min(1, \frac{1}{2} h^2 \Delta t^{-2})$.

Théorème (Asch-AM, JOTA, 08)

Soit $T > 2\sqrt{2}$. Le schéma $(\mathcal{W}_{\mathcal{N}, h, \Delta t}^{1/4, 1, 0})$, consistant d'ordre 2 et inconditionnellement stable, est uniformément contrôlable sous la condition $\frac{\Delta t}{h} \leq \sqrt{\frac{T}{2\sqrt{2}}}$.

$$|\xi| = \omega(\xi) \leq \omega_{\mathcal{N}, h, h/\sqrt{2}}^{1/4, 1, 0}(\xi) \leq \sqrt{2} \omega(\xi), \quad \forall \xi \in (-\pi/h, \pi/h)^2. \quad (38)$$

$$T = 3 > 2\sqrt{2}, \quad \Omega = (0, 1)^2, \quad (y^0(\mathbf{x}), y^1(\mathbf{x})) = (40\mathcal{X}_D(\mathbf{x}), 0), \quad D = (1/3, 2/3)^2, \quad \Gamma_0 = \{x \in \partial\Omega, (1-x)(1-y) = 0\} \quad (39)$$

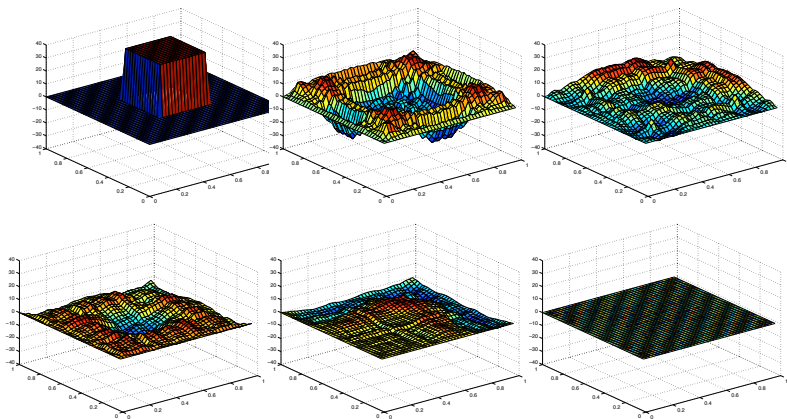


Figure: Contrôlabilité des conditions initiales (y^0, y^1) - Approximation $\mathbf{y}_h(t)$ sur Ω pour $t = 0, 3/7, 12/7, 15/7, 18/7$ et $T = 3$.

$$\begin{cases} y'' - \Delta y + a(\mathbf{x})\mathcal{X}_\omega y' = 0, & (0, T) \times \Omega, \\ y = 0, & (0, T) \times \partial\Omega, \\ (y(0, \cdot), y'(0, \cdot)) = (y^0, y^1), & \Omega, \end{cases} \quad (40)$$

avec $a \in L^\infty(\Omega, \mathbb{R}^+)$, $(y^0, y^1) \in H_0^1(\Omega) \times L^2(\Omega)$, $\omega \subset \Omega$.

Théorème

Si (Ω, T, ω) vérifie l'optique géométrique

$$\exists \alpha, C > 0, \quad E(t) \leq CE(0)e^{-\alpha t}, \quad t > 0, \quad E(t) = \frac{1}{2} \int_{\Omega} (|y'|^2 + |\nabla y|^2) dx \quad (41)$$

MAIS, SI $\omega \neq \Omega$, ALORS au niveau discret [Banks-Ito-Wang 91]

$$\exists \alpha_h, C_h > 0, \quad E_h(t) \leq C_h E_h(0) e^{-\alpha_h t}, \quad t > 0 \quad \text{avec} \quad \lim_{h \rightarrow 0} \alpha_h = 0 \quad (42)$$

Le schéma semi-discret

Le schéma semi-discret associée à l'équation (avec termes de viscosités en h^2 ($h = (h_1, h_2)$))

$$y'' - \Delta y + a(\mathbf{x})\mathcal{X}_\omega y' - h_1^2 \frac{\partial^2}{\partial x_1^2} y' - h_2^2 \frac{\partial^2}{\partial x_2^2} y' = 0, \quad (0, T) \times \Omega. \quad (43)$$

assure la décroissance exponentielle uniforme: $\exists \alpha_0 > 0$ tq. $\alpha_h \geq \alpha_0 \forall h > 0$.

$$\begin{cases} y'' - \Delta y + a(\mathbf{x})\mathcal{X}_\omega y' = 0, & (0, T) \times \Omega, \\ y = 0, & (0, T) \times \partial\Omega, \\ (y(0, \cdot), y'(0, \cdot)) = (y^0, y^1), & \Omega, \end{cases} \quad (40)$$

avec $a \in L^\infty(\Omega, \mathbb{R}^+)$, $(y^0, y^1) \in H_0^1(\Omega) \times L^2(\Omega)$, $\omega \subset \Omega$.

Théorème

Si (Ω, T, ω) vérifie l'optique géométrique

$$\exists \alpha, C > 0, \quad E(t) \leq CE(0)e^{-\alpha t}, \quad t > 0, \quad E(t) = \frac{1}{2} \int_{\Omega} (|y'|^2 + |\nabla y|^2) dx \quad (41)$$

MAIS, SI $\omega \neq \Omega$, ALORS au niveau discret [Banks-Ito-Wang 91]

$$\exists \alpha_h, C_h > 0, \quad E_h(t) \leq C_h E_h(0) e^{-\alpha_h t}, \quad t > 0 \quad \text{avec} \quad \lim_{h \rightarrow 0} \alpha_h = 0 \quad (42)$$

Le schéma semi-discret

Le schéma semi-discret associée à l'équation (avec termes de viscosités en h^2 ($h = (h_1, h_2)$))

$$y'' - \Delta y + a(\mathbf{x})\mathcal{X}_\omega y' - h_1^2 \frac{\partial^2}{\partial x_1^2} y' - h_2^2 \frac{\partial^2}{\partial x_2^2} y' = 0, \quad (0, T) \times \Omega. \quad (43)$$

assure la décroissance exponentielle uniforme: $\exists \alpha_0 > 0$ tq. $\alpha_h \geq \alpha_0 \forall h > 0$.

$$\begin{cases} y'' - \Delta y + a(\mathbf{x})\mathcal{X}_\omega y' = 0, & (0, T) \times \Omega, \\ y = 0, & (0, T) \times \partial\Omega, \\ (y(0, \cdot), y'(0, \cdot)) = (y^0, y^1), & \Omega, \end{cases} \quad (40)$$

avec $a \in L^\infty(\Omega, \mathbb{R}^+)$, $(y^0, y^1) \in H_0^1(\Omega) \times L^2(\Omega)$, $\omega \subset \Omega$.

Théorème

Si (Ω, T, ω) vérifie l'optique géométrique

$$\exists \alpha, C > 0, \quad E(t) \leq CE(0)e^{-\alpha t}, \quad t > 0, \quad E(t) = \frac{1}{2} \int_{\Omega} (|y'|^2 + |\nabla y|^2) dx \quad (41)$$

MAIS, SI $\omega \neq \Omega$, ALORS au niveau discret [Banks-Ito-Wang 91]

$$\exists \alpha_h, C_h > 0, \quad E_h(t) \leq C_h E_h(0) e^{-\alpha_h t}, \quad t > 0 \quad \text{avec} \quad \lim_{h \rightarrow 0} \alpha_h = 0 \quad (42)$$

Théorème (A. Pazoto, AM, 2005, COCV)

Le schéma semi-discret associée à l'équation (avec termes de viscosités en h^2 ($h = (h_1, h_2)$))

$$y'' - \Delta y + a(\mathbf{x})\mathcal{X}_\omega y' - h_1^2 \frac{\partial^2}{\partial x_1^2} y' - h_2^2 \frac{\partial^2}{\partial x_2^2} y' = 0, \quad (0, T) \times \Omega. \quad (43)$$

assure la décroissance exponentielle uniforme: $\exists \alpha_0 > 0$ tq. $\alpha_h \geq \alpha_0 \forall h > 0$.

L'analogie au niveau semi-discret de la relation

$$TE(0) = - \int_{\Omega} u_t \left(\mathbf{x} \cdot \nabla u + \frac{u}{2} \right) \Big|_0^T dx + \frac{1}{2} \int_0^T \int_{\partial\Omega} \mathbf{x} \cdot \boldsymbol{\nu} \left| \frac{\partial u}{\partial \nu} \right|^2 d\nu dt, \quad \Omega \subset \mathbb{R}^2 \quad (44)$$

est

$$\begin{aligned} TE_{h_1, h_2}(0) &= \int_0^T E_{h_1, h_2}(t) dt \\ &= \dots \quad (\text{"bons" termes}) \\ &\quad - \frac{h_1 h_2}{2} \sum_{j=0}^J \sum_{k \in \mathcal{I}_j} \int_0^T \left\{ \left(\frac{u_{j+1, k} - u_{j, k}}{h_1} \right)^2 + \left(\frac{u_{j, k+1} - u_{j, k}}{h_2} \right)^2 \right\} dt \\ &\quad + \frac{h_1 h_2}{2} \sum_{j=0}^J \sum_{k \in \mathcal{I}_j} \int_0^T \left\{ \left(\frac{u_{j+1, k+1} - u_{j, k+1}}{h_1} \right) \left(\frac{u_{j+1, k} - u_{j, k}}{h_1} \right) \right\} dt \\ &\quad + \frac{h_1 h_2}{2} \sum_{j=0}^J \sum_{k \in \mathcal{I}_j} \int_0^T \left\{ \left(\frac{u_{j+1, k+1} - u_{j+1, k}}{h_2} \right) \left(\frac{u_{j, k+1} - u_{j, k}}{h_2} \right) \right\} dt \\ &\quad + \frac{h_1 h_2}{4} \sum_{j=0}^J \sum_{k \in \mathcal{I}_j} \int_0^T \left\{ h_1^2 \left(\frac{u'_{j+1, k} - u'_{j, k}}{h_1} \right)^2 + h_2^2 \left(\frac{u'_{j, k+1} - u'_{j, k}}{h_2} \right)^2 \right\} dt. \end{aligned} \quad (45)$$

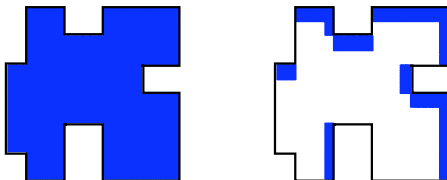


Figure: Domaine $\Omega \subset (0, 1)^2$ et support $\omega \subset \Omega$ de la fonction de la dissipation a .

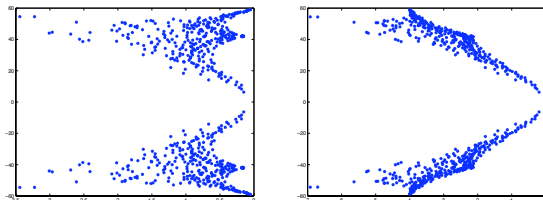


Figure: Distribution du spectre de \mathcal{A}_h sans et avec termes de viscosité.

	$h = 1/20$	$h = 1/40$	$h = 1/80$	$h = 1/160$
sans viscosité	1.53×10^{-2}	9.34×10^{-3}	3.12×10^{-3}	2.3×10^{-4}
avec viscosité	2.32×10^{-1}	1.92×10^{-1}	1.90×10^{-1}	1.89×10^{-1}

Table: Abcisse spectrale de l'opérateur $-\max\{Re(\lambda), \lambda \in \sigma(\mathcal{A}_h)\}$.

[Loreti-Geymonat-Valente, 92,95,00], [Pazoto-AM, DCDS-B 08], [AmmarKhodja-Geymonat-AM, 08]

$$\begin{cases} \mathbf{y}_\varepsilon'' + \mathbf{A}_M \mathbf{y}_\varepsilon + \varepsilon^2 \mathbf{A}_F \mathbf{y}_\varepsilon = 0, & \mathbf{y}_\varepsilon = (y_{\varepsilon,1}, y_{\varepsilon,2}, y_{\varepsilon,3}) & (0, T) \times \omega \\ y_{\varepsilon,\alpha} = \mathbf{v}_\alpha, (\varepsilon^2) y_{\varepsilon,3} = 0, (\varepsilon^2) \partial_n y_{\varepsilon,3} = \mathbf{v}_3, & & (0, T) \times \partial\omega, \\ \mathbf{y}_\varepsilon = \mathbf{y}^0 \in L^2(\omega)^3, \quad \mathbf{y}'_\varepsilon = \mathbf{y}^1 \in H^{-1}(\omega) \times H^{-1}(\omega) \times H^{-2}(\omega) & & \{0\} \times \omega \end{cases} \quad (46)$$

\mathbf{A}_M opérateur membranaire - \mathbf{A}_F opérateur de flexion

Si $T \geq T^*(\varepsilon, \text{courbure})$, alors il existe $\mathbf{v} = (\mathbf{v}_\alpha, \mathbf{v}_3) \in (L^2((0, T) \times \partial\omega))^3$ tel que $\mathbf{y}(T, \cdot) - \mathbf{y}'(T, \cdot) = 0$.

Dans le cas d'une hémisphère de courbure C , $T^*(\varepsilon, C) \approx 2 + C\varepsilon^{-1} \rightarrow \infty$ quand $\varepsilon \rightarrow 0$

- L'opérateur \mathbf{A}_M auto-adjoint d'ordre mixte possède du spectre essentiel.
- Pour quelles données $(\mathbf{y}^0, \mathbf{y}^1)$ la contrôlabilité uniforme a-t-elle lieu ???

[Loreti-Geymonat-Valente, 92,95,00], [Pazoto-AM, DCDS-B 08], [AmmarKhodja-Geymonat-AM, 08]

$$\begin{cases} \mathbf{y}_\varepsilon'' + \mathbf{A}_M \mathbf{y}_\varepsilon + \varepsilon^2 \mathbf{A}_F \mathbf{y}_\varepsilon = 0, & \mathbf{y}_\varepsilon = (y_{\varepsilon,1}, y_{\varepsilon,2}, y_{\varepsilon,3}) & (0, T) \times \omega \\ y_{\varepsilon,\alpha} = \mathbf{v}_\alpha, (\varepsilon^2) y_{\varepsilon,3} = 0, (\varepsilon^2) \partial_n y_{\varepsilon,3} = \mathbf{v}_3, & & (0, T) \times \partial\omega, \\ \mathbf{y}_\varepsilon = \mathbf{y}^0 \in L^2(\omega)^3, \quad \mathbf{y}'_\varepsilon = \mathbf{y}^1 \in H^{-1}(\omega) \times H^{-1}(\omega) \times H^{-2}(\omega) & & \{0\} \times \omega \end{cases} \quad (46)$$

\mathbf{A}_M opérateur membranaire - \mathbf{A}_F opérateur de flexion

Théorème (Cas $\varepsilon > 0$, Miara-Valente, 99)

Si $T \geq T^*(\varepsilon, \text{courbure})$, alors il existe $\mathbf{v} = (v_\alpha, v_3) \in (L^2((0, T) \times \partial\omega))^3$ tel que $\mathbf{y}(T, \cdot) = \mathbf{y}'(T, \cdot) = \mathbf{0}$.

Théorème (Valente-Geymonat-Loreti)

Dans le cas d'une hémisphère de courbure C , $T^*(\varepsilon, C) \approx 2 + C\varepsilon^{-1} \rightarrow \infty$ quand $\varepsilon \rightarrow 0$

- L'opérateur \mathbf{A}_M auto-adjoint d'ordre mixte possède du spectre essentiel.
- Pour quelles données $(\mathbf{y}^0, \mathbf{y}^1)$ la contrôlabilité uniforme a-t-elle lieu ???

[Loreti-Geymonat-Valente, 92,95,00], [Pazoto-AM, DCDS-B 08], [AmmarKhodja-Geymonat-AM, 08]

$$\begin{cases} \mathbf{y}_\varepsilon'' + \mathbf{A}_M \mathbf{y}_\varepsilon + \varepsilon^2 \mathbf{A}_F \mathbf{y}_\varepsilon = 0, & \mathbf{y}_\varepsilon = (y_{\varepsilon,1}, y_{\varepsilon,2}, y_{\varepsilon,3}) & (0, T) \times \omega \\ y_{\varepsilon,\alpha} = \mathbf{v}_\alpha, (\varepsilon^2) y_{\varepsilon,3} = 0, (\varepsilon^2) \partial_n y_{\varepsilon,3} = \mathbf{v}_3, & & (0, T) \times \partial\omega, \\ \mathbf{y}_\varepsilon = \mathbf{y}^0 \in L^2(\omega)^3, \quad \mathbf{y}'_\varepsilon = \mathbf{y}^1 \in H^{-1}(\omega) \times H^{-1}(\omega) \times H^{-2}(\omega) & & \{0\} \times \omega \end{cases} \quad (46)$$

\mathbf{A}_M opérateur membranaire - \mathbf{A}_F opérateur de flexion

Théorème (Cas $\varepsilon > 0$, Miara-Valente, 99)

Si $T \geq T^*(\varepsilon, \text{courbure})$, alors il existe $\mathbf{v} = (v_\alpha, v_3) \in (L^2((0, T) \times \partial\omega))^3$ tel que $\mathbf{y}(T, \cdot) = \mathbf{y}'(T, \cdot) = \mathbf{0}$.

Théorème (Valente-Geymonat-Loreti)

Dans le cas d'une héli-sphère de courbure C , $T^*(\varepsilon, C) \approx 2 + C\varepsilon^{-1} \rightarrow \infty$ quand $\varepsilon \rightarrow 0$

- L'opérateur \mathbf{A}_M auto-adjoint d'ordre mixte possède du spectre essentiel.
- Pour quelles données $(\mathbf{y}^0, \mathbf{y}^1)$ la contrôlabilité uniforme a-t-elle lieu ???

[Loreti-Geymonat-Valente, 92,95,00], [Pazoto-AM, DCDS-B 08], [AmmarKhodja-Geymonat-AM, 08]

$$\begin{cases} \mathbf{y}_\varepsilon'' + \mathbf{A}_M \mathbf{y}_\varepsilon + \varepsilon^2 \mathbf{A}_F \mathbf{y}_\varepsilon = 0, & \mathbf{y}_\varepsilon = (y_{\varepsilon,1}, y_{\varepsilon,2}, y_{\varepsilon,3}) & (0, T) \times \omega \\ y_{\varepsilon,\alpha} = \mathbf{v}_\alpha, (\varepsilon^2) y_{\varepsilon,3} = 0, (\varepsilon^2) \partial_n y_{\varepsilon,3} = \mathbf{v}_3, & & (0, T) \times \partial\omega, \\ \mathbf{y}_\varepsilon = \mathbf{y}^0 \in L^2(\omega)^3, \quad \mathbf{y}'_\varepsilon = \mathbf{y}^1 \in H^{-1}(\omega) \times H^{-1}(\omega) \times H^{-2}(\omega) & & \{0\} \times \omega \end{cases} \quad (46)$$

\mathbf{A}_M opérateur membranaire - \mathbf{A}_F opérateur de flexion

Théorème (Cas $\varepsilon > 0$, Miara-Valente, 99)

Si $T \geq T^*(\varepsilon, \text{courbure})$, alors il existe $\mathbf{v} = (v_\alpha, v_3) \in (L^2((0, T) \times \partial\omega))^3$ tel que $\mathbf{y}(T, \cdot) = \mathbf{y}'(T, \cdot) = \mathbf{0}$.

Théorème (Valente-Geymonat-Loreti)

Dans le cas d'une hémisphère de courbure C , $T^*(\varepsilon, C) \approx 2 + C\varepsilon^{-1} \rightarrow \infty$ quand $\varepsilon \rightarrow 0$

- L'opérateur \mathbf{A}_M auto-adjoint d'ordre mixte possède du spectre essentiel.
- Pour quelles données $(\mathbf{y}^0, \mathbf{y}^1)$ la contrôlabilité uniforme a-t-elle lieu ???

[Loreti-Geymonat-Valente, 92,95,00], [Pazoto-AM, DCDS-B 08], [AmmarKhodja-Geymonat-AM, 08]

$$\begin{cases} \mathbf{y}_\varepsilon'' + \mathbf{A}_M \mathbf{y}_\varepsilon + \varepsilon^2 \mathbf{A}_F \mathbf{y}_\varepsilon = 0, & \mathbf{y}_\varepsilon = (y_{\varepsilon,1}, y_{\varepsilon,2}, y_{\varepsilon,3}) & (0, T) \times \omega \\ y_{\varepsilon,\alpha} = \mathbf{v}_\alpha, (\varepsilon^2) y_{\varepsilon,3} = 0, (\varepsilon^2) \partial_n y_{\varepsilon,3} = \mathbf{v}_3, & & (0, T) \times \partial\omega, \\ \mathbf{y}_\varepsilon = \mathbf{y}^0 \in L^2(\omega)^3, \quad \mathbf{y}'_\varepsilon = \mathbf{y}^1 \in H^{-1}(\omega) \times H^{-1}(\omega) \times H^{-2}(\omega) & & \{0\} \times \omega \end{cases} \quad (46)$$

\mathbf{A}_M opérateur membranaire - \mathbf{A}_F opérateur de flexion

Théorème (Cas $\varepsilon > 0$, Miara-Valente, 99)

Si $T \geq T^*(\varepsilon, \text{courbure})$, alors il existe $\mathbf{v} = (v_\alpha, v_3) \in (L^2((0, T) \times \partial\omega))^3$ tel que $\mathbf{y}(T, \cdot) = \mathbf{y}'(T, \cdot) = 0$.

Théorème (Valente-Geymonat-Loreti)

Dans le cas d'une hémisphère de courbure C , $T^*(\varepsilon, C) \approx 2 + C\varepsilon^{-1} \rightarrow \infty$ quand $\varepsilon \rightarrow 0$

- L'opérateur \mathbf{A}_M auto-adjoint d'ordre mixte possède du spectre essentiel.
- Pour quelles données $(\mathbf{y}^0, \mathbf{y}^1)$ la contrôlabilité uniforme a-t-elle lieu ???

[Ammar-Khodja, Geymonat, AM 08]

$$\begin{cases} \mathbf{y}'' + \mathbf{A}_M \mathbf{y} = 0, & \mathbf{y} = (y_1, y_3) & (0, T) \times \omega \\ y_1(\cdot, 0) = 0, y_1(\cdot, 1) = \mathbf{v}, & & (0, T) \\ (\mathbf{y}(0, \cdot), \mathbf{y}'(0, \cdot)) = (\mathbf{y}^0, \mathbf{y}^1), & & \omega. \end{cases} \quad \mathbf{A}_M \mathbf{y} = \begin{pmatrix} -(y_{1,11} + r^{-1} y_{3,1}) \\ r^{-1}(y_{1,1} + r^{-1} y_3) \end{pmatrix} \quad (47)$$

Question : $\forall (\mathbf{y}^0, \mathbf{y}^1) \in (L^2 \times L^2) \times (H^{-1} \times L^2), \exists \mathbf{v} \in L^2((0, T) \times \{1\})$ tq $\mathbf{y}(T, \xi) = \mathbf{y}'(T, \xi) = 0$?

La contrôlabilité se réduit à l'inégalité d'observabilité

$$C_1 \|\phi^0, \phi^1\|_{V \times H}^2 \leq \int_0^T (\phi_{1,1} + r^{-1} \phi_3)^2(1, t) dt, \quad V = H_0^1(\omega) \times L^2(\omega), \quad H = L^2(\omega) \times L^2(\omega) \quad (48)$$

$$\sigma(\mathbf{A}_M) = \{0, r^{-2}, r^{-2} + (k\pi)^2, k > 0\}, \quad \sigma_{\text{ess}}(\mathbf{A}_M) = \{0\}, \quad \text{Ker } \mathbf{A}_M = \{v_\zeta = (r^{-1}\zeta, -\zeta_1) \in H, \zeta \in H_0^1(\omega)\} \quad (49)$$

Si $\phi^0, \phi^1 \in \text{Ker } \mathbf{A}_M$ alors $\phi(t, \cdot) \in \text{Ker } \mathbf{A}_M \rightarrow \phi_{1,1} + r^{-1} \phi_3 = 0$.

On ne peut avoir observabilité que dans un sous-espace de l'orthogonal de $\text{Ker } \mathbf{A}_M$:

$$H^\perp = \{v = (\psi_{,1}, -r^{-1}\psi) \in H, \forall \psi \in H^1(\omega)\} \quad (50)$$

[Ammar-Khodja, Geymonat, AM 08]

$$\begin{cases} \mathbf{y}'' + \mathbf{A}_M \mathbf{y} = 0, & \mathbf{y} = (y_1, y_3) & (0, T) \times \omega \\ y_1(\cdot, 0) = 0, y_1(\cdot, 1) = \mathbf{v}, & & (0, T) \\ (\mathbf{y}(0, \cdot), \mathbf{y}'(0, \cdot)) = (\mathbf{y}^0, \mathbf{y}^1), & & \omega. \end{cases} \quad \mathbf{A}_M \mathbf{y} = \begin{pmatrix} -(y_{1,11} + r^{-1} y_{3,1}) \\ r^{-1}(y_{1,1} + r^{-1} y_3) \end{pmatrix} \quad (47)$$

Question : $\forall (\mathbf{y}^0, \mathbf{y}^1) \in (L^2 \times L^2) \times (H^{-1} \times L^2), \exists \mathbf{v} \in L^2((0, T) \times \{1\})$ tq $\mathbf{y}(T, \xi) = \mathbf{y}'(T, \xi) = 0$?

La contrôlabilité se réduit à l'inégalité d'observabilité

$$C_1 \|\phi^0, \phi^1\|_{V \times H}^2 \leq \int_0^T (\phi_{1,1} + r^{-1} \phi_3)^2(1, t) dt, \quad V = H_0^1(\omega) \times L^2(\omega), \quad H = L^2(\omega) \times L^2(\omega) \quad (48)$$

$$\sigma(\mathbf{A}_M) = \{0, r^{-2}, r^{-2} + (k\pi)^2, k > 0\}, \quad \sigma_{\text{ess}}(\mathbf{A}_M) = \{0\}, \quad \text{Ker } \mathbf{A}_M = \{v_\zeta = (r^{-1}\zeta, -\zeta_1) \in H, \zeta \in H_0^1(\omega)\} \quad (49)$$

Si $\phi^0, \phi^1 \in \text{Ker } \mathbf{A}_M$ alors $\phi(t, \cdot) \in \text{Ker } \mathbf{A}_M \rightarrow \phi_{1,1} + r^{-1} \phi_3 = 0$.

On ne peut avoir observabilité que dans un sous-espace de l'orthogonal de $\text{Ker } \mathbf{A}_M$:

$$H^\perp = \{v = (\psi_{,1}, -r^{-1}\psi) \in H, \forall \psi \in H^1(\omega)\} \quad (50)$$

[Ammar-Khodja, Geymonat, AM 08]

$$\begin{cases} \mathbf{y}'' + \mathbf{A}_M \mathbf{y} = 0, & \mathbf{y} = (y_1, y_3) & (0, T) \times \omega \\ y_1(\cdot, 0) = 0, y_1(\cdot, 1) = \mathbf{v}, & & (0, T) \\ (y(0, \cdot), y'(0, \cdot)) = (\mathbf{y}^0, \mathbf{y}^1), & & \omega. \end{cases} \quad \mathbf{A}_M \mathbf{y} = \begin{pmatrix} -(y_{1,11} + r^{-1} y_{3,1}) \\ r^{-1}(y_{1,1} + r^{-1} y_3) \end{pmatrix} \quad (47)$$

Question : $\forall (\mathbf{y}^0, \mathbf{y}^1) \in (L^2 \times L^2) \times (H^{-1} \times L^2), \exists v \in L^2((0, T) \times \{1\})$ tq $\mathbf{y}(T, \xi) = \mathbf{y}'(T, \xi) = 0$?

La contrôlabilité se réduit à l'inégalité d'observabilité

$$C_1 \|\phi^0, \phi^1\|_{\mathbf{V} \times \mathbf{H}}^2 \leq \int_0^T (\phi_{1,1} + r^{-1} \phi_3)^2(1, t) dt, \quad \mathbf{V} = H_0^1(\omega) \times L^2(\omega), \quad \mathbf{H} = L^2(\omega) \times L^2(\omega) \quad (48)$$

$$\sigma(\mathbf{A}_M) = \{0, r^{-2}, r^{-2} + (k\pi)^2, k > 0\}, \quad \sigma_{\text{ess}}(\mathbf{A}_M) = \{0\}, \quad \text{Ker } \mathbf{A}_M = \{v_\zeta = (r^{-1}\zeta, -\zeta_1) \in \mathbf{H}, \zeta \in H_0^1(\omega)\} \quad (49)$$

Si $\phi^0, \phi^1 \in \text{Ker } \mathbf{A}_M$ alors $\phi(t, \cdot) \in \text{Ker } \mathbf{A}_M \rightarrow \phi_{1,1} + r^{-1} \phi_3 = 0$.

On ne peut avoir observabilité que dans un sous-espace de l'orthogonal de $\text{Ker } \mathbf{A}_M$:

$$\mathbf{H}^\perp = \{v = (\psi_{,1}, -r^{-1}\psi) \in \mathbf{H}, \forall \psi \in H^1(\omega)\} \quad (50)$$

[Ammar-Khodja, Geymonat, AM 08]

$$\begin{cases} \mathbf{y}'' + \mathbf{A}_M \mathbf{y} = 0, & \mathbf{y} = (y_1, y_3) & (0, T) \times \omega \\ y_1(\cdot, 0) = 0, y_1(\cdot, 1) = \mathbf{v}, & & (0, T) \\ (y(0, \cdot), y'(0, \cdot)) = (\mathbf{y}^0, \mathbf{y}^1), & & \omega. \end{cases} \quad \mathbf{A}_M \mathbf{y} = \begin{pmatrix} -(y_{1,11} + r^{-1} y_{3,1}) \\ r^{-1} (y_{1,1} + r^{-1} y_3) \end{pmatrix} \quad (47)$$

Question : $\forall (\mathbf{y}^0, \mathbf{y}^1) \in (L^2 \times L^2) \times (H^{-1} \times L^2), \exists v \in L^2((0, T) \times \{1\})$ tq $\mathbf{y}(T, \xi) = \mathbf{y}'(T, \xi) = 0$?

La contrôlabilité se réduit à l'inégalité d'observabilité

$$C_1 \|\phi^0, \phi^1\|_{\mathbf{V} \times \mathbf{H}}^2 \leq \int_0^T (\phi_{1,1} + r^{-1} \phi_3)^2(1, t) dt, \quad \mathbf{V} = H_0^1(\omega) \times L^2(\omega), \quad \mathbf{H} = L^2(\omega) \times L^2(\omega) \quad (48)$$

$$\sigma(\mathbf{A}_M) = \{0, r^{-2}, r^{-2} + (k\pi)^2, k > 0\}, \quad \sigma_{\text{ess}}(\mathbf{A}_M) = \{0\}, \quad \text{Ker } \mathbf{A}_M = \{v_\zeta = (r^{-1} \zeta, -\zeta_1) \in \mathbf{H}, \zeta \in H_0^1(\omega)\} \quad (49)$$

Si $\phi^0, \phi^1 \in \text{Ker } \mathbf{A}_M$ alors $\phi(t, \cdot) \in \text{Ker } \mathbf{A}_M \rightarrow \phi_{1,1} + r^{-1} \phi_3 = 0$.

On ne peut avoir observabilité que dans un sous-espace de l'orthogonal de $\text{Ker } \mathbf{A}_M$:

$$H^\perp = \{v = (\psi_{,1}, -r^{-1} \psi) \in \mathbf{H}, \forall \psi \in H^1(\omega)\} \quad (50)$$

[Ammar-Khodja, Geymonat, AM 08]

$$\begin{cases} \mathbf{y}'' + \mathbf{A}_M \mathbf{y} = 0, & \mathbf{y} = (y_1, y_3) & (0, T) \times \omega \\ y_1(\cdot, 0) = 0, y_1(\cdot, 1) = \mathbf{v}, & & (0, T) \\ (y(0, \cdot), y'(0, \cdot)) = (\mathbf{y}^0, \mathbf{y}^1), & & \omega. \end{cases} \quad \mathbf{A}_M \mathbf{y} = \begin{pmatrix} -(y_{1,11} + r^{-1} y_{3,1}) \\ r^{-1}(y_{1,1} + r^{-1} y_3) \end{pmatrix} \quad (47)$$

Question : $\forall (\mathbf{y}^0, \mathbf{y}^1) \in (L^2 \times L^2) \times (H^{-1} \times L^2), \exists v \in L^2((0, T) \times \{1\})$ tq $\mathbf{y}(T, \xi) = \mathbf{y}'(T, \xi) = 0$?

La contrôlabilité se réduit à l'inégalité d'observabilité

$$C_1 \|\phi^0, \phi^1\|_{\mathbf{V} \times \mathbf{H}}^2 \leq \int_0^T (\phi_{1,1} + r^{-1} \phi_3)^2(1, t) dt, \quad \mathbf{V} = H_0^1(\omega) \times L^2(\omega), \quad \mathbf{H} = L^2(\omega) \times L^2(\omega) \quad (48)$$

$$\sigma(\mathbf{A}_M) = \{0, r^{-2}, r^{-2} + (k\pi)^2, k > 0\}, \quad \sigma_{\text{ess}}(\mathbf{A}_M) = \{0\}, \quad \text{Ker } \mathbf{A}_M = \{v_\zeta = (r^{-1}\zeta, -\zeta_1) \in \mathbf{H}, \zeta \in H_0^1(\omega)\} \quad (49)$$

Si $\phi^0, \phi^1 \in \text{Ker } \mathbf{A}_M$ alors $\phi(t, \cdot) \in \text{Ker } \mathbf{A}_M \rightarrow \phi_{1,1} + r^{-1} \phi_3 = 0$.

On ne peut avoir observabilité que dans un sous-espace de l'orthogonal de $\text{Ker } \mathbf{A}_M$:

$$\mathbf{H}^\perp = \{\mathbf{v} = (\psi_{,1}, -r^{-1}\psi) \in \mathbf{H}, \forall \psi \in H^1(\omega)\} \quad (50)$$

[Ammar-Khodja, Geymonat, AM (2008)]

Proposition (Observabilité non uniforme par rapport à r^{-1})

Soit $r > 0$. Pour tout temps T tel que

$$T > T^*(r) \equiv \frac{2\pi}{\gamma}, \quad \gamma = \min\left(2r^{-1}, \sqrt{r^{-2} + \pi^2} - r^{-1}\right) \quad (51)$$

il existe deux constantes strictement positives $C_1(r)$ et $C_2(r)$ telles que

$$C_1(r) \|\phi^0, \phi^1\|_{\mathbf{V} \times \mathbf{H}}^2 \leq \int_0^T (\phi_{1,1} + r^{-1} \phi_3)^2(1, t) dt \leq C_2(r) \|\phi^0, \phi^1\|_{\mathbf{V} \times \mathbf{H}}^2 \quad (52)$$

pour tout $(\phi^0, \phi^1) \in \mathbf{V}^\perp \times \mathbf{H}^\perp$.

Théorème (Contrôlabilité non uniforme par rapport à r^{-1})

Soit $r > 0$. Pour tout $T > T^*(r)$ et donnée initiale $(y^0, y^1) \in \mathbf{H}^\perp \times \mathbf{V}^{\perp'}$, il existe un contrôle $v \in L^2(0, T)$ qui conduit au repos à l'instant T la solution y associée à (y^0, y^1) . De plus, le contrôle de norme L^2 minimale est donné par $v = (\phi_{1,1} + r^{-1} \phi_3)(1, \cdot)$ où ϕ est la solution du problème adjoint et associée à (ϕ^0, ϕ^1) minimum de \mathcal{J} sur $\mathbf{V}^\perp \times \mathbf{H}^\perp$.

[Ammar-Khodja, Geymonat, AM (2008)]

Proposition (Observabilité non uniforme par rapport à r^{-1})

Soit $r > 0$. Pour tout temps T tel que

$$T > T^*(r) \equiv \frac{2\pi}{\gamma}, \quad \gamma = \min\left(2r^{-1}, \sqrt{r^{-2} + \pi^2} - r^{-1}\right) \quad (51)$$

il existe deux constantes strictement positives $C_1(r)$ et $C_2(r)$ telles que

$$C_1(r) \|\phi^0, \phi^1\|_{\mathbf{V} \times \mathbf{H}}^2 \leq \int_0^T (\phi_{1,1} + r^{-1} \phi_3)^2(1, t) dt \leq C_2(r) \|\phi^0, \phi^1\|_{\mathbf{V} \times \mathbf{H}}^2 \quad (52)$$

pour tout $(\phi^0, \phi^1) \in \mathbf{V}^\perp \times \mathbf{H}^\perp$.

Théorème (Contrôlabilité non uniforme par rapport à r^{-1})

Soit $r > 0$. Pour tout $T > T^*(r)$ et donnée initiale $(\mathbf{y}^0, \mathbf{y}^1) \in \mathbf{H}^\perp \times \mathbf{V}^{\perp'}$, il existe un contrôle $v \in L^2(0, T)$ qui conduit au repos à l'instant T la solution \mathbf{y} associée à $(\mathbf{y}^0, \mathbf{y}^1)$. De plus, le contrôle de norme L^2 minimale est donné par $v = (\phi_{1,1} + r^{-1} \phi_3)(1, \cdot)$ où ϕ est la solution du problème adjoint et associée à (ϕ^0, ϕ^1) minimum de \mathcal{J} sur $\mathbf{V}^\perp \times \mathbf{H}^\perp$.

$$r^{-1} = \pi/5, T = 3.5 > T^*(r) \approx 3.2552, \quad \mathbf{y}^0 = \mathbf{v}_0 + \mathbf{v}_1 \quad \mathbf{y}^1 = \mu_0 \mathbf{v}_0 + \mu_2 \mathbf{v}_2 \quad (53)$$

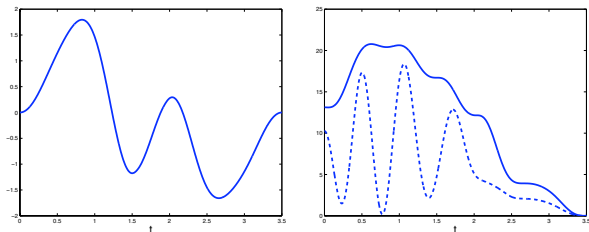


Figure: Gauche: contrôle $v(t)$ vs. $t \in (0, T)$; Droite: Energie (ligne pleine) et énergie cinétique (ligne tiretée) vs. $t \in (0, T)$.

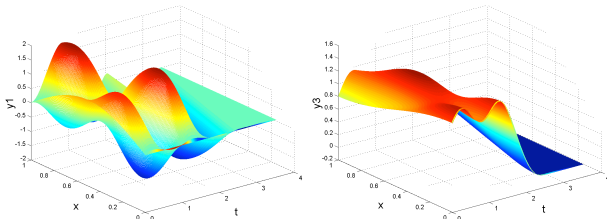


Figure: Solution contrôlée $\mathbf{y} = (y_1, y_3)$ sur $(0, T) \times \omega$.

$$y(x_1, x_3) = y_1(\xi)\tau(\xi) + y_3(\xi)\nu(\xi), \quad \xi \in \omega \quad (x_1, x_3) = \phi(\xi) \quad (54)$$

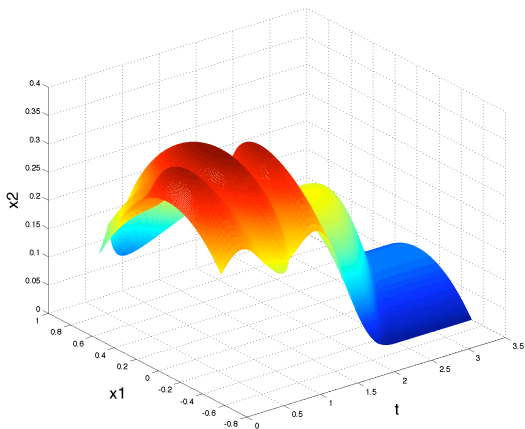


Figure: Evolution dans le plan (O, x_1, x_3) de l'arche contrôlée en fonction du temps $t \in (0, T)$.

Partie II: Optimisation de forme

[Fahroo-Ito, 97], [Freitas, 98], [Hebard-Henrot, 03, 05], [Henrot-Maillot, 05], [AM, Pedegral, Periago, JDE 06], [AM, AMCS 09]

Soient $\Omega \subset \mathbb{R}^N$, $N = 1, 2$, $a \in L^\infty(\Omega, \mathbb{R}^+)$, $L \in (0, 1)$, $T > 0$, $(u^0, u^1) \in H^1(\Omega) \times L^2(\Omega)$,

$$(P_\omega^1) : \inf_{\mathcal{X}_\omega} I(\mathcal{X}_\omega) = \int_0^T \int_\Omega (|u_t|^2 + |\nabla u|^2) dx dt \quad (55)$$

soumis à

$$\left\{ \begin{array}{ll} u_{tt} - \Delta u + a(\mathbf{x}) \mathcal{X}_\omega u_t = 0 & (0, T) \times \Omega, \\ u = 0 & (0, T) \times \partial\Omega, \\ u(0, \cdot) = u^0, \quad u_t(0, \cdot) = u^1 & \{0\} \times \Omega, \\ \mathcal{X}_\omega \in L^\infty(\Omega; \{0, 1\}), \\ \|\mathcal{X}_\omega\|_{L^1(\Omega)} \leq L \|\mathcal{X}_\Omega\|_{L^1(\Omega)} \end{array} \right. \quad (56)$$

[Allaire-Jouve-Toader 03], [Wang-Wang-Zuo 03], [Burger-Osher 05], ...

$$(u^0(\mathbf{x}), u^1(\mathbf{x})) = (\sin(\pi x_1) \sin(\pi x_2), 0), \quad \Omega = (0, 1)^2, \quad T = 1, \quad L = 1/10, \quad \mathbf{a}(\mathbf{x}) = \mathbf{a}\mathcal{X}_\omega(\mathbf{x}). \quad (57)$$

$$E(\omega, \mathbf{a}, T) - E(\omega, 0, T) = -\frac{\mathbf{a}\alpha}{4}(2\alpha T - \sin(2\alpha T)) \int_\omega (u_0(\mathbf{x}))^2 dx + o(\mathbf{a}), \quad \forall T \geq 0. \quad (58)$$

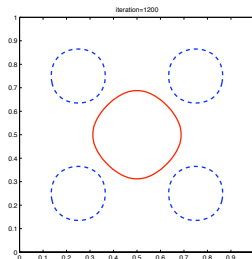
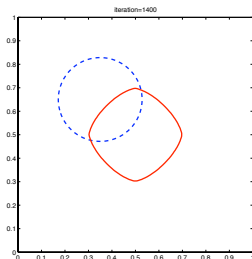


Figure: $\mathbf{a} = 10$. - Invariance de $\{\mathbf{x} \in \Omega, \psi(\mathbf{x}) = 0\}$ par rapport à l'initialisation $\{\mathbf{x} \in \Omega, \psi(\mathbf{x}) = 0\}$.

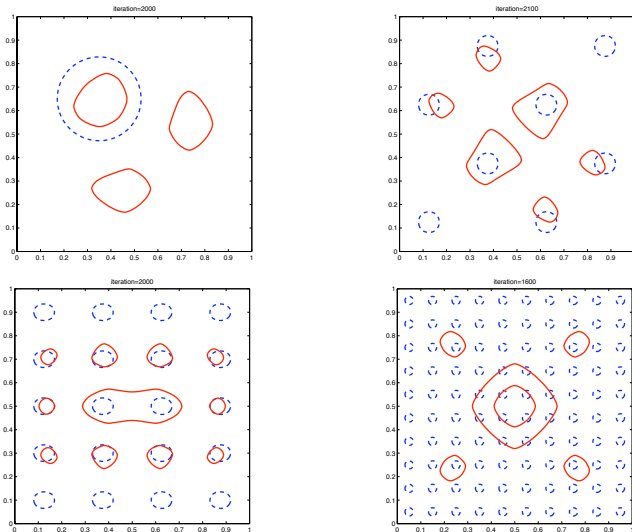


Figure: $a = 25$. - Non invariance de l'ensemble limite $\{\mathbf{x} \in \Omega, \psi(\mathbf{x}) = 0\}$.

- **Approche I** : Homogénéisation (Tartar, Murat, Allaire,)
- **Approche II**: Reformulation variationnelle + Calcul des variations + Mesure de Young (Dacorogna, Fonseca, Michaille, Pedregal,)

- **Approche I** : Homogénéisation (Tartar, Murat, Allaire,)
- **Approche II**: Reformulation variationnelle + Calcul des variations + Mesure de Young (Dacorogna, Fonseca, Michaille, Pedregal,)

- Supposant ω **indépendant du temps**, on a (on note $Div = (\partial_t, \partial_x)$)

$$u_{tt} - \Delta u + a(x)\mathcal{X}_\omega u_t = 0 \iff Div(u_t + a(x)\mathcal{X}_\omega u, -u_x) = 0 \quad (59)$$

$\implies \exists v \in H^1((0, T) \times \Omega)$ tq. $u_t + a(x)\mathcal{X}_\omega u = v_x$ and $-u_x = -v_t$

$$A\nabla u + B\nabla v = -a\mathcal{X}_\omega \bar{u} \quad (60)$$

avec $\nabla u = \begin{pmatrix} u_t \\ u_x \end{pmatrix}$, $\nabla v = \begin{pmatrix} v_t \\ v_x \end{pmatrix}$, $\bar{u} = \begin{pmatrix} u \\ 0 \end{pmatrix}$, $A = \begin{pmatrix} 1 & 0 \\ 0 & -1 \end{pmatrix}$, $B = \begin{pmatrix} 0 & -1 \\ 1 & 0 \end{pmatrix}$.

$$\omega = \{x \in \Omega, A\nabla u + B\nabla v = -a(x)\bar{u}\} \quad \text{et} \quad \Omega \setminus \omega = \{x \in \Omega, A\nabla u + B\nabla v = 0\} \quad (61)$$

- Soit le champ de vecteurs $U(t, x) = (u(t, x), v(t, x)) \in (H^1((0, T) \times (0, 1)))^2$ et les deux ensembles de matrices

$$\begin{cases} \Lambda_0 = \{M \in \mathcal{M}^{2 \times 2} : AM^{(1)} + BM^{(2)} = 0\} \\ \Lambda_{1,\lambda} = \{M \in \mathcal{M}^{2 \times 2} : AM^{(1)} + BM^{(2)} = \lambda e_1\} \end{cases} \quad (62)$$

où $M^{(i)}$, $i = 1, 2$ désigne la i -ème ligne de M , $\lambda \in \mathbb{R}$ et $e_1 = \begin{pmatrix} 1 \\ 0 \end{pmatrix}$.

$$\omega = \{x \in \Omega, \nabla U \in \Lambda_{1, -a(x)U(1)}\}, \quad \Omega \setminus \omega = \{x \in \Omega, \nabla U \in \Lambda_0\} \quad (63)$$

- Supposant ω **indépendant du temps**, on a (on note $Div = (\partial_t, \partial_x)$)

$$u_{tt} - \Delta u + a(x)\mathcal{X}_\omega u_t = 0 \iff Div(u_t + a(x)\mathcal{X}_\omega u, -u_x) = 0 \quad (59)$$

$\implies \exists v \in H^1((0, T) \times \Omega)$ tq. $u_t + a(x)\mathcal{X}_\omega u = v_x$ and $-u_x = -v_t$

-

$$A\nabla u + B\nabla v = -a\mathcal{X}_\omega \bar{u} \quad (60)$$

avec $\nabla u = \begin{pmatrix} u_t \\ u_x \end{pmatrix}$, $\nabla v = \begin{pmatrix} v_t \\ v_x \end{pmatrix}$, $\bar{u} = \begin{pmatrix} u \\ 0 \end{pmatrix}$, $A = \begin{pmatrix} 1 & 0 \\ 0 & -1 \end{pmatrix}$, $B = \begin{pmatrix} 0 & -1 \\ 1 & 0 \end{pmatrix}$.

-

$$\omega = \{x \in \Omega, A\nabla u + B\nabla v = -a(x)\bar{u}\} \quad \text{et} \quad \Omega \setminus \omega = \{x \in \Omega, A\nabla u + B\nabla v = 0\} \quad (61)$$

- Soit le champ de vecteurs $U(t, x) = (u(t, x), v(t, x)) \in (H^1((0, T) \times (0, 1)))^2$ et les deux ensembles de matrices

$$\begin{cases} \Lambda_0 = \{M \in \mathcal{M}^{2 \times 2} : AM^{(1)} + BM^{(2)} = 0\} \\ \Lambda_{1,\lambda} = \{M \in \mathcal{M}^{2 \times 2} : AM^{(1)} + BM^{(2)} = \lambda e_1\} \end{cases} \quad (62)$$

où $M^{(i)}$, $i = 1, 2$ désigne la i -ème ligne de M , $\lambda \in \mathbb{R}$ et $e_1 = \begin{pmatrix} 1 \\ 0 \end{pmatrix}$.

-

$$\omega = \{x \in \Omega, \nabla U \in \Lambda_{1,-a(x)U(1)}\}, \quad \Omega \setminus \omega = \{x \in \Omega, \nabla U \in \Lambda_0\} \quad (63)$$

- Supposant ω **indépendant du temps**, on a (on note $Div = (\partial_t, \partial_x)$)

$$u_{tt} - \Delta u + a(x)\mathcal{X}_\omega u_t = 0 \iff Div(u_t + a(x)\mathcal{X}_\omega u, -u_x) = 0 \quad (59)$$

$\implies \exists v \in H^1((0, T) \times \Omega)$ tq. $u_t + a(x)\mathcal{X}_\omega u = v_x$ and $-u_x = -v_t$

-

$$A\nabla u + B\nabla v = -a\mathcal{X}_\omega \bar{u} \quad (60)$$

avec $\nabla u = \begin{pmatrix} u_t \\ u_x \end{pmatrix}$, $\nabla v = \begin{pmatrix} v_t \\ v_x \end{pmatrix}$, $\bar{u} = \begin{pmatrix} u \\ 0 \end{pmatrix}$, $A = \begin{pmatrix} 1 & 0 \\ 0 & -1 \end{pmatrix}$, $B = \begin{pmatrix} 0 & -1 \\ 1 & 0 \end{pmatrix}$.

-

$$\omega = \{x \in \Omega, A\nabla u + B\nabla v = -a(x)\bar{u}\} \quad \text{et} \quad \Omega \setminus \omega = \{x \in \Omega, A\nabla u + B\nabla v = 0\} \quad (61)$$

- Soit le champ de vecteurs $U(t, x) = (u(t, x), v(t, x)) \in (H^1((0, T) \times (0, 1)))^2$ et les deux ensembles de matrices

$$\begin{cases} \Lambda_0 = \{M \in \mathcal{M}^{2 \times 2} : AM^{(1)} + BM^{(2)} = 0\} \\ \Lambda_{1,\lambda} = \{M \in \mathcal{M}^{2 \times 2} : AM^{(1)} + BM^{(2)} = \lambda e_1\} \end{cases} \quad (62)$$

où $M^{(i)}$, $i = 1, 2$ désigne la i -ème ligne de M , $\lambda \in \mathbb{R}$ et $e_1 = \begin{pmatrix} 1 \\ 0 \end{pmatrix}$.

-

$$\omega = \{x \in \Omega, \nabla U \in \Lambda_{1,-a(x)U(1)}\}, \quad \Omega \setminus \omega = \{x \in \Omega, \nabla U \in \Lambda_0\} \quad (63)$$

- Supposant ω **indépendant du temps**, on a (on note $Div = (\partial_t, \partial_x)$)

$$u_{tt} - \Delta u + a(x)\mathcal{X}_\omega u_t = 0 \iff Div(u_t + a(x)\mathcal{X}_\omega u, -u_x) = 0 \quad (59)$$

$\implies \exists v \in H^1((0, T) \times \Omega)$ tq. $u_t + a(x)\mathcal{X}_\omega u = v_x$ and $-u_x = -v_t$

-

$$A\nabla u + B\nabla v = -a\mathcal{X}_\omega \bar{u} \quad (60)$$

avec $\nabla u = \begin{pmatrix} u_t \\ u_x \end{pmatrix}$, $\nabla v = \begin{pmatrix} v_t \\ v_x \end{pmatrix}$, $\bar{u} = \begin{pmatrix} u \\ 0 \end{pmatrix}$, $A = \begin{pmatrix} 1 & 0 \\ 0 & -1 \end{pmatrix}$, $B = \begin{pmatrix} 0 & -1 \\ 1 & 0 \end{pmatrix}$.

-

$$\omega = \{x \in \Omega, A\nabla u + B\nabla v = -a(x)\bar{u}\} \quad \text{et} \quad \Omega \setminus \omega = \{x \in \Omega, A\nabla u + B\nabla v = 0\} \quad (61)$$

- Soit le champ de vecteurs $U(t, x) = (u(t, x), v(t, x)) \in (H^1((0, T) \times (0, 1)))^2$ et les deux ensembles de matrices

$$\begin{cases} \Lambda_0 = \{M \in \mathcal{M}^{2 \times 2} : AM^{(1)} + BM^{(2)} = 0\} \\ \Lambda_{1,\lambda} = \{M \in \mathcal{M}^{2 \times 2} : AM^{(1)} + BM^{(2)} = \lambda e_1\} \end{cases} \quad (62)$$

où $M^{(i)}$, $i = 1, 2$ désigne la i -ème ligne de M , $\lambda \in \mathbb{R}$ et $e_1 = \begin{pmatrix} 1 \\ 0 \end{pmatrix}$.

-

$$\omega = \{x \in \Omega, \nabla U \in \Lambda_{1, -a(x)U(1)}\}, \quad \Omega \setminus \omega = \{x \in \Omega, \nabla U \in \Lambda_0\} \quad (63)$$

- Supposant ω **indépendant du temps**, on a (on note $Div = (\partial_t, \partial_x)$)

$$u_{tt} - \Delta u + a(x)\mathcal{X}_\omega u_t = 0 \iff Div(u_t + a(x)\mathcal{X}_\omega u, -u_x) = 0 \quad (59)$$

$\implies \exists v \in H^1((0, T) \times \Omega)$ tq. $u_t + a(x)\mathcal{X}_\omega u = v_x$ and $-u_x = -v_t$

-

$$A\nabla u + B\nabla v = -a\mathcal{X}_\omega \bar{u} \quad (60)$$

avec $\nabla u = \begin{pmatrix} u_t \\ u_x \end{pmatrix}$, $\nabla v = \begin{pmatrix} v_t \\ v_x \end{pmatrix}$, $\bar{u} = \begin{pmatrix} u \\ 0 \end{pmatrix}$, $A = \begin{pmatrix} 1 & 0 \\ 0 & -1 \end{pmatrix}$, $B = \begin{pmatrix} 0 & -1 \\ 1 & 0 \end{pmatrix}$.

-

$$\omega = \{x \in \Omega, A\nabla u + B\nabla v = -a(x)\bar{u}\} \quad \text{et} \quad \Omega \setminus \omega = \{x \in \Omega, A\nabla u + B\nabla v = 0\} \quad (61)$$

- Soit le champ de vecteurs $U(t, x) = (u(t, x), v(t, x)) \in (H^1((0, T) \times (0, 1)))^2$ et les deux ensembles de matrices

$$\begin{cases} \Lambda_0 = \{M \in \mathcal{M}^{2 \times 2} : AM^{(1)} + BM^{(2)} = 0\} \\ \Lambda_{1,\lambda} = \{M \in \mathcal{M}^{2 \times 2} : AM^{(1)} + BM^{(2)} = \lambda e_1\} \end{cases} \quad (62)$$

où $M^{(i)}$, $i = 1, 2$ désigne la i -ème ligne de M , $\lambda \in \mathbb{R}$ et $e_1 = \begin{pmatrix} 1 \\ 0 \end{pmatrix}$.

-

$$\omega = \{x \in \Omega, \nabla U \in \Lambda_{1,-a(x)U(1)}\}, \quad \Omega \setminus \omega = \{x \in \Omega, \nabla U \in \Lambda_0\} \quad (63)$$

- Alors considérant les deux fonctions $W, V : \mathcal{M}^{2 \times 2} \rightarrow \mathbb{R} \cup \{+\infty\}$

$$W(x, U, M) = \begin{cases} |M^{(1)}|^2, & M \in \Lambda_0 \cup \Lambda_{1, -a(x)U^{(1)}} \\ +\infty, & \text{sinon} \end{cases} \quad V(x, U, M) = \begin{cases} 1, & M \in \Lambda_{1, -a(x)U^{(1)}} \\ 0, & M \in \Lambda_0 \setminus \Lambda_{1, -a(x)U^{(1)}} \\ +\infty, & \text{sinon} \end{cases} \quad (64)$$

- le problème (P_{ω}^1) est équivalent à la formulation vectorielle variationnelle

$$(VP_{\omega}^1) \quad m \equiv \inf_U \int_0^T \int_{\Omega} W(x, U(t, x), \nabla U(t, x)) \, dx \, dt \quad (65)$$

soumis à

$$\begin{cases} U = (u, v) \in (H^1((0, T) \times (0, 1)))^2 \\ U^{(1)}(t, 0) = U^{(1)}(t, 1) = 0, & t \in (0, T) \\ U^{(1)}(0, x) = u^0(x), \quad U_t^{(1)}(0, x) = u^1(x), & x \in \Omega \\ \int_0^1 V(x, U(t, x), \nabla U(t, x)) \, dx \leq L |\Omega|, & t \in (0, T). \end{cases} \quad (66)$$

- Cette procédure transforme le problème scalaire (P_{ω}^1) avec contraintes intégrables ponctuelles en un problème **non-convexe**, variationnel (VP_{ω}^1) .

- Alors considérant les deux fonctions $W, V : \mathcal{M}^{2 \times 2} \rightarrow \mathbb{R} \cup \{+\infty\}$

$$W(x, U, M) = \begin{cases} |M^{(1)}|^2, & M \in \Lambda_0 \cup \Lambda_{1, -a(x)U^{(1)}} \\ +\infty, & \text{sinon} \end{cases} \quad V(x, U, M) = \begin{cases} 1, & M \in \Lambda_{1, -a(x)U^{(1)}} \\ 0, & M \in \Lambda_0 \setminus \Lambda_{1, -a(x)U^{(1)}} \\ +\infty, & \text{sinon} \end{cases} \quad (64)$$

- le problème (P_{ω}^1) est équivalent à la formulation vectorielle variationnelle

$$(VP_{\omega}^1) \quad m \equiv \inf_U \int_0^T \int_{\Omega} W(x, U(t, x), \nabla U(t, x)) \, dx \, dt \quad (65)$$

soumis à

$$\begin{cases} U = (u, v) \in (H^1((0, T) \times (0, 1)))^2 \\ U^{(1)}(t, 0) = U^{(1)}(t, 1) = 0, & t \in (0, T) \\ U^{(1)}(0, x) = u^0(x), \quad U_t^{(1)}(0, x) = u^1(x), & x \in \Omega \\ \int_0^1 V(x, U(t, x), \nabla U(t, x)) \, dx \leq L |\Omega|, & t \in (0, T). \end{cases} \quad (66)$$

- Cette procédure transforme le problème scalaire (P_{ω}^1) avec contraintes intégrables ponctuelles en un problème **non-convexe**, variationnel (VP_{ω}^1) .

- Alors considérant les deux fonctions $W, V : \mathcal{M}^{2 \times 2} \rightarrow R \cup \{+\infty\}$

$$W(x, U, M) = \begin{cases} |M^{(1)}|^2, & M \in \Lambda_0 \cup \Lambda_{1, -a(x)U^{(1)}} \\ +\infty, & \text{sinon} \end{cases} \quad V(x, U, M) = \begin{cases} 1, & M \in \Lambda_{1, -a(x)U^{(1)}} \\ 0, & M \in \Lambda_0 \setminus \Lambda_{1, -a(x)U^{(1)}} \\ +\infty, & \text{sinon} \end{cases} \quad (64)$$

- le problème (P_{ω}^1) est équivalent à la formulation vectorielle variationnelle

$$(VP_{\omega}^1) \quad m \equiv \inf_U \int_0^T \int_{\Omega} W(x, U(t, x), \nabla U(t, x)) \, dx \, dt \quad (65)$$

soumis à

$$\begin{cases} U = (u, v) \in (H^1((0, T) \times (0, 1)))^2 \\ U^{(1)}(t, 0) = U^{(1)}(t, 1) = 0, & t \in (0, T) \\ U^{(1)}(0, x) = u^0(x), \quad U_t^{(1)}(0, x) = u^1(x), & x \in \Omega \\ \int_0^1 V(x, U(t, x), \nabla U(t, x)) \, dx \leq L |\Omega|, & t \in (0, T). \end{cases} \quad (66)$$

- Cette procédure transforme le problème scalaire (P_{ω}^1) avec contraintes intégrables ponctuelles en un problème **non-convexe**, variationnel (VP_{ω}^1) .

- Une mesure de Young ν est une famille de mesure de probabilité $\{\nu_x\}_{x \in \Omega}$ associée à une suite de fonctions $(f_j)_j$ telle que $f_j : \Omega \rightarrow A$ et $\text{supp}(\nu_x) \subset A$.

Quelque soit la suite $\{\phi(f_j)\}$ ($\phi : A \rightarrow \mathbb{R}$), convergeant faiblement dans $L^\infty(\Omega) - \star$, la limite faible peut être exprimée en terme de ν :

$$\lim_j \int_{\Omega} \phi(f_j) h(x) dx = \int_{\Omega} h(x) \int_A \phi(\lambda) d\nu_x(\lambda) dx \quad \forall h \in L^1(\Omega). \quad (67)$$

- Soit $(U_j)_j$ une suite minimisante pour la fonctionnelle $\int_0^T \int_{\Omega} W(x, t, \nabla U) dx dt$. Alors le théorème fondamentale des mesures de Young implique que

$$\lim_{j \rightarrow \infty} \int_0^T \int_{\Omega} W(x, t, \nabla U_j(x, t)) dx dt = \int_0^T \int_{\Omega} \int_{\mathcal{M}^{2 \times 2}} W(x, t, A) d\nu_{x,t}(A) dx dt \quad (68)$$

où $\nu = \{\nu_{x,t}\}$ est la mesure de Young associée à la suite $\{\nabla U_j\}$. [Kinderlehrer-Pedregal, 92].

- Une mesure de Young ν est une famille de mesure de probabilité $\{\nu_x\}_{x \in \Omega}$ associée à une suite de fonctions $(f_j)_j$ telle que $f_j : \Omega \rightarrow A$ et $\text{supp}(\nu_x) \subset A$.

Quelque soit la suite $\{\phi(f_j)\}$ ($\phi : A \rightarrow \mathbb{R}$), convergeant faiblement dans $L^\infty(\Omega) - \star$, la limite faible peut être exprimée en terme de ν :

$$\lim_j \int_{\Omega} \phi(f_j) h(x) dx = \int_{\Omega} h(x) \int_A \phi(\lambda) d\nu_x(\lambda) dx \quad \forall h \in L^1(\Omega). \quad (67)$$

- Soit $(U_j)_j$ une suite minimisante pour la fonctionnelle $\int_0^T \int_{\Omega} W(x, t, \nabla U) dx dt$. Alors le théorème fondamentale des mesures de Young implique que

$$\lim_{j \rightarrow \infty} \int_0^T \int_{\Omega} W(x, t, \nabla U_j(x, t)) dx dt = \int_0^T \int_{\Omega} \int_{\mathcal{M}^{2 \times 2}} W(x, t, A) d\nu_{x,t}(A) dx dt \quad (68)$$

où $\nu = \{\nu_{x,t}\}$ est la mesure de Young associée à la suite $\{\nabla U_j\}$. [Kinderlehrer-Pedregal, 92].

- Une formulation relaxée de (VP_{ω}^1) est [Dacorogna 89,07]

$$\bar{m} = \min_{U,s} \left\{ \int_0^T \int_{\Omega} CQW(t,x, \nabla U(t,x), s(x)) dx dt \right\} \quad (= m) \quad (69)$$

où le minimum est pris sur $U \in (H^1((0, T) \times (0, 1)))^2$ satisfaisant les conditions aux limites et les fonctions s les contraintes

$$0 \leq s(x) \leq 1 \quad \forall x \in \Omega, \quad \text{and} \quad \int_{\Omega} s(x) dx \leq L |\Omega|. \quad (70)$$

- $CQW(t,x, \nabla U(t,x), s(x))$ quasi-convexifié contraint de la densité W et pour $(F, s) \in \mathcal{M}^{2 \times 2} \times \mathbb{R}$ est défini par

$$CQW(t,x, F, s) = \inf_{\nu} \left\{ \int_{\mathcal{M}^{2 \times 2}} W(t,x, M) d\nu(M) : \nu \in \mathcal{A}(F, s) \right\}, \quad (71)$$

où

$$\begin{aligned} \mathcal{A}(F, s) &= \left\{ \nu : \nu \text{ est une homogène } H^1 - \text{mesure de Young,} \right. \\ &\quad \left. F = \int_{\mathcal{M}^{2 \times 2}} M d\nu(M) \quad \text{and} \quad \int_{\mathcal{M}^{2 \times 2}} V(M) d\nu(M) = s \right\}. \end{aligned}$$

- Une formulation relaxée de (VP_{ω}^1) est [Dacorogna 89,07]

$$\bar{m} = \min_{U,s} \left\{ \int_0^T \int_{\Omega} CQW(t,x, \nabla U(t,x), s(x)) dx dt \right\} \quad (= m) \quad (69)$$

où le minimum est pris sur $U \in (H^1((0,T) \times (0,1)))^2$ satisfaisant les conditions aux limites et les fonctions s les contraintes

$$0 \leq s(x) \leq 1 \quad \forall x \in \Omega, \quad \text{and} \quad \int_{\Omega} s(x) dx \leq L |\Omega|. \quad (70)$$

- $CQW(t,x, \nabla U(t,x), s(x))$ quasi-convexifié contraint de la densité W et pour $(F,s) \in \mathcal{M}^{2 \times 2} \times \mathbb{R}$ est défini par

$$CQW(t,x,F,s) = \inf_{\nu} \left\{ \int_{\mathcal{M}^{2 \times 2}} W(t,x,M) d\nu(M) : \nu \in \mathcal{A}(F,s) \right\}, \quad (71)$$

où

$$\begin{aligned} \mathcal{A}(F,s) &= \left\{ \nu : \nu \text{ est une homogène } H^1 \text{ - mesure de Young,} \right. \\ &\quad \left. F = \int_{\mathcal{M}^{2 \times 2}} M d\nu(M) \quad \text{and} \quad \int_{\mathcal{M}^{2 \times 2}} V(M) d\nu(M) = s \right\}. \end{aligned}$$

La classe $\mathcal{A}(F, s)$ des mesures de Young gradient n'est pas explicite. La stratégie est la suivante [Fonseca-Muller 00], [Pedregal 05] :

- On minimise sur $\nu \in \mathcal{A}^*$, la classe des mesures polyconvexes telles que

$$\mathcal{A}(F, s) \subset \mathcal{A}^*(F, s), \forall F, s \quad (72)$$

$$\mathcal{A}^*(F, s) = \left\{ \nu : \nu \text{ est une mesure de Young homogène, } \nu \text{ commute avec le déterminant,} \right. \\ \left. F = \int_{\mathcal{M}^{2 \times 2}} M d\nu(M), s = \int_{\mathcal{M}^{2 \times 2}} V(U, M) d\nu(M) \right\}. \quad (73)$$

$$CPW(F, s) = \min_{\nu} \left\{ \int_{\mathcal{M}^{2 \times 2}} W(M) d\nu(M) : \nu \in \mathcal{A}^* \right\} \leq CQW(F, s) \quad (74)$$

- On étudie si la mesure optimale $\nu_{opt} \in \mathcal{A}^*$ satisfait une **condition de rang un**, pour obtenir alors que ν_{opt} appartient à la **classe des laminés** \mathcal{A}_* telle que

$$\mathcal{A}_*(F, s) \subset \mathcal{A}(F, s), \quad \forall F, s \quad (75)$$

- On conclut alors que $\nu_{opt} \in \mathcal{A}$ et conduit à l'expression de CQW et m .

La classe $\mathcal{A}(F, s)$ des mesures de Young gradient n'est pas explicite. La stratégie est la suivante [Fonseca-Muller 00], [Pedregal 05] :

- On minimise sur $\nu \in \mathcal{A}^*$, la classe des mesures polyconvexes telles que

$$\mathcal{A}(F, s) \subset \mathcal{A}^*(F, s), \forall F, s \quad (72)$$

$$\mathcal{A}^*(F, s) = \left\{ \nu : \nu \text{ est une mesure de Young homogène, } \nu \text{ commute avec le déterminant,} \right. \\ \left. F = \int_{\mathcal{M}^{2 \times 2}} M d\nu(M), s = \int_{\mathcal{M}^{2 \times 2}} V(U, M) d\nu(M) \right\}. \quad (73)$$

$$CPW(F, s) = \min_{\nu} \left\{ \int_{\mathcal{M}^{2 \times 2}} W(M) d\nu(M) : \nu \in \mathcal{A}^* \right\} \leq CQW(F, s) \quad (74)$$

- On étudie si la mesure optimale $\nu_{opt} \in \mathcal{A}^*$ satisfait une **condition de rang un**, pour obtenir alors que ν_{opt} appartient à la **classe des laminés** \mathcal{A}_* telle que

$$\mathcal{A}_*(F, s) \subset \mathcal{A}(F, s), \quad \forall F, s \quad (75)$$

- On conclut alors que $\nu_{opt} \in \mathcal{A}$ et conduit à l'expression de CQW et m .

La classe $\mathcal{A}(F, s)$ des mesures de Young gradient n'est pas explicite. La stratégie est la suivante [Fonseca-Muller 00], [Pedregal 05] :

- On minimise sur $\nu \in \mathcal{A}^*$, la classe des mesures polyconvexes telles que

$$\mathcal{A}(F, s) \subset \mathcal{A}^*(F, s), \forall F, s \quad (72)$$

$$\mathcal{A}^*(F, s) = \left\{ \nu : \nu \text{ est une mesure de Young homogène, } \nu \text{ commute avec le déterminant,} \right. \\ \left. F = \int_{\mathcal{M}^{2 \times 2}} M d\nu(M), s = \int_{\mathcal{M}^{2 \times 2}} V(U, M) d\nu(M) \right\}. \quad (73)$$

$$CPW(F, s) = \min_{\nu} \left\{ \int_{\mathcal{M}^{2 \times 2}} W(M) d\nu(M) : \nu \in \mathcal{A}^* \right\} \leq CQW(F, s) \quad (74)$$

- On étudie si la mesure optimale $\nu_{opt} \in \mathcal{A}^*$ satisfait une **condition de rang un**, pour obtenir alors que ν_{opt} appartient à la **classe des laminés** \mathcal{A}_* telle que

$$\mathcal{A}_*(F, s) \subset \mathcal{A}(F, s), \quad \forall F, s \quad (75)$$

- On conclut alors que $\nu_{opt} \in \mathcal{A}$ et conduit à l'expression de CQW et m .

$$(RP_\omega^1) : \inf_{\mathbf{s}(\mathbf{x}) \in L^\infty(\Omega)} \int_0^T \int_\Omega (u_t^2 + |\nabla u|^2) dx dt \quad (76)$$

soumis à

$$\begin{cases} u_{tt} - \Delta u + a(\mathbf{x})\mathbf{s}(\mathbf{x})u_t = 0 & (0, T) \times \Omega, \\ u = 0 & (0, T) \times \partial\Omega, \\ u(0, \cdot) = u^0, \quad u_t(0, \cdot) = u^1 & \{0\} \times \Omega, \\ 0 \leq \mathbf{s}(\mathbf{x}) \leq 1, \quad \int_\Omega \mathbf{s}(\mathbf{x}) dx \leq L|\Omega| & \Omega. \end{cases} \quad (77)$$

$$\{\mathcal{X} \in L^\infty(\Omega; \{0, 1\})\} \implies \{\mathbf{s} \in L^\infty(\Omega; [0, 1])\}$$

Le problème (RP_ω^1) est une relaxation de (P_ω^1) au sens suivant :

$$(RP_\omega^1) : \inf_{\mathbf{s}(\mathbf{x}) \in L^\infty(\Omega)} \int_0^T \int_\Omega (u_t^2 + |\nabla u|^2) dx dt \quad (76)$$

soumis à

$$\begin{cases} u_{tt} - \Delta u + a(\mathbf{x})\mathbf{s}(\mathbf{x})u_t = 0 & (0, T) \times \Omega, \\ u = 0 & (0, T) \times \partial\Omega, \\ u(0, \cdot) = u^0, \quad u_t(0, \cdot) = u^1 & \{0\} \times \Omega, \\ 0 \leq \mathbf{s}(\mathbf{x}) \leq 1, \quad \int_\Omega \mathbf{s}(\mathbf{x}) dx \leq L|\Omega| & \Omega. \end{cases} \quad (77)$$

$$\{\mathcal{X} \in L^\infty(\Omega; \{0, 1\})\} \implies \{\mathbf{s} \in L^\infty(\Omega; [0, 1])\}$$

Théorème (AM - Pedregal - Periago 06)

Le problème (RP_ω^1) est une relaxation de (P_ω^1) au sens suivant :

- (RP_ω^1) est posé;
- L'infimum de (P_ω^1) est égal au minimum de (RP_ω^1) ;
- Si \mathbf{s} est optimale pour (RP_ω^1) , alors les suites optimales de domaines $(\omega_j)_j$ pour (P_ω^1) sont exactement celles pour laquelle la mesure de Young associée à $(\mathcal{X}_\omega)_j$ est

$$s(x)\delta_{G_1} + (1 - s(x))\delta_{G_0}. \quad (78)$$

$$G_1 \in \Lambda_1, G_0 \in \Lambda_0, G_1 - G_0 = a \otimes n, n = (0, 1).$$

$$(RP_\omega^1) : \inf_{\mathbf{s}(\mathbf{x}) \in L^\infty(\Omega)} \int_0^T \int_\Omega (u_t^2 + |\nabla u|^2) dx dt \quad (76)$$

soumis à

$$\begin{cases} u_{tt} - \Delta u + a(\mathbf{x})\mathbf{s}(\mathbf{x})u_t = 0 & (0, T) \times \Omega, \\ u = 0 & (0, T) \times \partial\Omega, \\ u(0, \cdot) = u^0, \quad u_t(0, \cdot) = u^1 & \{0\} \times \Omega, \\ 0 \leq \mathbf{s}(\mathbf{x}) \leq 1, \quad \int_\Omega \mathbf{s}(\mathbf{x}) dx \leq L|\Omega| & \Omega. \end{cases} \quad (77)$$

$$\{\mathcal{X} \in L^\infty(\Omega; \{0, 1\})\} \implies \{\mathbf{s} \in L^\infty(\Omega; [0, 1])\}$$

Théorème (AM - Pedregal - Periago 06)

Le problème (RP_ω^1) est une relaxation de (P_ω^1) au sens suivant :

- (RP_ω^1) est posé;
- L'infimum de (P_ω^1) est égal au minimum de (RP_ω^1) ;
- Si \mathbf{s} est optimale pour (RP_ω^1) , alors les suites optimales de domaines $(\omega_j)_j$ pour (P_ω^1) sont exactement celles pour laquelle la mesure de Young associée à $(\mathcal{X}_{\omega_j})_j$ est

$$s(x)\delta_{G_1} + (1 - s(x))\delta_{G_0}. \quad (78)$$

$$G_1 \in \Lambda_1, G_0 \in \Lambda_0, G_1 - G_0 = a \otimes n, n = (0, 1).$$

$$(RP_\omega^1) : \inf_{\mathbf{s}(\mathbf{x}) \in L^\infty(\Omega)} \int_0^T \int_\Omega (u_t^2 + |\nabla u|^2) dx dt \quad (76)$$

soumis à

$$\begin{cases} u_{tt} - \Delta u + a(\mathbf{x})\mathbf{s}(\mathbf{x})u_t = 0 & (0, T) \times \Omega, \\ u = 0 & (0, T) \times \partial\Omega, \\ u(0, \cdot) = u^0, \quad u_t(0, \cdot) = u^1 & \{0\} \times \Omega, \\ 0 \leq \mathbf{s}(\mathbf{x}) \leq 1, \quad \int_\Omega \mathbf{s}(\mathbf{x}) dx \leq L|\Omega| & \Omega. \end{cases} \quad (77)$$

$$\{\mathcal{X} \in L^\infty(\Omega; \{0, 1\})\} \implies \{s \in L^\infty(\Omega; [0, 1])\}$$

Théorème (AM - Pedregal - Periago 06)

Le problème (RP_ω^1) est une relaxation de (P_ω^1) au sens suivant :

- (RP_ω^1) est posé;
- L'infimum de (P_ω^1) est égal au minimum de (RP_ω^1) ;
- Si s est optimale pour (RP_ω^1) , alors les suites optimales de domaines $(\omega_j)_j$ pour (P_ω^1) sont exactement celles pour laquelle la mesure de Young associée à $(\mathcal{X}_{\omega_j})_j$ est

$$s(x)\delta_{G_1} + (1 - s(x))\delta_{G_0}. \quad (78)$$

$$G_1 \in \Lambda_1, G_0 \in \Lambda_0, G_1 - G_0 = a \otimes n, n = (0, 1).$$

$$(RP_\omega^1) : \inf_{\mathbf{s}(\mathbf{x}) \in L^\infty(\Omega)} \int_0^T \int_\Omega (u_t^2 + |\nabla u|^2) dx dt \quad (76)$$

soumis à

$$\begin{cases} u_{tt} - \Delta u + a(\mathbf{x})\mathbf{s}(\mathbf{x})u_t = 0 & (0, T) \times \Omega, \\ u = 0 & (0, T) \times \partial\Omega, \\ u(0, \cdot) = u^0, \quad u_t(0, \cdot) = u^1 & \{0\} \times \Omega, \\ 0 \leq \mathbf{s}(\mathbf{x}) \leq 1, \quad \int_\Omega \mathbf{s}(\mathbf{x}) dx \leq L|\Omega| & \Omega. \end{cases} \quad (77)$$

$$\{\mathcal{X} \in L^\infty(\Omega; \{0, 1\})\} \implies \{s \in L^\infty(\Omega; [0, 1])\}$$

Théorème (AM - Pedregal - Periago 06)

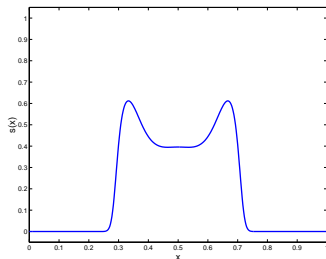
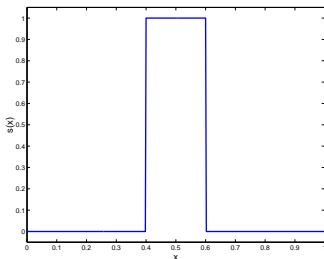
Le problème (RP_ω^1) est une relaxation de (P_ω^1) au sens suivant :

- (RP_ω^1) est posé;
- L'infimum de (P_ω^1) est égal au minimum de (RP_ω^1) ;
- Si s est optimale pour (RP_ω^1) , alors les suites optimales de domaines $(\omega_j)_j$ pour (P_ω^1) sont exactement celles pour laquelle la mesure de Young associée à $(\mathcal{X}_{\omega_j})_j$ est

$$s(x)\delta_{G_1} + (1 - s(x))\delta_{G_0}. \quad (78)$$

$$G_1 \in \Lambda_1, G_0 \in \Lambda_0, G_1 - G_0 = a \otimes n, n = (0, 1).$$

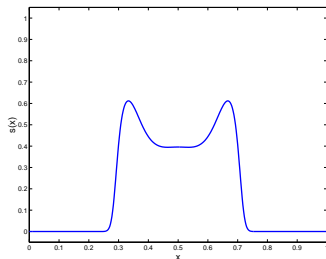
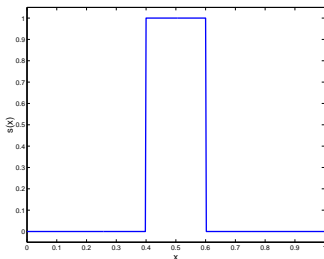
$$\Omega = (0, 1), \quad (u^0(x), u^1(x)) = (\sin(\pi x), 0), \quad L = 1/5, \quad T = 1 \quad (79)$$



Densité optimale pour $a(x) = 1$ (Gauche) et $a(x) = 10$ (Droite)

- Si $a \leq a^*(\Omega, L, u^0, u^1)$, $\{x \in \Omega, 0 < s(x) < 1\} = \emptyset$, $(RP_\omega^1) \equiv (P_\omega^1)$ est bien posé
- Si $a > a^*(\Omega, L, u^0, u^1)$, $\{x \in \Omega, 0 < s(x) < 1\} \neq \emptyset$, $(RP_\omega^1) \neq (P_\omega^1)$ n'est pas bien posé

$$\Omega = (0, 1), \quad (u^0(x), u^1(x)) = (\sin(\pi x), 0), \quad L = 1/5, \quad T = 1 \quad (79)$$

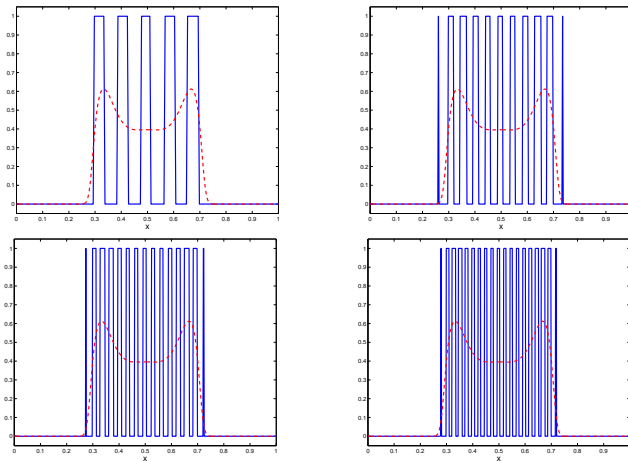


Densité optimale pour $a(x) = 1$ (Gauche) et $a(x) = 10$ (Droite)

- Si $a \leq a^*(\Omega, L, u^0, u^1)$, $\{x \in \Omega, 0 < s(x) < 1\} = \emptyset$, $(RP_\omega^1) \equiv (P_\omega^1)$ est bien posé
- Si $a > a^*(\Omega, L, u^0, u^1)$, $\{x \in \Omega, 0 < s(x) < 1\} \neq \emptyset$, $(RP_\omega^1) \neq (P_\omega^1)$ n'est pas bien posé

$$\Omega = (0, 1), \quad (y^0(x), y^1(x)) = (\sin(\pi x), 0), \quad L = 1/5, \quad T = 1$$

(80)



$\#\omega_j$	10	20	30	40
$l(\mathcal{X}_{\omega_j})$	4.133	3.721	3.541	3.431

$$\lim_{\#\omega_j \rightarrow \infty} l(\mathcal{X}_{\omega_j}) = l(s_{opt}) \approx 3.421$$

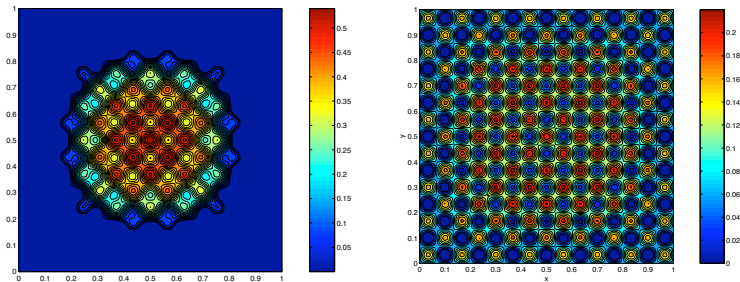


Figure: Isovaleurs de la densité s optimale pour $a(\mathbf{x}) = 25\chi_{\Omega}(\mathbf{x})$ (**Gauche**) et $a(\mathbf{x}) = 50\chi_{\Omega}(\mathbf{x})$ (**Droite**) - $T = 1$ - PRÉSENCE D'UNE MICRO-STRUCTURE POUR a SUFFISAMMENT GRAND.

[Maestre-AM-Pedegral, IFB 08]

- Soient $\Omega \subset \mathbb{R}$, $0 < \alpha < \beta < \infty$, $L \in (0, 1)$, $T > 0$, $(u^0, u^1) \in L^2(\Omega) \times H^{-1}(\Omega)$.

$$(P_{\omega}^2) : \inf_{\mathcal{X}_{\omega}} J(\mathcal{X}_{\omega}) = \int_0^T \int_{\Omega} (|u_t|^2 + a(t, \mathbf{x}, \mathcal{X}_{\omega}) |\nabla u|^2) dx dt \quad (81)$$

avec par exemple

$$a(t, \mathbf{x}, \mathcal{X}_{\omega}) = 1 \quad (\text{cas quadratique}) \quad \text{ou} \quad a(t, \mathbf{x}, \mathcal{X}_{\omega}) = \alpha \mathcal{X}_{\omega} + \beta(1 - \mathcal{X}_{\omega}) \quad (\text{cas compliance}) \quad (82)$$

soumis à

$$\begin{cases} u_{tt} - \operatorname{div}([\alpha \mathcal{X}_{\omega} + \beta(1 - \mathcal{X}_{\omega})] \nabla u) = 0 & (0, T) \times \Omega, \\ u = 0 & (0, T) \times \partial\Omega, \\ u(0, \cdot) = u^0, \quad u_t(0, \cdot) = u^1 & \Omega, \\ \mathcal{X}_{\omega} \in L^{\infty}((0, T) \times \Omega; \{0, 1\}), \\ \|\mathcal{X}_{\omega}\|_{L^1(\Omega)} \leq L \|\mathcal{X}_{\Omega}\|_{L^1(\Omega)} & (0, T) \end{cases} \quad (83)$$

- ω dépend de \mathbf{x} et de t : *Matériaux dynamiques* [Lurie 99, 00, 02].

[Maestre-AM-Pedegral, IFB 08]

- Soient $\Omega \subset \mathbb{R}$, $0 < \alpha < \beta < \infty$, $L \in (0, 1)$, $T > 0$, $(u^0, u^1) \in L^2(\Omega) \times H^{-1}(\Omega)$.

$$(P_{\omega}^2) : \inf_{\mathcal{X}_{\omega}} J(\mathcal{X}_{\omega}) = \int_0^T \int_{\Omega} (|u_t|^2 + a(t, \mathbf{x}, \mathcal{X}_{\omega}) |\nabla u|^2) dx dt \quad (81)$$

avec par exemple

$$a(t, \mathbf{x}, \mathcal{X}_{\omega}) = 1 \quad (\text{cas quadratique}) \quad \text{ou} \quad a(t, \mathbf{x}, \mathcal{X}_{\omega}) = \alpha \mathcal{X}_{\omega} + \beta(1 - \mathcal{X}_{\omega}) \quad (\text{cas compliance}) \quad (82)$$

soumis à

$$\begin{cases} u_{tt} - \operatorname{div}([\alpha \mathcal{X}_{\omega} + \beta(1 - \mathcal{X}_{\omega})] \nabla u) = 0 & (0, T) \times \Omega, \\ u = 0 & (0, T) \times \partial\Omega, \\ u(0, \cdot) = u^0, \quad u_t(0, \cdot) = u^1 & \Omega, \\ \mathcal{X}_{\omega} \in L^{\infty}((0, T) \times \Omega; \{0, 1\}), \\ \|\mathcal{X}_{\omega}\|_{L^1(\Omega)} \leq L \|\mathcal{X}_{\Omega}\|_{L^1(\Omega)} & (0, T) \end{cases} \quad (83)$$

- ω dépend de \mathbf{x} et de t : *Matériaux dynamiques* [Lurie 99, 00, 02].

- $h(t, x) = \beta a_\alpha(t, x) - \alpha a_\beta(t, x), \quad a(t, x, \mathcal{X}) = \mathcal{X}(t, x)a_\alpha(t, x) + (1 - \mathcal{X}(t, x))a_\beta(t, x)$



$$(RP_\omega^2) : \quad \min_{U, s} \int_0^T \int_\Omega CQW(t, x, \nabla U(t, x), s(t, x)) dx dt$$

soumis à

$$\begin{cases} U = (u, v) \in H^1([0, T] \times \Omega)^2, \quad \text{tr}(\nabla U(t, x)) = 0, \\ U^{(1)}(0, x) = u_0(x), \quad U_t^{(1)}(0, x) = u_1(x) \quad \text{dans } \Omega, \\ U^{(1)}(t, 1) = U^{(1)}(t, 0) = 0 \quad \text{dans } [0, T], \\ 0 \leq s(t, x) \leq 1, \quad \int_\Omega s(t, x) dx \leq V_\alpha |\Omega| \quad \forall t \in [0, T], \end{cases}$$

- $CQW(t, x, F, s)$ est explicitement donné par

$$\begin{cases} \frac{h}{s\beta(\beta - \alpha)^2} (\beta^2 |F_{12}|^2 + |F_{21}|^2 + 2\beta F_{12}F_{21}) + |F_{11}|^2 - \frac{a_\beta}{\beta} F_{12}F_{21} & \text{si } h(t, x) \geq 0, \psi(F, s) \leq 0 \\ \frac{-h}{(1-s)\alpha(\beta - \alpha)^2} (\alpha^2 |F_{12}|^2 + |F_{21}|^2 + 2\alpha F_{12}F_{21}) + |F_{11}|^2 - \frac{a_\alpha}{\alpha} F_{12}F_{21}, & \text{si } h(t, x) \leq 0, \psi(F, s) \leq 0 \\ -\det F + \frac{1}{s(1-s)(\beta - \alpha)^2} \left(((1-s)\beta^2(\alpha + a_\alpha) + s\alpha^2(\beta + a_\beta)) |F_{12}|^2 \right. \\ \quad \left. + ((1-s)(\alpha + a_\alpha) + s(\beta + a_\beta)) |F_{21}|^2 + 2((\alpha + a_\alpha)\beta - sh) F_{12}F_{21} \right) & \text{si } \psi(F, s) \geq 0. \end{cases}$$

$$\psi(F, s) = \frac{(\alpha(1-s) + \beta s)}{(\beta - \alpha)} \left(F_{21} + \lambda_{\alpha, \beta}^-(s) F_{12} \right) \left(F_{21} + \lambda_{\alpha, \beta}^+(s) F_{12} \right)$$

- $h(t, \mathbf{x}) = \beta a_\alpha(t, \mathbf{x}) - \alpha a_\beta(t, \mathbf{x}), \quad a(t, \mathbf{x}, \mathcal{X}) = \mathcal{X}(t, \mathbf{x})a_\alpha(t, \mathbf{x}) + (1 - \mathcal{X}(t, \mathbf{x}))a_\beta(t, \mathbf{x})$



$$(RP_\omega^2) : \quad \min_{U, s} \int_0^T \int_\Omega CQW(t, \mathbf{x}, \nabla U(t, \mathbf{x}), s(t, \mathbf{x})) dx dt$$

soumis à

$$\begin{cases} U = (u, v) \in H^1([0, T] \times \Omega)^2, \quad \text{tr}(\nabla U(t, \mathbf{x})) = 0, \\ U^{(1)}(0, \mathbf{x}) = u_0(\mathbf{x}), \quad U_t^{(1)}(0, \mathbf{x}) = u_1(\mathbf{x}) \quad \text{dans } \Omega, \\ U^{(1)}(t, 1) = U^{(1)}(t, 0) = 0 \quad \text{dans } [0, T], \\ 0 \leq s(t, \mathbf{x}) \leq 1, \quad \int_\Omega s(t, \mathbf{x}) dx \leq V_\alpha |\Omega| \quad \forall t \in [0, T], \end{cases}$$

- $CQW(t, \mathbf{x}, F, s)$ est explicitement donné par

$$\begin{cases} \frac{h}{s\beta(\beta - \alpha)^2} (\beta^2 |F_{12}|^2 + |F_{21}|^2 + 2\beta F_{12}F_{21}) + |F_{11}|^2 - \frac{a_\beta}{\beta} F_{12}F_{21} & \text{si } h(t, \mathbf{x}) \geq 0, \psi(F, s) \leq 0 \\ \frac{-h}{(1-s)\alpha(\beta - \alpha)^2} (\alpha^2 |F_{12}|^2 + |F_{21}|^2 + 2\alpha F_{12}F_{21}) + |F_{11}|^2 - \frac{a_\alpha}{\alpha} F_{12}F_{21}, & \text{si } h(t, \mathbf{x}) \leq 0, \psi(F, s) \leq 0 \\ -\det F + \frac{1}{s(1-s)(\beta - \alpha)^2} \left(((1-s)\beta^2(\alpha + a_\alpha) + s\alpha^2(\beta + a_\beta)) |F_{12}|^2 \right. \\ \left. + ((1-s)(\alpha + a_\alpha) + s(\beta + a_\beta)) |F_{21}|^2 + 2((\alpha + a_\alpha)\beta - sh) F_{12}F_{21} \right) & \text{si } \psi(F, s) \geq 0. \end{cases}$$

$$\psi(F, s) = \frac{(\alpha(1-s) + \beta s)}{(\beta - \alpha)} \left(F_{21} + \lambda_{\alpha, \beta}^-(s) F_{12} \right) \left(F_{21} + \lambda_{\alpha, \beta}^+(s) F_{12} \right)$$

- $h(t, \mathbf{x}) = \beta a_\alpha(t, \mathbf{x}) - \alpha a_\beta(t, \mathbf{x}), \quad a(t, \mathbf{x}, \mathcal{X}) = \mathcal{X}(t, \mathbf{x})a_\alpha(t, \mathbf{x}) + (1 - \mathcal{X}(t, \mathbf{x}))a_\beta(t, \mathbf{x})$



$$(RP_\omega^2) : \quad \min_{U, s} \int_0^T \int_\Omega CQW(t, \mathbf{x}, \nabla U(t, \mathbf{x}), s(t, \mathbf{x})) dx dt$$

soumis à

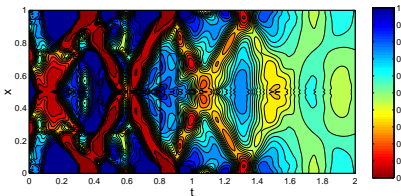
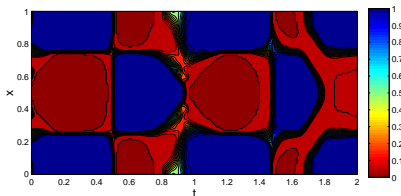
$$\begin{cases} U = (u, v) \in H^1([0, T] \times \Omega)^2, \quad \text{tr}(\nabla U(t, \mathbf{x})) = 0, \\ U^{(1)}(0, \mathbf{x}) = u_0(\mathbf{x}), \quad U_t^{(1)}(0, \mathbf{x}) = u_1(\mathbf{x}) \quad \text{dans } \Omega, \\ U^{(1)}(t, 1) = U^{(1)}(t, 0) = 0 \quad \text{dans } [0, T], \\ 0 \leq s(t, \mathbf{x}) \leq 1, \quad \int_\Omega s(t, \mathbf{x}) dx \leq V_\alpha |\Omega| \quad \forall t \in [0, T], \end{cases}$$

- $CQW(t, \mathbf{x}, F, s)$ est **explicitement** donné par

$$\begin{cases} \frac{h}{s\beta(\beta - \alpha)^2} (\beta^2 |F_{12}|^2 + |F_{21}|^2 + 2\beta F_{12}F_{21}) + |F_{11}|^2 - \frac{\beta}{\beta} F_{12}F_{21} & \text{si } h(t, \mathbf{x}) \geq 0, \psi(F, s) \leq 0 \\ \frac{-h}{(1-s)\alpha(\beta - \alpha)^2} (\alpha^2 |F_{12}|^2 + |F_{21}|^2 + 2\alpha F_{12}F_{21}) + |F_{11}|^2 - \frac{\alpha}{\alpha} F_{12}F_{21}, & \text{si } h(t, \mathbf{x}) \leq 0, \psi(F, s) \leq 0 \\ -\det F + \frac{1}{s(1-s)(\beta - \alpha)^2} \left(((1-s)\beta^2(\alpha + a_\alpha) + s\alpha^2(\beta + a_\beta)) |F_{12}|^2 \right. \\ \quad \left. + ((1-s)(\alpha + a_\alpha) + s(\beta + a_\beta)) |F_{21}|^2 + 2((\alpha + a_\alpha)\beta - sh) F_{12}F_{21} \right) & \text{si } \psi(F, s) \geq 0. \end{cases}$$

$$\psi(F, s) = \frac{(\alpha(1-s) + \beta s)}{(\beta - \alpha)} \left(F_{21} + \lambda_{\alpha, \beta}^-(s) F_{12} \right) \left(F_{21} + \lambda_{\alpha, \beta}^+(s) F_{12} \right)$$

$$\Omega = (0, 1), T = 2, (u^0, u^1) = (\sin(\pi x), 0), L = 1/2, (a_{\alpha}, a_{\beta}) = (\alpha, \beta) \quad (84)$$



Iso-valeurs de la densité optimale s sur $(0, T) \times \Omega$ Haut: $(\alpha, \beta) = (1, 1.1)$ -Bas: $(\alpha, \beta) = (1, 10)$.

[Maestre, AM, Pedregal, SIAM Appl. Math. 07]

- Optimisation simultanée par rapport à $\omega_1 \subset (0, T) \times \Omega$ et $\omega_2 \subset \Omega$

$$(P_\omega^3) : \quad \inf_{\mathcal{X}_{\omega_1}, \mathcal{X}_{\omega_2}} I(\mathcal{X}_{\omega_1}, \mathcal{X}_{\omega_2}) = \int_0^T \int_\Omega (|u_t|^2 + a(t, \mathbf{x}, \mathcal{X}_{\omega_1}) |\nabla u|^2) dx dt \quad (85)$$

soumis à

$$\left\{ \begin{array}{ll} u_{tt} - \operatorname{div}([\alpha \mathcal{X}_{\omega_1} + \beta(1 - \mathcal{X}_{\omega_1})] \nabla u) + a(\mathbf{x}) \mathcal{X}_{\omega_2} u_t = 0 & (0, T) \times \Omega, \\ u = 0 & (0, T) \times \partial\Omega, \\ u(0, \cdot) = u^0, \quad u_t(0, \cdot) = u^1 & \{0\} \times \Omega, \\ \mathcal{X}_{\omega_1} \in L^\infty(\Omega \times (0, T); \{0, 1\}), & \\ \mathcal{X}_{\omega_2} \in L^\infty(\Omega; \{0, 1\}), & \\ \|\mathcal{X}_{\omega_1}(t, \cdot)\|_{L^1(\Omega)} \leq L_{des} \|\mathcal{X}_\Omega\|_{L^1(\Omega)}, & (0, T) \\ \|\mathcal{X}_{\omega_2}\|_{L^1(\Omega)} \leq L_{dam} \|\mathcal{X}_\Omega\|_{L^1(\Omega)}, & \end{array} \right. \quad (86)$$

 $L_{dam}, L_{des} \in (0, 1)$.



$$(RP_\omega^3) : \quad \min_{U,s,r} \int_0^T \int_\Omega CQW(t, \mathbf{x}, \nabla U(t, \mathbf{x}), s(t, \mathbf{x}), r(\mathbf{x})) dx dt$$

soumis à

$$\left\{ \begin{array}{l} U = (u, v) \in H^1([0, T] \times \Omega)^2, \quad \psi(t, \mathbf{x}, \nabla U, \mathbf{s}, r) = 0 \\ \operatorname{tr}(\nabla U(t, \mathbf{x})) = u_t + v_x = a(x)r(x)u(t, \mathbf{x}), \text{ dans } (0, T) \times \Omega \\ U^{(1)}(0, \mathbf{x}) = u_0(\mathbf{x}), \quad U_t^{(1)}(0, \mathbf{x}) = u_1(\mathbf{x}) \text{ dans } \Omega, \\ U^{(1)}(t, 1) = U^{(1)}(t, 0) = 0 \text{ dans } [0, T], \\ 0 \leq s(t, \mathbf{x}) \leq 1, \quad \int_\Omega s(t, \mathbf{x}) dx \leq L_\alpha |\Omega| \quad \forall t \in [0, T], \\ 0 \leq r(\mathbf{x}) \leq 1, \quad \int_\Omega r(\mathbf{x}) dx \leq L_d |\Omega| \end{array} \right.$$

- $CQW(t, \mathbf{x}, F, s, r)$ est explicitement donné par

$$CQW(U, F, s, r) = |F_{11}|^2 + \frac{a_\alpha}{s(\beta - \alpha)^2} |\beta F_{12} + F_{21}|^2 + \frac{a_\beta}{(1-s)(\beta - \alpha)^2} |\alpha F_{12} + F_{21}|^2 \quad (87)$$

$$\psi(F, s, r) = \frac{(\alpha(1-s) + \beta s)}{(\beta - \alpha)} \left(F_{21} + \lambda_{\alpha, \beta}^-(s) F_{12} \right) \left(F_{21} + \lambda_{\alpha, \beta}^+(s) F_{12} \right)$$

- Laminé d'ordre 1 \implies (Effet régularisant sur la micro-structure optimale) OU (Pas de laminée d'ordre deux dans (RP_ω^2)).



$$(RP_\omega^3) : \min_{U,s,r} \int_0^T \int_\Omega CQW(t, \mathbf{x}, \nabla U(t, \mathbf{x}), s(t, \mathbf{x}), r(x)) dx dt$$

soumis à

$$\left\{ \begin{array}{l} U = (u, v) \in H^1([0, T] \times \Omega)^2, \quad \psi(t, \mathbf{x}, \nabla U, \mathbf{s}, r) = 0 \\ \operatorname{tr}(\nabla U(t, \mathbf{x})) = u_t + v_x = a(x)r(x)u(t, \mathbf{x}), \text{ dans } (0, T) \times \Omega \\ U^{(1)}(0, \mathbf{x}) = u_0(\mathbf{x}), U_t^{(1)}(0, \mathbf{x}) = u_1(\mathbf{x}) \text{ dans } \Omega, \\ U^{(1)}(t, 1) = U^{(1)}(t, 0) = 0 \text{ dans } [0, T], \\ 0 \leq s(t, x) \leq 1, \int_\Omega s(t, x) dx \leq L_\alpha |\Omega| \quad \forall t \in [0, T], \\ 0 \leq r(x) \leq 1, \int_\Omega r(x) dx \leq L_d |\Omega| \end{array} \right.$$

● $CQW(t, \mathbf{x}, F, s, r)$ est **explicitement** donné par

$$CQW(U, F, s, r) = |F_{11}|^2 + \frac{a_\alpha}{s(\beta - \alpha)^2} |\beta F_{12} + F_{21}|^2 + \frac{a_\beta}{(1-s)(\beta - \alpha)^2} |\alpha F_{12} + F_{21}|^2 \quad (87)$$

$$\psi(F, \mathbf{s}, r) = \frac{(\alpha(1-s) + \beta s)}{(\beta - \alpha)} \left(F_{21} + \lambda_{\alpha, \beta}^-(s) F_{12} \right) \left(F_{21} + \lambda_{\alpha, \beta}^+(s) F_{12} \right)$$

● Laminé d'ordre 1 \implies (Effet régularisant sur la micro-structure optimale) OU (Pas de laminée d'ordre deux dans (RP_ω^2)).



$$(RP_\omega^3) : \quad \min_{U,s,r} \int_0^T \int_\Omega CQW(t, \mathbf{x}, \nabla U(t, \mathbf{x}), s(t, \mathbf{x}), r(\mathbf{x})) dx dt$$

soumis à

$$\left\{ \begin{array}{l} U = (u, v) \in H^1([0, T] \times \Omega)^2, \quad \psi(t, \mathbf{x}, \nabla U, \mathbf{s}, r) = 0 \\ \operatorname{tr}(\nabla U(t, \mathbf{x})) = u_t + v_x = a(x)r(x)u(t, \mathbf{x}), \text{ dans } (0, T) \times \Omega \\ U^{(1)}(0, \mathbf{x}) = u_0(\mathbf{x}), \quad U_t^{(1)}(0, \mathbf{x}) = u_1(\mathbf{x}) \text{ dans } \Omega, \\ U^{(1)}(t, 1) = U^{(1)}(t, 0) = 0 \text{ dans } [0, T], \\ 0 \leq s(t, \mathbf{x}) \leq 1, \quad \int_\Omega s(t, \mathbf{x}) dx \leq L_\alpha |\Omega| \quad \forall t \in [0, T], \\ 0 \leq r(\mathbf{x}) \leq 1, \quad \int_\Omega r(\mathbf{x}) dx \leq L_d |\Omega| \end{array} \right.$$

● $CQW(t, \mathbf{x}, F, s, r)$ est **explicitement** donné par

$$CQW(U, F, s, r) = |F_{11}|^2 + \frac{a_\alpha}{s(\beta - \alpha)^2} |\beta F_{12} + F_{21}|^2 + \frac{a_\beta}{(1-s)(\beta - \alpha)^2} |\alpha F_{12} + F_{21}|^2 \quad (87)$$

$$\psi(F, \mathbf{s}, r) = \frac{(\alpha(1-s) + \beta s)}{(\beta - \alpha)} \left(F_{21} + \lambda_{\alpha, \beta}^-(s) F_{12} \right) \left(F_{21} + \lambda_{\alpha, \beta}^+(s) F_{12} \right)$$

● Laminé d'ordre 1 \implies (Effet régularisant sur la micro-structure optimale) OU (Pas de laminée d'ordre deux dans (RP_ω^2)).

$$\begin{aligned}
 (P_t) \quad \text{Minimiser en } \boldsymbol{x} : \quad J_t(\boldsymbol{x}) &= \frac{1}{2} \int_0^T \int_{\Omega} K(t, \boldsymbol{x}) \nabla u(t, \boldsymbol{x}) \cdot \nabla u(t, \boldsymbol{x}) \, dx dt \\
 \left\{ \begin{array}{ll} (\beta(t, \boldsymbol{x}) u(t, \boldsymbol{x}))' - \operatorname{div} (K(t, \boldsymbol{x}) \nabla u(t, \boldsymbol{x})) = f(t, \boldsymbol{x}) & \text{dans } (0, T) \times \Omega, \\ u = 0 & \text{sur } (0, T) \times \partial\Omega, \\ u(0, \boldsymbol{x}) = u_0(\boldsymbol{x}) & \text{dans } \Omega, \end{array} \right. \quad (88)
 \end{aligned}$$

avec

$$\beta(t, \boldsymbol{x}) = \boldsymbol{x}(t, \boldsymbol{x}) \beta_1 + (1 - \boldsymbol{x}(t, \boldsymbol{x})) \beta_2, \quad K(t, \boldsymbol{x}) = \boldsymbol{x}(t, \boldsymbol{x}) k_1 l_N + (1 - \boldsymbol{x}(t, \boldsymbol{x})) k_2 l_N,$$

Théorème (AM, Pedregal, Periago, JMPA 2008)

$$(RP_t) \quad \text{Minimiser en } (\theta, \bar{G}, u) : \quad \bar{J}_t(\theta, \bar{G}, u) = \frac{1}{2} \int_0^T \int_{\Omega} \left[k_1 \frac{|\bar{G} - k_2 \nabla u|^2}{\theta (k_1 - k_2)^2} + k_2 \frac{|\bar{G} - k_1 \nabla u|^2}{(1 - \theta) (k_2 - k_1)^2} \right] dx dt$$

$$\left\{ \begin{array}{ll} G \in L^2((0, T) \times \Omega; \mathbb{R}^{N+1}), & u \in H^1((0, T) \times \Omega; \mathbb{R}), \\ ((\theta \beta_1 + (1 - \theta) \beta_2) u)' - \operatorname{div} \bar{G} = 0 & \text{dans } H^{-1}((0, T) \times \Omega), \\ u|_{\partial\Omega} = 0 \text{ p.p. } t \in [0, T], & u(0) = u_0 \text{ dans } \Omega, \\ \theta \in L^\infty((0, T) \times \Omega; [0, 1]), \quad \int_{\Omega} \theta(t, \boldsymbol{x}) \, dx = L|\Omega| \text{ p.p. } t \in (0, T). \end{array} \right.$$

est une relaxation de (P_t) au sens suivant :

- (i) Il existe au moins un minimum pour (RP_t) ,
- (ii) l'infimum de (VP_t) est égal au minimum de (RP_t) , et
- (iii) la mesure de Young associée à (RP_t) (et donc la micro-structure optimale de (VP_t)) peut être déterminée sous la forme d'un laminé du premier ordre dont la direction est explicite en terme de la solution optimale de (RP_t) .

$$(P_t) \text{ Minimiser en } \boldsymbol{x} : J_t(\boldsymbol{x}) = \frac{1}{2} \int_0^T \int_{\Omega} K(t, \boldsymbol{x}) \nabla u(t, \boldsymbol{x}) \cdot \nabla u(t, \boldsymbol{x}) \, dx dt$$

$$\begin{cases} (\beta(t, \boldsymbol{x})u(t, \boldsymbol{x}))' - \operatorname{div}(K(t, \boldsymbol{x}) \nabla u(t, \boldsymbol{x})) = f(t, \boldsymbol{x}) & \text{dans } (0, T) \times \Omega, \\ u = 0 & \text{sur } (0, T) \times \partial\Omega, \\ u(0, \boldsymbol{x}) = u_0(\boldsymbol{x}) & \text{dans } \Omega, \end{cases} \quad (88)$$

avec

$$\beta(t, \boldsymbol{x}) = \boldsymbol{x}(t, \boldsymbol{x}) \beta_1 + (1 - \boldsymbol{x}(t, \boldsymbol{x})) \beta_2, \quad K(t, \boldsymbol{x}) = \boldsymbol{x}(t, \boldsymbol{x}) k_1 l_N + (1 - \boldsymbol{x}(t, \boldsymbol{x})) k_2 l_N,$$

Théorème (AM, Pedregal, Periago, JMPA 2008)

$$(RP_t) \text{ Minimiser en } (\theta, \bar{G}, u) : \bar{J}_t(\theta, \bar{G}, u) = \frac{1}{2} \int_0^T \int_{\Omega} \left[k_1 \frac{|\bar{G} - k_2 \nabla u|^2}{\theta (k_1 - k_2)^2} + k_2 \frac{|\bar{G} - k_1 \nabla u|^2}{(1 - \theta) (k_2 - k_1)^2} \right] dx dt$$

$$\begin{cases} G \in L^2((0, T) \times \Omega; \mathbb{R}^{N+1}), & u \in H^1((0, T) \times \Omega; \mathbb{R}), \\ ((\theta \beta_1 + (1 - \theta) \beta_2) u)' - \operatorname{div} \bar{G} = 0 & \text{dans } H^{-1}((0, T) \times \Omega), \\ u|_{\partial\Omega} = 0 \text{ p.p. } t \in [0, T], & u(0) = u_0 \text{ dans } \Omega, \\ \theta \in L^\infty((0, T) \times \Omega; [0, 1]), \int_{\Omega} \theta(t, \boldsymbol{x}) \, dx = L|\Omega| \text{ p.p. } t \in (0, T). \end{cases}$$

est une relaxation de (P_t) au sens suivant :

- (i) Il existe au moins un minimum pour (RP_t) ,
- (ii) l'infimum de (VP_t) est égal au minimum de (RP_t) , et
- (iii) la mesure de Young associée à (RP_t) (et donc la micro-structure optimale de (VP_t)) peut être déterminée sous la forme d'un laminé du premier ordre dont la direction est explicite en terme de la solution optimale de (RP_t) .

$$\begin{aligned}
 (P_t) \quad \text{Minimiser en } \boldsymbol{\chi} : \quad J_t(\boldsymbol{\chi}) &= \frac{1}{2} \int_0^T \int_{\Omega} K(t, \boldsymbol{x}) \nabla u(t, \boldsymbol{x}) \cdot \nabla u(t, \boldsymbol{x}) \, dx dt \\
 \left\{ \begin{array}{ll} (\beta(t, \boldsymbol{x}) u(t, \boldsymbol{x}))' - \operatorname{div} (K(t, \boldsymbol{x}) \nabla u(t, \boldsymbol{x})) = f(t, \boldsymbol{x}) & \text{dans } (0, T) \times \Omega, \\ u = 0 & \text{sur } (0, T) \times \partial\Omega, \\ u(0, \boldsymbol{x}) = u_0(\boldsymbol{x}) & \text{dans } \Omega, \end{array} \right. \quad (88)
 \end{aligned}$$

avec

$$\beta(t, \boldsymbol{x}) = \boldsymbol{\chi}(t, \boldsymbol{x}) \beta_1 + (1 - \boldsymbol{\chi}(t, \boldsymbol{x})) \beta_2, \quad K(t, \boldsymbol{x}) = \boldsymbol{\chi}(t, \boldsymbol{x}) k_1 I_N + (1 - \boldsymbol{\chi}(t, \boldsymbol{x})) k_2 I_N,$$

Théorème (AM, Pedregal, Periago, JMPA 2008)

$$(RP_t) \quad \text{Minimiser en } (\theta, \bar{G}, u) : \quad \bar{J}_t(\theta, \bar{G}, u) = \frac{1}{2} \int_0^T \int_{\Omega} \left[k_1 \frac{|\bar{G} - k_2 \nabla u|^2}{\theta (k_1 - k_2)^2} + k_2 \frac{|\bar{G} - k_1 \nabla u|^2}{(1 - \theta) (k_2 - k_1)^2} \right] dx dt$$

$$\left\{ \begin{array}{ll} G \in L^2((0, T) \times \Omega; \mathbb{R}^{N+1}), & u \in H^1((0, T) \times \Omega; \mathbb{R}), \\ ((\theta \beta_1 + (1 - \theta) \beta_2) u)' - \operatorname{div} \bar{G} = 0 & \text{dans } H^{-1}((0, T) \times \Omega), \\ u|_{\partial\Omega} = 0 \text{ p.p. } t \in [0, T], & u(0) = u_0 \text{ dans } \Omega, \\ \theta \in L^\infty((0, T) \times \Omega; [0, 1]), \quad \int_{\Omega} \theta(t, \boldsymbol{x}) \, dx = L|\Omega| \text{ p.p. } t \in (0, T). \end{array} \right.$$

est une relaxation de (P_t) au sens suivant :

- (i) Il existe au moins un minimum pour (RP_t) ,
- (ii) l'infimum de (VP_t) est égal au minimum de (RP_t) , et
- (iii) la mesure de Young associée à (RP_t) (et donc la micro-structure optimale de (VP_t)) peut être déterminée sous la forme d'un laminé du premier ordre dont la direction est explicite en terme de la solution optimale de (RP_t) .

$$\begin{aligned}
 (P_t) \quad \text{Minimiser en } \boldsymbol{\chi} : \quad J_t(\boldsymbol{\chi}) &= \frac{1}{2} \int_0^T \int_{\Omega} K(t, \boldsymbol{x}) \nabla u(t, \boldsymbol{x}) \cdot \nabla u(t, \boldsymbol{x}) \, dx dt \\
 \left\{ \begin{array}{ll} (\beta(t, \boldsymbol{x})u(t, \boldsymbol{x}))' - \operatorname{div}(K(t, \boldsymbol{x}) \nabla u(t, \boldsymbol{x})) = f(t, \boldsymbol{x}) & \text{dans } (0, T) \times \Omega, \\ u = 0 & \text{sur } (0, T) \times \partial\Omega, \\ u(0, \boldsymbol{x}) = u_0(\boldsymbol{x}) & \text{dans } \Omega, \end{array} \right. \quad (88)
 \end{aligned}$$

avec

$$\beta(t, \boldsymbol{x}) = \boldsymbol{\chi}(t, \boldsymbol{x}) \beta_1 + (1 - \boldsymbol{\chi}(t, \boldsymbol{x})) \beta_2, \quad K(t, \boldsymbol{x}) = \boldsymbol{\chi}(t, \boldsymbol{x}) k_1 l_N + (1 - \boldsymbol{\chi}(t, \boldsymbol{x})) k_2 l_N,$$

Théorème (AM, Pedregal, Periago, JMPA 2008)

$$(RP_t) \quad \text{Minimiser en } (\theta, \bar{G}, u) : \quad \bar{J}_t(\theta, \bar{G}, u) = \frac{1}{2} \int_0^T \int_{\Omega} \left[k_1 \frac{|\bar{G} - k_2 \nabla u|^2}{\theta (k_1 - k_2)^2} + k_2 \frac{|\bar{G} - k_1 \nabla u|^2}{(1 - \theta) (k_2 - k_1)^2} \right] dx dt$$

$$\left\{ \begin{array}{ll} G \in L^2((0, T) \times \Omega; \mathbb{R}^{N+1}), & u \in H^1((0, T) \times \Omega; \mathbb{R}), \\ ((\theta \beta_1 + (1 - \theta) \beta_2) u)' - \operatorname{div} \bar{G} = 0 & \text{dans } H^{-1}((0, T) \times \Omega), \\ u|_{\partial\Omega} = 0 \text{ p.p. } t \in [0, T], & u(0) = u_0 \text{ dans } \Omega, \\ \theta \in L^\infty((0, T) \times \Omega; [0, 1]), \quad \int_{\Omega} \theta(t, \boldsymbol{x}) \, dx = L|\Omega| \text{ p.p. } t \in (0, T). \end{array} \right.$$

est une relaxation de (P_t) au sens suivant :

- (i) Il existe au moins un minimum pour (RP_t) ,
- (ii) l'infimum de (VP_t) est égal au minimum de (RP_t) , et
- (iii) la mesure de Young associée à (RP_t) (et donc la micro-structure optimale de (VP_t)) peut être déterminée sous la forme d'un laminé du premier ordre dont la direction est explicite en terme de la solution optimale de (RP_t) .

[AM 06,07,08] [Asch-Lebeau 99], [Chambolle-Santosa 03], [Periago 09]

- Soient $\Omega \subset \mathbb{R}^N$, $N = 1, 2$, $(u^0, u^1) \in H_0^1(\Omega) \times L^2(\Omega)$, $L \in (0, 1)$, $T > 0$

$$(P_\omega^4) : \inf_{\mathcal{X}_\omega} \|v_\omega\|_{L^2(\omega \times (0, T))}^2 \quad (89)$$

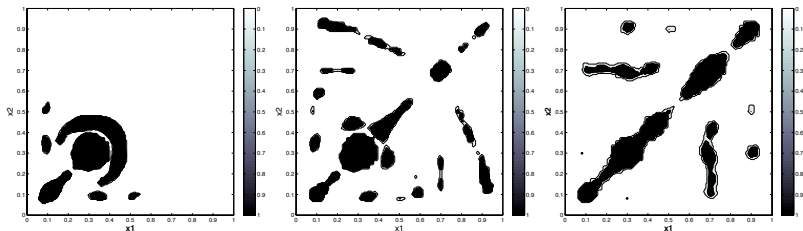
où v_ω est un nul contrôle supporté dans $(0, T) \times \omega$ pour

$$\begin{cases} u_{tt} - \Delta u = v_\omega \mathcal{X}_\omega & (0, T) \times \Omega, \\ u = 0 & (0, T) \times \partial\Omega, \\ u(0, \cdot) = u^0, \quad u_t(0, \cdot) = u^1 & \{0\} \times \Omega \end{cases} \quad (90)$$

et soumis à

$$\begin{cases} \text{Le système (90) peut être observé de } & (0, T) \times \omega, \\ \|\mathcal{X}_\omega\|_{L^1(\Omega)} \leq L \|\mathcal{X}_\Omega\|_{L^1(\Omega)} & \end{cases} \quad (91)$$

Soient $\Omega = (0, 1)^2$ et $(u^0, u^1) = (e^{-80(x_1 - 0.3)^2 - 80(x_2 - 0.3)^2}, 0)$ et $L = 1/10$



Iso-valeurs de la densité optimale s sur Ω pour $T = 0.5, T = 1, T = 3$.

- $\{x \in \Omega, 0 < s(x) < 1\} = \emptyset, (RP_\omega^4) \equiv (P_\omega^4)$ et **est bien posé**.

[Ph. Destuynder 87,88,89]

- Soit $\omega \subset \Omega \in \mathbb{R}^2$, $0 < \alpha \leq \beta$, $u_0 \in H^{1/2}(\Gamma_0)$, $g \in L^2(\Gamma_g)$ et u solution de

$$\begin{cases} -\operatorname{div}(a_{\mathcal{X}\omega} \nabla u) = 0, & a_{\mathcal{X}\omega} = \alpha \mathcal{X}\omega + \beta(1 - \mathcal{X}\omega) & \Omega, \\ u = u_0 & & \Gamma_0 \subset \partial\Omega, \\ \beta \nabla u \cdot \nu = g & & \Gamma_g \subset \partial\Omega. \end{cases} \quad (92)$$

- Pour tout $L \in (0, 1)$, le problème d'optimisation est

$$(P) : \quad \inf_{\mathcal{X}\omega \in \mathcal{X}_L} g_{\psi}(u, \mathcal{X}\omega) = \int_{\Omega} a_{\mathcal{X}\omega}(x) (A_{\psi}(x) \nabla u, \nabla u) dx, \quad A_{\psi} = \frac{1}{2} \begin{pmatrix} \psi_{1,1} & 2\psi_{1,2} \\ 0 & -\psi_{1,1} \end{pmatrix},$$

$$\mathcal{X}_L = \{\mathcal{X} \in L^{\infty}(\Omega, \{0, 1\}), \mathcal{X} = 0 \text{ sur } \mathcal{D} \cup \partial\Omega, \|\mathcal{X}\|_{L^1(\Omega)} = L|\Omega|\}$$
(93)

g_{ψ} - Taux de restitution de l'énergie

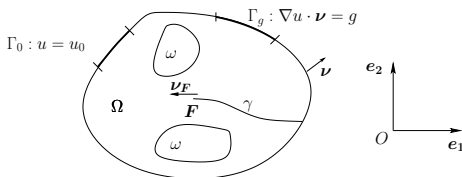


Figure: Structure fissurée soumise à un chargement frontière sur Γ_0 - Optimisation de la distribution des deux matériaux de caractéristique α et β supporté sur $\omega \subset \Omega$ et Ω/ω respectivement.

[Ph. Destuynder 87,88,89]

- Soit $\omega \subset \Omega \in \mathbb{R}^2$, $0 < \alpha \leq \beta$, $u_0 \in H^{1/2}(\Gamma_0)$, $g \in L^2(\Gamma_g)$ et u solution de

$$\begin{cases} -\operatorname{div}(a_{\mathcal{X}_\omega} \nabla u) = 0, & a_{\mathcal{X}_\omega} = \alpha \mathcal{X}_\omega + \beta(1 - \mathcal{X}_\omega) & \Omega, \\ u = u_0 & & \Gamma_0 \subset \partial\Omega, \\ \beta \nabla u \cdot \nu = g & & \Gamma_g \subset \partial\Omega. \end{cases} \quad (92)$$

- Pour tout $L \in (0, 1)$, le problème d'optimisation est

$$(P) : \quad \mathcal{X}_\omega \inf_{\mathcal{X}_L} g_\psi(u, \mathcal{X}_\omega) = \int_{\Omega} a_{\mathcal{X}_\omega}(x) (A_\psi(x) \nabla u, \nabla u) dx, \quad A_\psi = \frac{1}{2} \begin{pmatrix} \psi_{1,1} & 2\psi_{1,2} \\ 0 & -\psi_{1,1} \end{pmatrix},$$

$$\mathcal{X}_L = \{\mathcal{X} \in L^\infty(\Omega, \{0, 1\}), \mathcal{X} = 0 \text{ sur } \mathcal{D} \cup \partial\Omega, \|\mathcal{X}\|_{L^1(\Omega)} = L|\Omega|\}$$
(93)

g_ψ - Taux de restitution de l'énergie

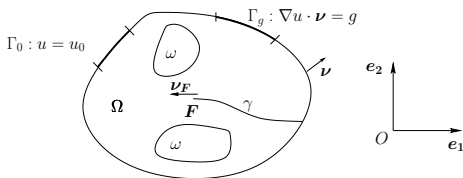


Figure: Structure fissurée soumise à un chargement frontière sur Γ_0 - Optimisation de la distribution des deux matériaux de caractéristique α et β supporté sur $\omega \subset \Omega$ et Ω/ω respectivement.

Théorème (AM, Pedregal)

Le problème suivant

$$(RP) : \min_{s,t} I(s, t) = \int_{\Omega} g_{\psi}(\bar{u}, s) dx \quad (94)$$

soumis à

$$\begin{cases} s \in L^{\infty}(\Omega, [0, 1]), s = 0 \text{ dans } \mathcal{D} \cup \partial\Omega, \|s\|_{L^1(\Omega)} = L|\Omega|, \\ t \in L^{\infty}(\Omega, \mathbb{R}^2), |t| = 1, \end{cases} \quad (95)$$

où $\bar{u} = \bar{u}(s, t)$ est solution du problème **non linéaire**

$$\begin{cases} \operatorname{div}(A(s)\nabla\bar{u} + B(s)|\nabla\bar{u}|t) = 0, & \text{dans } \Omega, \\ \bar{u} = u_0, & \text{sur } \Gamma_0, \\ \beta\nabla\bar{u} \cdot \nu = g, & \text{sur } \Gamma_g. \end{cases} \quad (96)$$

$$A(s) = \frac{\lambda^+(s) + \lambda^-(s)}{2} = \frac{2\alpha\beta + s(1-s)(\beta - \alpha)^2}{2(\alpha(1-s) + \beta s)}, \quad B(s) = \frac{\lambda^+(s) - \lambda^-(s)}{2} = \frac{s(1-s)(\beta - \alpha)^2}{2(\alpha(1-s) + \beta s)}. \quad (97)$$

est une relaxation du problème original (P).

Remarque

Si $s \in \{0, 1\}$, alors $A(s) = \alpha s + \beta(1-s) = a_{\mathcal{X}_{\omega}}$, $B(s) = 0$ et $u \equiv \bar{u}$.

Théorème (AM, Pedregal)

Le problème suivant

$$(RP) : \min_{s,t} I(s, t) = \int_{\Omega} g_{\psi}(\bar{u}, s) dx \quad (94)$$

soumis à

$$\begin{cases} s \in L^{\infty}(\Omega, [0, 1]), s = 0 \text{ dans } \mathcal{D} \cup \partial\Omega, \|s\|_{L^1(\Omega)} = L|\Omega|, \\ t \in L^{\infty}(\Omega, \mathbb{R}^2), |t| = 1, \end{cases} \quad (95)$$

où $\bar{u} = \bar{u}(s, t)$ est solution du problème *non linéaire*

$$\begin{cases} \operatorname{div}(A(s)\nabla\bar{u} + B(s)|\nabla\bar{u}|t) = 0, & \text{dans } \Omega, \\ \bar{u} = u_0, & \text{sur } \Gamma_0, \\ \beta\nabla\bar{u} \cdot \nu = g, & \text{sur } \Gamma_g. \end{cases} \quad (96)$$

$$A(s) = \frac{\lambda^+(s) + \lambda^-(s)}{2} = \frac{2\alpha\beta + s(1-s)(\beta - \alpha)^2}{2(\alpha(1-s) + \beta s)}, \quad B(s) = \frac{\lambda^+(s) - \lambda^-(s)}{2} = \frac{s(1-s)(\beta - \alpha)^2}{2(\alpha(1-s) + \beta s)}. \quad (97)$$

est une relaxation du problème originel (P).

Remarque

Si $s \in \{0, 1\}$, alors $A(s) = \alpha s + \beta(1-s) = a_{\mathcal{X}_{\omega}}$, $B(s) = 0$ et $u \equiv \bar{u}$.

$$\Omega = (0, 1), \quad \gamma = [0.5, 1] \times \{1/2\}, \quad L = 2/5, \quad u = 0 \text{ sur } \{0\} \times [0, 1], \quad u = 1/2 \text{ sur } [0.5, 0.8] \times \{1\} \quad (98)$$

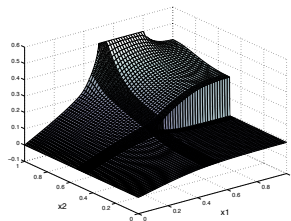
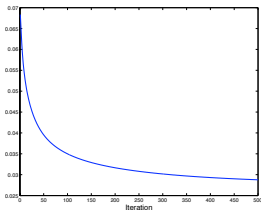


Figure: $(\alpha, \beta) = (1, 2)$ - $I(s^{(k)}, t^{(k)})$ vs. k (gauche) et solution u correspondante sur Ω (droite).

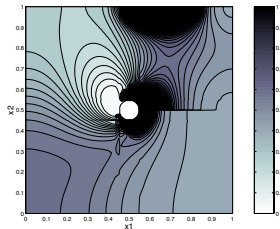
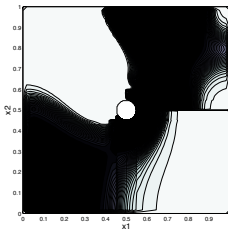


Figure: Iso-valeurs de la densité optimale : $(\alpha, \beta) = (1, 2)$ et $(\alpha, \beta) = (1, 10)$.

[Hild, AM, Ousset, CMAME 09]

Minimisation du taux par rapport à une contre-force frontière h :

$$\inf_{h \in L^2(\partial\Omega)} g_\psi(u, G), \quad G = g\chi_{\Gamma_g} + h\chi_{\Gamma_h}, \Gamma_h \subset \partial\Omega / (\gamma \cup \Gamma_g) \quad (99)$$

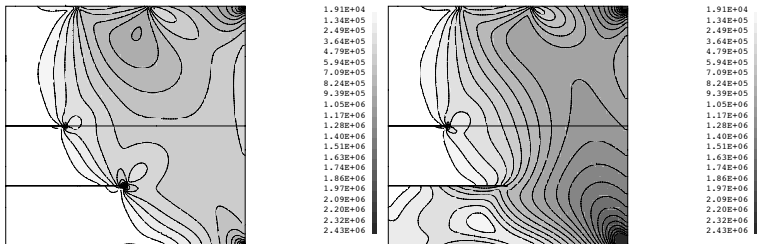


Figure: Iso-valeurs des contraintes de Von Mises sur Ω - sans contre-force : $g_\psi(\mathbf{u}, \mathbf{h}, 0) \approx 0.232N/m$; avec contre-force : $g_\psi(\mathbf{u}, \mathbf{h}^{opt}, \chi_{\Gamma_h}) \approx 0.0556N/m$.

Partie III : En cours / Perspectives

Approximation du contrôle pour l'équation de la chaleur

[En cours avec F. Hubert et F. Boyer dans le cadre de l'ANR CoNum]

- Soient $c > 0$, $\Omega \subset \mathbb{R}^N$, $\omega \in \Omega$, $T > 0$. Pour toute trajectoire y_T , il existe un contrôle $u \in L^2((0, T) \times \omega)$ tel que y solution de

$$\begin{cases} y' - c\Delta y = \chi_\omega u & (0, T) \times \Omega, \\ y = 0 & (0, T) \times \partial\Omega, \\ y(0, \cdot) = 0 & \{0\} \times \Omega \end{cases} \quad \text{vérifie} \quad y(T, \cdot) = y_T \quad (100)$$

- En 1-D, la constante d'observabilité $C(h) = \sup_{\phi_h} \frac{\|\phi_h(\cdot, 0)\|^2}{\int_0^T \int_\omega \phi_h^2(t, x) dx dt}$ est uniformément bornée.
- mais $\text{cond}(\Lambda_h) \leq C(h)h^{-2} \sup_{\phi_h} \frac{\int_0^T \int_\omega \phi_h^2(t, x) dx dt}{\|\phi_h(0, \cdot)\|^2}$ se comporte en $\exp(1/h)$

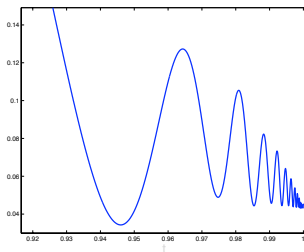
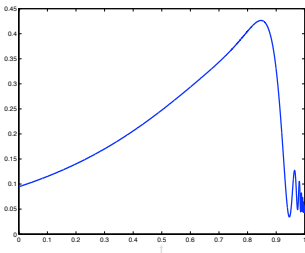


Figure: $\Omega = (0, 1) - \omega = (0.2, 0.8) - \|u(t, \cdot)\|_{L^2(\omega)}$ vs $t \in [0, T] - T = 1 - y_T(x) = e^{-c\pi^2 T} \sin(\pi x)$

$$\Rightarrow y' - y_{xx} + h^\alpha y'_{xx} = 0, \alpha \in (1, 2]$$

Approximation du contrôle pour l'équation de la chaleur

[En cours avec F. Hubert et F. Boyer dans le cadre de l'ANR CoNum]

- Soient $c > 0$, $\Omega \subset \mathbb{R}^N$, $\omega \in \Omega$, $T > 0$. Pour toute trajectoire y_T , il existe un contrôle $u \in L^2((0, T) \times \omega)$ tel que y solution de

$$\begin{cases} y' - c\Delta y = \chi_\omega u & (0, T) \times \Omega, \\ y = 0 & (0, T) \times \partial\Omega, \\ y(0, \cdot) = 0 & \{0\} \times \Omega \end{cases} \quad \text{vérifie} \quad y(T, \cdot) = y_T \quad (100)$$

- En 1-D, la constante d'observabilité $C(h) = \sup_{\phi_h} \frac{\|\phi_h(\cdot, 0)\|^2}{\int_0^T \int_\omega \phi_h^2(t, x) dx dt}$ est uniformément bornée.
- mais $\text{cond}(\Lambda_h) \leq C(h)h^{-2} \sup_{\phi_h} \frac{\int_0^T \int_\omega \phi_h^2(t, x) dx dt}{\|\phi_h(0, \cdot)\|^2}$ se comporte en $\exp(1/h)$

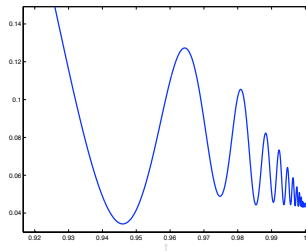
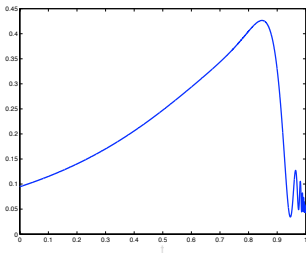


Figure: $\Omega = (0, 1) - \omega = (0.2, 0.8) - \|u(t, \cdot)\|_{L^2(\omega)}$ vs $t \in [0, T] - T = 1 - y_T(x) = e^{-c\pi^2 T} \sin(\pi x)$

$$\Rightarrow y' - y_{xx} + h^\alpha y'_{xx} = 0, \alpha \in (1, 2]$$

Approximation du contrôle pour l'équation de la chaleur

[En cours avec F. Hubert et F. Boyer dans le cadre de l'ANR CoNum]

- Soient $c > 0$, $\Omega \subset \mathbb{R}^N$, $\omega \in \Omega$, $T > 0$. Pour toute trajectoire y_T , il existe un contrôle $u \in L^2((0, T) \times \omega)$ tel que y solution de

$$\begin{cases} y' - c\Delta y = \chi_\omega u & (0, T) \times \Omega, \\ y = 0 & (0, T) \times \partial\Omega, \\ y(0, \cdot) = 0 & \{0\} \times \Omega \end{cases} \quad \text{vérifie} \quad y(T, \cdot) = y_T \quad (100)$$

- En 1-D, la constante d'observabilité $C(h) = \sup_{\phi_h} \frac{\|\phi_h(\cdot, 0)\|^2}{\int_0^T \int_\omega \phi_h^2(t, x) dx dt}$ est uniformément bornée.
- mais $\text{cond}(\Lambda_h) \leq C(h)h^{-2} \sup_{\phi_h} \frac{\int_0^T \int_\omega \phi_h^2(t, x) dx dt}{\|\phi_h(0, \cdot)\|^2}$ se comporte en $\exp(1/h)$

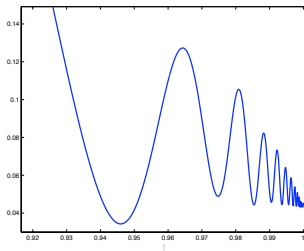
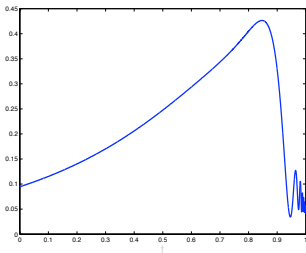


Figure: $\Omega = (0, 1) - \omega = (0.2, 0.8) - \|u(t, \cdot)\|_{L^2(\omega)}$ vs $t \in [0, T] - T = 1 - y_T(x) = e^{-c\pi^2 T} \sin(\pi x)$

$$\Rightarrow y' - y_{xx} + h^\alpha y'_{xx} = 0, \alpha \in (1, 2]$$

Approximation du contrôle pour l'équation de la chaleur

[En cours avec F. Hubert et F. Boyer dans le cadre de l'ANR CoNum]

- Soient $c > 0$, $\Omega \subset \mathbb{R}^N$, $\omega \in \Omega$, $T > 0$. Pour toute trajectoire y_T , il existe un contrôle $u \in L^2((0, T) \times \omega)$ tel que y solution de

$$\begin{cases} y' - c\Delta y = \chi_\omega u & (0, T) \times \Omega, \\ y = 0 & (0, T) \times \partial\Omega, \\ y(0, \cdot) = 0 & \{0\} \times \Omega \end{cases} \quad \text{vérifie} \quad y(T, \cdot) = y_T \quad (100)$$

- En 1-D, la constante d'observabilité $C(h) = \sup_{\phi_h} \frac{\|\phi_h(\cdot, 0)\|^2}{\int_0^T \int_\omega \phi_h^2(t, x) dx dt}$ est uniformément bornée.
- mais $\text{cond}(\Lambda_h) \leq C(h)h^{-2} \sup_{\phi_h} \frac{\int_0^T \int_\omega \phi_h^2(t, x) dx dt}{\|\phi_h(0, \cdot)\|^2}$ se comporte en $\exp(1/h)$

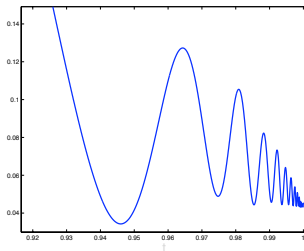
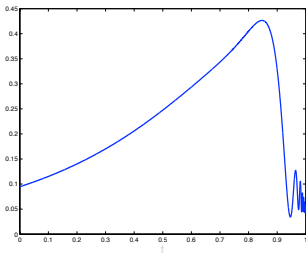


Figure: $\Omega = (0, 1) - \omega = (0.2, 0.8) - \|u(t, \cdot)\|_{L^2(\omega)}$ vs $t \in [0, T] - T = 1 - y_T(x) = e^{-c\pi^2 T} \sin(\pi x)$

$$\Rightarrow y' - y_{xx} + h^\alpha y'_{xx} = 0, \alpha \in (1, 2]$$

Approximation du contrôle pour l'équation de la chaleur

[En cours avec F. Hubert et F. Boyer dans le cadre de l'ANR CoNum]

- Soient $c > 0$, $\Omega \subset \mathbb{R}^N$, $\omega \in \Omega$, $T > 0$. Pour toute trajectoire y_T , il existe un contrôle $u \in L^2((0, T) \times \omega)$ tel que y solution de

$$\begin{cases} y' - c\Delta y = \chi_\omega u & (0, T) \times \Omega, \\ y = 0 & (0, T) \times \partial\Omega, \\ y(0, \cdot) = 0 & \{0\} \times \Omega \end{cases} \quad \text{vérifie} \quad y(T, \cdot) = y_T \quad (100)$$

- En 1-D, la constante d'observabilité $C(h) = \sup_{\phi_h} \frac{\|\phi_h(\cdot, 0)\|^2}{\int_0^T \int_\omega \phi_h^2(t, x) dx dt}$ est uniformément bornée.
- mais $\text{cond}(\Lambda_h) \leq C(h)h^{-2} \sup_{\phi_h} \frac{\int_0^T \int_\omega \phi_h^2(t, x) dx dt}{\|\phi_h(0, \cdot)\|^2}$ se comporte en $\exp(1/h)$

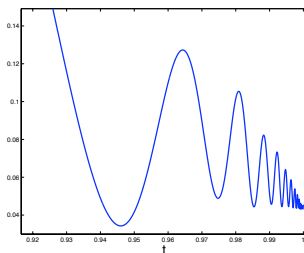
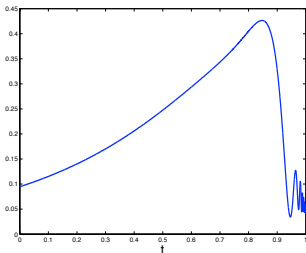


Figure: $\Omega = (0, 1) - \omega = (0.2, 0.8) - \|u(t, \cdot)\|_{L^2(\Omega)}$ vs $t \in [0, T] - T = 1 - y_T(x) = e^{-c\pi^2 T} \sin(\pi x)$

$$\Rightarrow y' - y_{xx} + h^\alpha y'_{xx} = 0, \alpha \in (1, 2]$$

[En cours avec F. Ammar-Khodja, G. Geymonat et K. Mauffrey]

$\omega = (0, 1)^2$, $(\xi_1, \xi_2) \in \omega$ - Deux contrôles $y_\alpha = v_\alpha$ pour les trois composantes de $\mathbf{y} = (y_1, y_2, y_3)$.

$$\mathbf{A}_M \mathbf{y} = \begin{pmatrix} -a^{1111}(y_{1,11} + r^{-1} \mathbf{y}_{3,1}) - a^{1212} y_{1,22} - (a^{1212} + a^{1122}) y_{2,21} \\ -a^{1212} y_{2,11} - a^{2222} y_{2,22} - (a^{2211} + a^{1212}) y_{1,12} - a^{2211} r^{-1} \mathbf{y}_{3,2} \\ r^{-1} (a^{1111} (y_{1,1} + r^{-1} \mathbf{y}_3) + a^{2211} y_{2,2}) \end{pmatrix}; \quad \mathbf{A}_M = \begin{pmatrix} \mathbf{A} & \mathbf{B} \\ \mathbf{B}^* & a^{1111} r^{-2} \mathbf{I} \end{pmatrix}. \quad (101)$$

$$a^{1111} = a^{2222} = \frac{8\mu(\lambda + \mu)}{\lambda + 2\mu}; \quad a^{1122} = a^{2211} = \frac{4\lambda\mu}{\lambda + 2\mu}, \quad a^{1212} = 2\mu \quad (102)$$

- $\text{Ker} \mathbf{A}_M = \{\phi \in \mathbf{V} = H_0^1(\omega) \times H_0^1(\omega) \times L^2(\omega), \phi_{1,1} + r^{-1} \phi_3 = 0, \phi_{2,2} = 0, \phi_{1,2} + \phi_{2,1} = 0\} = \{\mathbf{0}\}$
- $\sigma_{\text{ess}}(\mathbf{A}_M) = [0, \frac{2(3\lambda+2\mu)\mu}{\lambda+\mu} r^{-2}] \neq \emptyset \implies$ Non contrôlabilité uniforme dans $(L^2(\omega))^3 \times V'$
- $a^{1111} r^{-2} \in \sigma(\mathbf{A}_M) \setminus \sigma_{\text{ess}}(\mathbf{A}_M)$ associée à la fonction propre $(0, 0, 1)$
- $\lambda \in \sigma(\mathbf{A}_M)$ tel que $\lambda \neq a^{1111} r^{-2}$ vérifient

$$\left(\mathbf{A} + \frac{r^{-2}}{\lambda - a^{1111} r^{-2}} \mathbf{B} \mathbf{B}^* \right) (\phi_1, \phi_2) = \lambda (\phi_1, \phi_2), \quad (\phi_1, \phi_2) \in H_0^1(\omega) \times H_0^1(\omega) \quad (103)$$

[En cours avec F. Ammar-Khodja, G. Geymonat et K. Mauffrey]

$\omega = (0, 1)^2$, $(\xi_1, \xi_2) \in \omega$ - Deux contrôles $y_\alpha = v_\alpha$ pour les trois composantes de $\mathbf{y} = (y_1, y_2, y_3)$.

$$\mathbf{A}_M \mathbf{y} = \begin{pmatrix} -a^{1111}(y_{1,11} + r^{-1} \mathbf{y}_{3,1}) - a^{1212} y_{1,22} - (a^{1212} + a^{1122}) y_{2,21} \\ -a^{1212} y_{2,11} - a^{2222} y_{2,22} - (a^{2211} + a^{1212}) y_{1,12} - a^{2211} r^{-1} \mathbf{y}_{3,2} \\ r^{-1} (a^{1111} (y_{1,1} + r^{-1} \mathbf{y}_3) + a^{2211} y_{2,2}) \end{pmatrix}; \quad \mathbf{A}_M = \begin{pmatrix} \mathbf{A} & \mathbf{B} \\ \mathbf{B}^* & a^{1111} r^{-2} \mathbf{I} \end{pmatrix}. \quad (101)$$

$$a^{1111} = a^{2222} = \frac{8\mu(\lambda + \mu)}{\lambda + 2\mu}; \quad a^{1122} = a^{2211} = \frac{4\lambda\mu}{\lambda + 2\mu}, \quad a^{1212} = 2\mu \quad (102)$$

- $\text{Ker} \mathbf{A}_M = \{\phi \in \mathbf{V} = H_0^1(\omega) \times H_0^1(\omega) \times L^2(\omega), \phi_{1,1} + r^{-1} \phi_3 = 0, \phi_{2,2} = 0, \phi_{1,2} + \phi_{2,1} = 0\} = \{\mathbf{0}\}$
- $\sigma_{\text{ess}}(\mathbf{A}_M) = [0, \frac{2(3\lambda+2\mu)\mu}{\lambda+\mu} r^{-2}] \neq \emptyset \implies$ Non contrôlabilité uniforme dans $(L^2(\omega))^3 \times \mathbf{V}'$
- $a^{1111} r^{-2} \in \sigma(\mathbf{A}_M) \setminus \sigma_{\text{ess}}(\mathbf{A}_M)$ associée à la fonction propre $(0, 0, 1)$
- $\lambda \in \sigma(\mathbf{A}_M)$ tel que $\lambda \neq a^{1111} r^{-2}$ vérifie

$$\left(\mathbf{A} + \frac{r^{-2}}{\lambda - a^{1111} r^{-2}} \mathbf{B} \mathbf{B}^* \right) (\phi_1, \phi_2) = \lambda (\phi_1, \phi_2), \quad (\phi_1, \phi_2) \in H_0^1(\omega) \times H_0^1(\omega) \quad (103)$$

[En cours avec F. Ammar-Khodja, G. Geymonat et K. Mauffrey]

$\omega = (0, 1)^2$, $(\xi_1, \xi_2) \in \omega$ - Deux contrôles $y_\alpha = v_\alpha$ pour les trois composantes de $\mathbf{y} = (y_1, y_2, y_3)$.

$$\mathbf{A}_M \mathbf{y} = \begin{pmatrix} -a^{1111}(y_{1,11} + r^{-1} \mathbf{y}_{3,1}) - a^{1212} y_{1,22} - (a^{1212} + a^{1122}) y_{2,21} \\ -a^{1212} y_{2,11} - a^{2222} y_{2,22} - (a^{2211} + a^{1212}) y_{1,12} - a^{2211} r^{-1} \mathbf{y}_{3,2} \\ r^{-1}(a^{1111}(y_{1,1} + r^{-1} \mathbf{y}_3) + a^{2211} y_{2,2}) \end{pmatrix}; \quad \mathbf{A}_M = \begin{pmatrix} \mathbf{A} & \mathbf{B} \\ \mathbf{B}^* & a^{1111} r^{-2} \mathbf{I} \end{pmatrix}. \quad (101)$$

$$a^{1111} = a^{2222} = \frac{8\mu(\lambda + \mu)}{\lambda + 2\mu}; \quad a^{1122} = a^{2211} = \frac{4\lambda\mu}{\lambda + 2\mu}, \quad a^{1212} = 2\mu \quad (102)$$

- $\text{Ker} \mathbf{A}_M = \{\phi \in \mathbf{V} = H_0^1(\omega) \times H_0^1(\omega) \times L^2(\omega), \phi_{1,1} + r^{-1} \phi_3 = 0, \phi_{2,2} = 0, \phi_{1,2} + \phi_{2,1} = 0\} = \{\mathbf{0}\}$
- $\sigma_{\text{ess}}(\mathbf{A}_M) = [0, \frac{2(3\lambda+2\mu)\mu}{\lambda+\mu} r^{-2}] \neq \emptyset \implies$ Non contrôlabilité uniforme dans $(L^2(\omega))^3 \times \mathbf{V}'$
- $a^{1111} r^{-2} \in \sigma(\mathbf{A}_M) \setminus \sigma_{\text{ess}}(\mathbf{A}_M)$ associée à la fonction propre $(0, 0, 1)$
- $\lambda \in \sigma(\mathbf{A}_M)$ tel que $\lambda \neq a^{1111} r^{-2}$ vérifient

$$\left(\mathbf{A} + \frac{r^{-2}}{\lambda - a^{1111} r^{-2}} \mathbf{B} \mathbf{B}^* \right) (\phi_1, \phi_2) = \lambda (\phi_1, \phi_2), \quad (\phi_1, \phi_2) \in H_0^1(\omega) \times H_0^1(\omega) \quad (103)$$

[En cours avec F. Ammar-Khodja, G. Geymonat et K. Mauffrey]

$\omega = (0, 1)^2, (\xi_1, \xi_2) \in \omega$ - Deux contrôles $y_\alpha = v_\alpha$ pour les trois composantes de $\mathbf{y} = (y_1, y_2, y_3)$.

$$\mathbf{A}_M \mathbf{y} = \begin{pmatrix} -a^{1111}(y_{1,11} + r^{-1} \mathbf{y}_{3,1}) - a^{1212} y_{1,22} - (a^{1212} + a^{1122}) y_{2,21} \\ -a^{1212} y_{2,11} - a^{2222} y_{2,22} - (a^{2211} + a^{1212}) y_{1,12} - a^{2211} r^{-1} \mathbf{y}_{3,2} \\ r^{-1}(a^{1111}(y_{1,1} + r^{-1} \mathbf{y}_3) + a^{2211} y_{2,2}) \end{pmatrix}; \quad \mathbf{A}_M = \begin{pmatrix} \mathbf{A} & \mathbf{B} \\ \mathbf{B}^* & a^{1111} r^{-2} \mathbf{I} \end{pmatrix}. \quad (101)$$

$$a^{1111} = a^{2222} = \frac{8\mu(\lambda + \mu)}{\lambda + 2\mu}; \quad a^{1122} = a^{2211} = \frac{4\lambda\mu}{\lambda + 2\mu}, \quad a^{1212} = 2\mu \quad (102)$$

- $\text{Ker} \mathbf{A}_M = \{\phi \in \mathbf{V} = H_0^1(\omega) \times H_0^1(\omega) \times L^2(\omega), \phi_{1,1} + r^{-1} \phi_3 = 0, \phi_{2,2} = 0, \phi_{1,2} + \phi_{2,1} = 0\} = \{\mathbf{0}\}$
- $\sigma_{\text{ess}}(\mathbf{A}_M) = [0, \frac{2(3\lambda+2\mu)\mu}{\lambda+\mu} r^{-2}] \neq \emptyset \implies$ Non contrôlabilité uniforme dans $(L^2(\omega))^3 \times \mathbf{V}'$
- $a^{1111} r^{-2} \in \sigma(\mathbf{A}_M) \setminus \sigma_{\text{ess}}(\mathbf{A}_M)$ associée à la fonction propre $(0, 0, 1)$
- $\lambda \in \sigma(\mathbf{A}_M)$ tel que $\lambda \neq a^{1111} r^{-2}$ vérifie

$$\left(\mathbf{A} + \frac{r^{-2}}{\lambda - a^{1111} r^{-2}} \mathbf{B} \mathbf{B}^* \right) (\phi_1, \phi_2) = \lambda (\phi_1, \phi_2), \quad (\phi_1, \phi_2) \in H_0^1(\omega) \times H_0^1(\omega) \quad (103)$$

Est-il possible d'éliminer le spectre essentiel en agissant sur la distribution de deux matériaux dans ω ??????

$$(\lambda(\boldsymbol{\xi}), \mu(\boldsymbol{\xi})) = (\lambda_\alpha, \mu_\alpha)\mathcal{X}_O(\boldsymbol{\xi}) + (\lambda_\beta, \mu_\beta)(1 - \mathcal{X}_O(\boldsymbol{\xi})), \quad \boldsymbol{\xi} \in \omega, \quad O \subset \omega$$

$$\inf_{O \subset \omega} \sup_{\phi^0, \phi^1} \frac{\|\phi^0, \phi^1\|_{V \times H}^2}{\int_0^T \int_{\partial\omega} b_M(\phi, \phi) d\sigma dt} \quad (104)$$

[en cours avec F. Ammar-Khodja et S. Micu]

Contrôlabilité exacte en $x = 0$ d'une corde soumise à un obstacle en $x = 1$

$$\left\{ \begin{array}{l} y'' - y_{xx} = 0 \\ y(t, 0) = u(t) \\ y(t, 1) \geq \psi(t), \quad y_x(t, 1) \geq 0, \quad (y(t, 1) - \psi(t))y_x(t, 1) = 0 \\ y(0, x) = y^0(x), \quad y'(0, x) = y^1(x) \end{array} \right. \quad \begin{array}{l} (t, x) \in (0, T) \times (0, 1), \\ t \in (0, T), \\ t \in (0, T), \\ x \in (0, 1) \end{array} \quad (105)$$

$\forall (y^0, y^1) \in H^1(0, 1) \times L^2(0, 1)$ tq $y^0(1) \geq \psi(0), \exists u \in H^1(0, T)$ tq $y(T) = y'(T) = 0$?

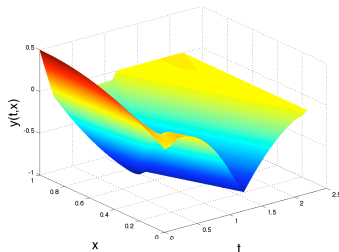
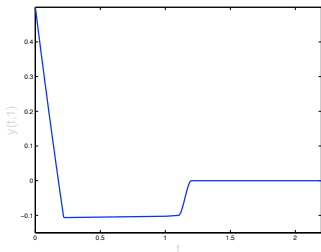


Figure: $\phi(t) = -t = -1/10$; Gauche: $y(t, 1)$ vs. $t \in (0, T)$; Droite: $y(t, x)$ vs. $(t, x) \in (0, T) \times (0, 1)$

\implies Extension au cas $N = 2$ et au cas d'obstacles internes mobiles.

[en cours avec F. Ammar-Khodja et S. Micu]

Contrôlabilité exacte en $x = 0$ d'une corde soumise à un obstacle en $x = 1$

$$\left\{ \begin{array}{ll} y'' - y_{xx} = 0 & (t, x) \in (0, T) \times (0, 1), \\ y(t, 0) = u(t) & t \in (0, T), \\ y(t, 1) \geq \psi(t), \quad y_x(t, 1) \geq 0, \quad (y(t, 1) - \psi(t))y_x(t, 1) = 0 & t \in (0, T), \\ y(0, x) = y^0(x), \quad y'(0, x) = y^1(x) & x \in (0, 1) \end{array} \right. \quad (105)$$

$\forall (y^0, y^1) \in H^1(0, 1) \times L^2(0, 1)$ tq $y^0(1) \geq \psi(0), \exists u \in H^1(0, T)$ tq $y(T) = y'(T) = 0$?

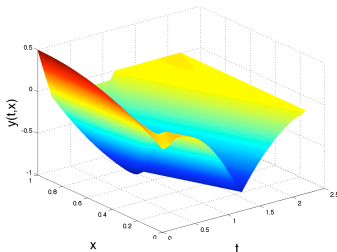
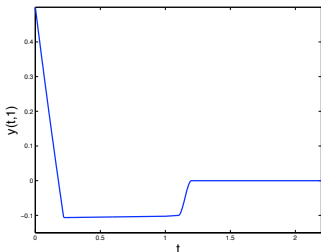


Figure: $\phi(t) = -l = -1/10$; **Gauche:** $y(t, 1)$ vs. $t \in (0, T)$; **Droite:** $y(t, x)$ vs. $(t, x) \in (0, T) \times (0, 1)$

\implies Extension au cas $N = 2$ et au cas d'obstacles internes mobiles.

[en cours avec F. Ammar-Khodja et S. Micu]

Contrôlabilité exacte en $x = 0$ d'une corde soumise à un obstacle en $x = 1$

$$\left\{ \begin{array}{ll} y'' - y_{xx} = 0 & (t, x) \in (0, T) \times (0, 1), \\ y(t, 0) = u(t) & t \in (0, T), \\ y(t, 1) \geq \psi(t), \quad y_x(t, 1) \geq 0, \quad (y(t, 1) - \psi(t))y_x(t, 1) = 0 & t \in (0, T), \\ y(0, x) = y^0(x), \quad y'(0, x) = y^1(x) & x \in (0, 1) \end{array} \right. \quad (105)$$

$\forall (y^0, y^1) \in H^1(0, 1) \times L^2(0, 1)$ tq $y^0(1) \geq \psi(0), \exists u \in H^1(0, T)$ tq $y(T) = y'(T) = 0$?

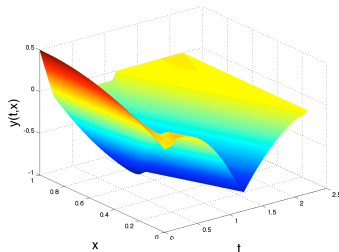
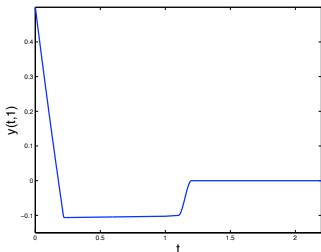


Figure: $\phi(t) = -l = -1/10$; **Gauche:** $y(t, 1)$ vs. $t \in (0, T)$; **Droite:** $y(t, x)$ vs. $(t, x) \in (0, T) \times (0, 1)$

\implies Extension au cas $N = 2$ et au cas d'obstacles internes mobiles.

MERCI BEAUCOUP - MUCHAS GRACIAS